

UNIVERSIDADE FEDERAL DE SANTA CATARINA

RICARDO DO NASCIMENTO BOING

**GERENCIAMENTO AUTONÔMICO DA ALIMENTAÇÃO DE FRANGOS EM
AVIÁRIOS DE CRIAÇÃO ALTERNATIVA COM FOG E IOT**

FLORIANÓPOLIS

2019 / 1

UNIVERSIDADE FEDERAL DE SANTA CATARINA
DEPARTAMENTO DE INFORMÁTICA E ESTATÍSTICA
CURSO DE BACHARELADO EM CIÊNCIAS DA COMPUTAÇÃO

**GERENCIAMENTO AUTÔNOMICO DA ALIMENTAÇÃO DE FRANGOS EM
AVIÁRIOS DE CRIAÇÃO ALTERNATIVA COM FOG E IOT**

RICARDO DO NASCIMENTO BOING

Trabalho de Conclusão de Curso de Graduação em Ciências da Computação, do Departamento de Informática e Estatística, do Centro Tecnológico da Universidade Federal de Santa Catarina, requisito parcial à obtenção do título de Bacharel em Ciências da Computação.

Orientador: Dr. Carlos Becker Westphall

Co-orientador: Me. Hugo Vaz Sampaio

FLORIANÓPOLIS
2019 / 1

RICARDO DO NASCIMENTO BOING

**GERENCIAMENTO AUTONÔMICO DA ALIMENTAÇÃO DE FRANGOS EM
AVIÁRIOS DE CRIAÇÃO ALTERNATIVA COM FOG E IOT**

Trabalho de Conclusão de Curso de Graduação em Ciências da Computação, do Departamento de Informática e Estatística, do Centro Tecnológico da Universidade Federal de Santa Catarina, requisito parcial à obtenção do título de Bacharel em Ciências da Computação.

Orientador:

Dr. Carlos Becker Westphall

Co-orientador:

Me. Hugo Vaz Sampaio

Banca examinadora:

Dr. Carla Merkle Westphall

Me. Leandro Loffi

Dedico este trabalho a meus pais, Nazir Pedro Boing e Cristiane do Nascimento.

AGRADECIMENTOS

Agradeço primeiramente a Deus por me iluminar e abençoar durante todos esses anos.

A meus pais, Nazir Pedro Boing e Cristiane do Nascimento, por serem essas pessoas tão especiais, as quais considero como as mais importantes em minha vida. Sem sombra de dúvidas, são eles os melhores amigos que eu poderia ter.

Também presto aqui minha gratidão aos meus amigos de curso, que me acompanharam nessa longa jornada. Dentre eles, Raul Missfeldt Filho e João Guilherme Fritsche Colombo, que estiveram ao meu lado quando eu mais precisei.

Agradeço meu co-orientador, Me. Hugo Vaz Sampaio, orientador, Dr. Carlos Becker Westphall, e a banca, Me. Leandro Loffi e Dr. Carla Merkle Westphall, por terem contribuído no desenvolvimento deste trabalho.

“Honra teu pai e tua mãe, para que se prolonguem os teus dias na terra que o SENHOR, teu Deus, te dá.” (Êxodo 20:12)

RESUMO

A qualidade e a segurança alimentar são frequentemente alvos de discussões, principalmente devido à escassez de nutrientes ou por serem um meio de transmissão de doenças. Preocupados com a saúde humana e com a garantia do bem-estar animal, os consumidores começam a optar pelo consumo de alimentos orgânicos. A avicultura, um dos principais meios de obtenção de carne no mundo, tem parte do seu mercado voltado à criação orgânica. Considerando o interesse nos produtos orgânicos, este trabalho tem como foco a automatização de ambientes para criação orgânica de frangos. Com base nos paradigmas *IoT* e *Fog Computing*, é proposto um alimentador inteligente, cujo objetivo é abastecer de forma autônoma os locais de alimentação das aves.

Palavras-chaves: *IoT*, *Internet of Things*, *Fog Computing*, aviário, frangos, orgânico, orgânica, alimentador, alimentação, avicultura.

ABSTRACT

The quality and food safety are often the subject of discussions, mainly due to nutrient shortages or because they are a means of disease transmission. Concerned about human health and animal welfare, consumers are beginning to choose organic food. Poultry farming is one of the means of obtaining meat in the world. It has part of its market focused on organic farming. Considering the interest in organic products, this work focuses on the automation of environments for the organic creation of chickens. Based on IoT and Fog Computing paradigms, an intelligent feeder is proposed, with objective to supply food to the birds, in an autonomous way.

Palavras-chaves: IoT, Internet of Things, Fog Computing, fowl, chickens, organic, feeder, food, poultry farming.

LISTA DE FIGURAS

Figura 1 - Representação dos modelos de infraestrutura e classificações de nuvens.....	28
Figura 2 - Representação da relação entre os conceitos <i>Cloud</i> , <i>Fog</i> e <i>IoT</i>	29
Figura 3 - Frangos em gaiolas no sistema avícola intensivo.....	32
Figura 4 - Alimentador automático de frangos.....	35
Figura 5 - Representação da integração entre os equipamentos dos 3 (três) subsistemas, em MEAH (2019): sensoriamento; energia e automação; interface.....	37
Figura 6 - Diagrama ilustrativo do sistema desenvolvido por CHIEN (2018) Adaptado.....	38
Figura 7 - Esquemático do dispositivo <i>IoT</i> em SAMPAIO (2019).....	39
Figura 8 - Arquitetura do sistema <i>Fog</i> , composto por três camadas: camada de interface; camada de gerenciamento de dados; e camada <i>IoT</i>	42
Figura 9 - Visão geral do alimentador, em 3D.....	43
Figura 10 - Visão lateral do alimentador, em 3D.....	43
Figura 11 - Visão interna da parte de cima do carrinho (nó <i>IoT</i>), em 3D.....	44
Figura 12 - Visão interna da parte de inferior do carrinho (nó <i>IoT</i>), em 3D.....	44
Figura 13 - Representação em 3D do alimentador inteligente aplicado em larga escala.....	45
Figura 14 - Tela de controle manual do nó <i>IoT</i>	47
Figura 15 - Tela de cadastro e edição de agendamentos.....	48
Figura 16 - Mensagens de sucesso (a) e erro/falha (b) nas operações de cadastro e edição de agendamentos.....	48
Figura 17 - Tela de listagem dos agendamentos para ocorrência de eventos do nó <i>IoT</i>	49
Figura 18 - Visão geral do nó <i>IoT</i> e da caixa de alimentação.....	50
Figura 19 - Visão geral do nó <i>IoT</i>	51
Figura 20 - Parte externa superior do nó <i>IoT</i>	51
Figura 21 - Esquema lógico do nó <i>IoT</i>	53
Figura 22 - Visão da parte interna do dispositivo <i>IoT</i>	55
Figura 23 - Esquema do banco de dados utilizado para armazenar o agendamento de eventos do nó <i>IoT</i>	56
Figura 24 - Mensagem de solicitação para registrar um agendamento.....	57
Figura 25 - Mensagem de solicitação para remoção de um agendamento.....	58
Figura 26 - Mensagem de solicitação para edição dos dados de um agendamento.....	58

Figura 27 - Mensagem de solicitação dos dados de um agendamento.....	58
Figura 28 - Mensagem de resposta do servidor para a solicitação dos dados de um agendamento.....	59
Figura 29 - Mensagem de resposta do servidor para a solicitação dos dados de todos os agendamentos.....	59

LISTA DE TABELAS

Tabela 1 - Resultado da revisão sistemática sobre cada palavra chave.....	26
Tabela 2 - Bytes de identificação enviados na mensagem da interface para o servidor.....	50

LISTA DE ABREVIATURAS E SIGLAS

<i>IoT</i>	<i>Internet of Things</i>
<i>Fog</i>	<i>Fog Computing</i>
<i>Cloud</i>	<i>Cloud Computing</i>
<i>OMS</i>	Organização Mundial de Saúde
<i>SaaS</i>	<i>Software as a Service</i>
<i>PaaS</i>	<i>Platform as a Service</i>
<i>IaaS</i>	<i>Infrastructure as a Service</i>
<i>EUA</i>	Estados Unidos da América
<i>MAPA</i>	Ministério da Agricultura, Pecuária e Abastecimento
<i>IA</i>	Inseminação Artificial
<i>TE</i>	Transferência de Embriões
<i>RFID</i>	<i>Radio-Frequency Identification</i>
<i>Wi-Fi</i>	<i>Wireless Fidelity</i>
<i>WSN</i>	<i>Wireless Sensor Networks</i>
<i>TCP</i>	<i>Transmission Control Protocol</i>
<i>IP</i>	<i>Internet Protocol</i>
<i>TCP/IP</i>	<i>Transmission Control Protocol / Internet Protocol</i>
<i>IOS</i>	<i>Iphone Operating System</i>
<i>SD</i>	<i>Secure Digital</i>

SUMÁRIO

1. Introdução.....	22
1.1. Motivação.....	22
1.2. Justificativas.....	23
1.3. Objetivos.....	23
1.3.1. Objetivo geral.....	23
1.3.2. Objetivos específicos.....	23
1.4. Método de pesquisa e trabalho.....	23
1.5. Organização do trabalho.....	24
2. Conceitos básicos.....	25
2.1. <i>Internet of Things</i>	25
2.2. <i>Cloud Computing</i>	26
2.3. <i>Fog Computing</i>	28
3. Fundamentação teórica na área avícola.....	30
3.1. Produtos orgânicos.....	30
3.2. Alimentos orgânicos no Brasil.....	31
3.3. Avicultura intensiva.....	31
3.4. Avicultura alternativa: caipira e orgânica.....	32
4. Estado da arte.....	34
4.1. <i>Development of automatic chicken feeder using Arduino Uno</i>	35
4.2. <i>A Smart Sensor Network for an Automated Urban Greenhouse</i>	36
4.3. <i>A remote pet feeder control system via MQTT protocol</i>	37
4.4. <i>An RFID-Based Smart Nest Box: An Experimental Study of Laying Performance and Behavior of Individual Hens</i>	37
4.5. <i>Autonomic IoT Battery Management with Fog Computing</i>	38
4.6. Proposta x trabalhos correlatos.....	39
5. Proposta de alimentador inteligente.....	41
5.1. Arquitetura do sistema.....	41
5.2. Nó <i>IoT</i> e a caixa de alimentação.....	42
5.3. Sistema <i>Fog</i>	45

5.4. Aplicação em larga escala.....	45
6. Desenvolvimento da proposta.....	46
6.1. Sistema <i>Web</i>	46
6.1.1. Tela inicial: controle manual.....	46
6.1.2. Cadastro e edição de agendamentos.....	47
6.1.3. Agenda de horários.....	49
6.2. Protótipo nó <i>IoT</i>	49
6.2.1. Esquema lógico do circuito eletrônico.....	52
6.2.2. Movimentação.....	54
6.2.3. Reservatório.....	54
6.3. Servidor.....	56
6.3.1. Comunicação entre interface e servidor.....	57
6.3.2. Comunicação entre servidor e <i>IoT</i>	59
7. Conclusão e trabalhos futuros.....	60
7.1. Conclusão.....	60
7.2. Trabalhos futuros.....	61
REFERÊNCIAS.....	62

1. Introdução

A agricultura industrial, por conta dos seus baixos custos de produção, vem crescendo cada vez mais em nível mundial. Dentre os assuntos decorrentes está a criação intensiva de aves, que são confinadas dentro de ambientes fechados, praticamente sem espaço para se locomoverem. Especialistas relatam que nessas condições as aves vivem estressadas e perdem os seus instintos naturais, possibilitando o surgimento de diversos tipos de doenças. Muitos profissionais criticam a adoção do sistema, afirmando que são cruéis e causam prejuízos à saúde do animal, mais tarde repassados ao consumidor (ANOMALY, 2015).

Segundo a Organização Mundial de Saúde (OMS), citada por FELTES (2017), estima-se que em 2010 quase uma em cada dez pessoas adoeceram no mundo por contaminação alimentar. Crianças, idosos e gestantes, por possuírem baixas condições físicas e imunológicas, estão entre os mais propensos a contaminação. O Brasil é um dos interessados em combater esse mal, já que é um grande fornecedor de alimentos. Em 2015, o país foi o segundo maior produtor e exportador de carne de frangos no mundo.

De acordo com LOUZADA (2017), a industrialização é um assunto de fundamental importância para questão alimentar. De acordo com sua publicação, a causa de doenças como diabetes, obesidade e câncer estão fortemente ligadas com a ingestão de alimentos industrializados ultraprocessados. LOUZADA (2017) destaca, ainda, a importância das vitaminas e sais minerais (adequados) para saúde, os quais nem sempre podem ser obtidos a partir desse tipo de alimento.

1.1. Motivação

A avicultura ocupava o segundo lugar no ranking mundial de produção de carnes, até o ano de 2010, com um total equivalente a quase 72 milhões de toneladas produzidas ao ano. Sendo um dos principais exportadores de carnes de frango, o Brasil produziu naquele ano o equivalente a pouco mais de 12 milhões de toneladas (ROSSA, 2012). Entre 2014 e outubro de 2018 o Brasil se tornou o maior exportador mundial de frangos e o segundo maior produtor mundial da carne, tendo como seu principal concorrente os EUA, que nesse mesmo período ficou em segundo colocado no número de exportações e como primeiro no número de produção (PSD Online, 2018).

1.2. Justificativas

Apesar do crescimento da agricultura industrial, um número cada vez maior de consumidores vem optando pelo consumo de alimentos orgânicos. ZANDER (2010), em seus estudos, afirma existir um descontentamento das pessoas em relação ao modo convencional de produção. Segundo ZANDER (2010) e APAOLAZA (2018) isso se justifica principalmente pela preocupação relacionada à saúde e bem-estar humano e animal. Isso porque muitas pessoas acreditam ser mais saudável o consumo de alimentos orgânicos e consideram importante o tratamento dado aos animais que serão abatidos.

1.3. Objetivos

Neste subcapítulo são descritos os objetivos deste trabalho. Primeiramente é apresentado uma descrição geral sobre o assunto, e, na sequência, são enumerados de forma mais específica cada um dos objetivos.

1.3.1. Objetivo geral

Com base na criação orgânica de frangos, esse trabalho possui como objetivo o desenvolvimento de um sistema para automatizar a reposição de alimentos em ambientes de confinamento das aves. O sistema deve ser projetado de acordo com as leis em vigor, destinadas ao desenvolvimento orgânico de animais, no Brasil, as quais visam manter o bem-estar físico, psicológico, comportamental, ambiental e nutricional das aves no decorrer de todas as etapas de criação.

1.3.2. Objetivos específicos

Os objetivos específicos deste trabalho são:

1. Manter os espaços de alimentação abastecidos;
2. Emitir sinais para alertar as aves quando o alimentador for reabastecido;
3. Fornecer meios para cadastrar dias/horários para o reabastecimento automático do alimentador;
4. Fornecer uma forma de controlar manualmente o alimentador, sem a necessidade do cadastro de dias e horários.

1.4. Método de pesquisa e trabalho

A seguir são apresentados os métodos de trabalho.

1. Reunir informações sobre o processo de criação de frangos e as diferenças entre os sistemas intensivo (tradicional) e semi-intensivo (caipira e orgânico);
 1. Pesquisar sobre as exigências das leis nacionais que possam influenciar no processo de desenvolvimento do sistema;
 2. Realizar um levantamento sobre os modos de criação de frangos, atualmente em vigor, que sejam relevantes para o projeto;
2. Pesquisar por tecnologias que estejam em uso, que possam ser aprimoradas ou que sirvam de base para criação de novas soluções;
3. Desenvolver a proposta com base nas tecnologias e informações encontradas;
4. Implementar um protótipo para demonstração da proposta.

1.5. Organização do trabalho

Esse documento está organizado em 7 Capítulos. No Cap. 2 são descritos os principais conceitos e paradigmas computacionais, que foram considerados para implementação da proposta. O Cap. 3 apresenta o estado da arte na área avícola. No Cap. 4 é feita uma breve descrição sobre cinco artigos, que servirão como base para o desenvolvimento da proposta. No Cap. 5 é apresentada a proposta, cuja implementação é mostrada no Cap. 6. Por fim, o Cap. 7 destina-se a conclusão e sugestões para trabalhos futuros.

2. Conceitos básicos

Neste capítulo são apresentados os principais conceitos, da área de computação, que serão utilizados no decorrer do trabalho, sendo eles: *Internet of Things*, *Cloud Computing* e *Fog Computing*.

2.1. *Internet of Things*

Internet of Things (IoT) é um conceito de redes de computadores que introduz objetos do mundo real ao virtual, com o propósito de possibilitar a comunicação entre eles. Dentro dessa rede encontram-se sensores, atuadores, computadores pessoais e qualquer outro dispositivo considerado inteligente (MUNIR, 2017). São esses dispositivos que capturam dados e informações, que posteriormente são utilizados para fornecer melhores serviços à população, em áreas residenciais, hospitalares, industriais (ZANELLA, 2014), agrícolas, dentre outros. Cada objeto possui uma identidade e atributos próprios e podem se conectar a Internet, portanto, para acessá-los não é preciso necessariamente que exista uma conexão de rede local (XU, 2014).

Para facilitar e simplificar a usabilidade, um sistema *IoT* pode ser dividido em vários blocos funcionais. Um exemplo é mostrado em RAY (2018), que realiza a divisão em seis blocos, os quais são descritos na sequência do texto.

- **Dispositivo:** são "coisas" do nosso dia a dia, como relógios inteligentes, veículos, máquinas e roupas. Fazem parte dos objetivos de um dispositivo a realização de coleta de dados, envio de dados para servidores, comunicação com outros dispositivos e/ou aplicativos. A maioria dos dispositivos realizam o processamento de dados para gerar informações úteis, posteriormente utilizadas para alcançar um dado objetivo. Um exemplo é o processo de monitoramento de um jardim, em que são determinados os melhores horários para realizar a irrigação;
- **Comunicação:** é responsável pela comunicação entre dois ou mais dispositivos e entre dispositivos e servidores remotos. Os protocolos *IoT* funcionam, na maioria das vezes, na camada de enlace, rede, transporte e aplicação;
- **Serviços:** representam as funcionalidades do sistema *IoT*. Como serviços podem ser considerados a modelagem, busca e controle de dispositivos, ou a publicação e análise de dados;

- **Gerenciamento:** fornece ferramentas para gerenciar um sistema *IoT*;
- **Segurança:** disponibiliza mecanismos para garantir a proteção do sistema *IoT*, como a autenticação, autorização, privacidade e a integridade e segurança de dados;
- **Aplicação:** fornece meios para integração do usuário ao sistema *IoT*. A integração ocorre através de interfaces que possibilitam controlar e monitorar o sistema.

Uma rede *IoT* pode servir para solucionar vários tipos de problemas. STERGIOU (2018) cita alguns casos em que se faz o uso do paradigma:

- **Transporte:** auxilia na obtenção de soluções de problemas relacionados ao tráfego em rodovias, redução do consumo de combustível e a diminuição nos índices de mortes;
- **Redes elétricas:** são utilizadas para auxiliar na incorporação de energia renovável, melhorando a confiabilidade do sistema e tornando a energia mais barata;
- **Monitoramento remoto de pacientes hospitalares:** proporciona uma maior facilidade para atender os pacientes, gerando melhores condições e o aumento do número de pacientes atendidos;
- **Sensores de monitoramento de motores:** possibilitam a detecção de problemas de manutenção, tornando possível melhorar a reposição de peças e definir prioridades no agendamento de serviços.

2.2. Cloud Computing

Cloud Computing é um conceito computacional que fornece uma gama de recursos a outros computadores e dispositivos. Os recursos fornecidos pela *Cloud* ficam disponíveis de forma compartilhada, a qualquer hora e lugar, e são acessados através da Internet. Como exemplo tem-se o processamento e armazenamento de dados, serviços, aplicativos (MUNIR, 2017) e servidores. Por conta dos seus benefícios e da possibilidade de cobrança financeira, o paradigma deu origem a uma indústria multibilionária crescente em todo o mundo (ROMAN, 2018). Dentre as principais classificações de uma *Cloud* estão (SINGH, 2016):

- **Public Cloud (nuvem pública):** nesse modelo os recursos e serviços são públicos, portanto, qualquer organização, empresa, ambiente acadêmico ou indivíduo tem acesso. Por não existir um controle de clientes e fornecedores, existe uma maior vulnerabilidade em relação a segurança;

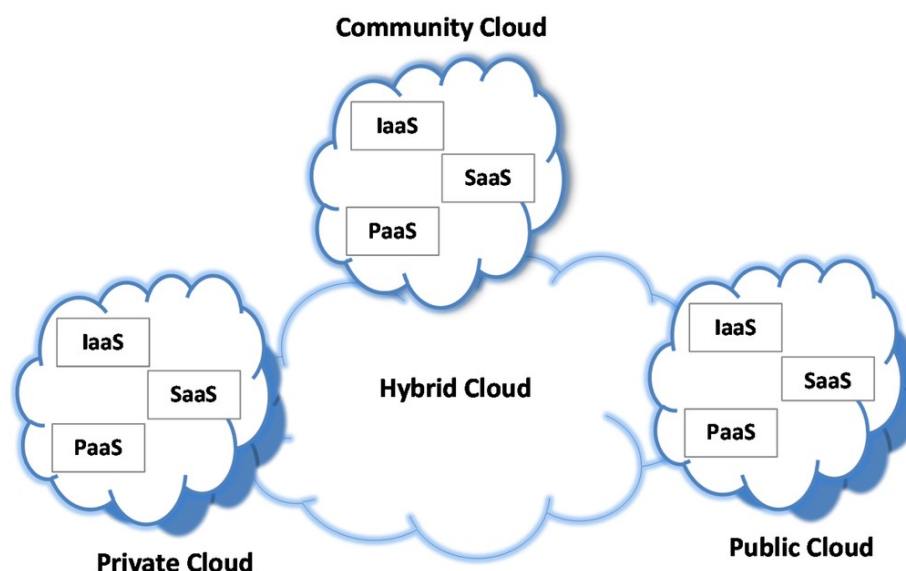
- **Community Cloud (nuvem comunitária):** é utilizada e gerenciada por um grupo mais restrito de organizações. Por possuírem um acesso mais controlado, os riscos relacionados de segurança são reduzidos;
- **Private Cloud (nuvem privada):** o uso e gerenciamento é exclusivo da organização a qual pertence. Por existir uma maior facilidade na identificação de clientes e os fornecedores, os riscos relacionados a segurança são menores do que os modelos público e comunitário;
- **Hybrid Cloud (nuvem híbrida):** representa a união de dois ou mais modelos de nuvens (pública, privada e comunitária).

O *National Institute of Standards and Technology (NIST)* descreve três modelos de infraestrutura (MELL, 2011):

- **Software as a Service (SaaS):** os aplicativos são acessados por meio de uma infraestrutura da própria *Cloud*. Os usuários fazem o acesso através de interfaces, como um *Browser* ou algum outro software, porém não possuem acesso a qualquer tipo de gerenciamento de infraestrutura, tais como rede, sistema operacional, e o armazenamento de dados. O gerenciamento de aplicativos também possuem acesso limitado, podendo existir algumas exceções;
- **Platform as a Service (PaaS):** fornece a possibilidade de hospedar aplicativos desenvolvidos pelo próprio usuário. Assim como em SaaS, o cliente não tem acesso ao gerenciamento da infraestrutura, porém possui liberdade para gerenciar os próprios aplicativos;
- **Infrastructure as a Service (IaaS):** são disponibilizados recursos de processamento, armazenamento, redes e outros recursos de computação. O usuário pode instalar sistemas operacionais e hospedar aplicativos, porém não controla a infraestrutura da nuvem.

A Fig. 1 mostra a relação entre as classificações e os modelos de *Cloud Computing*. Os três modelos (*IaaS*, *PaaS* e *SaaS*) são utilizados em *Public*, *Community*, *Private* e *Hybrid Cloud*.

Figura 1 - Representação dos modelos de infraestrutura e classificações de nuvens.



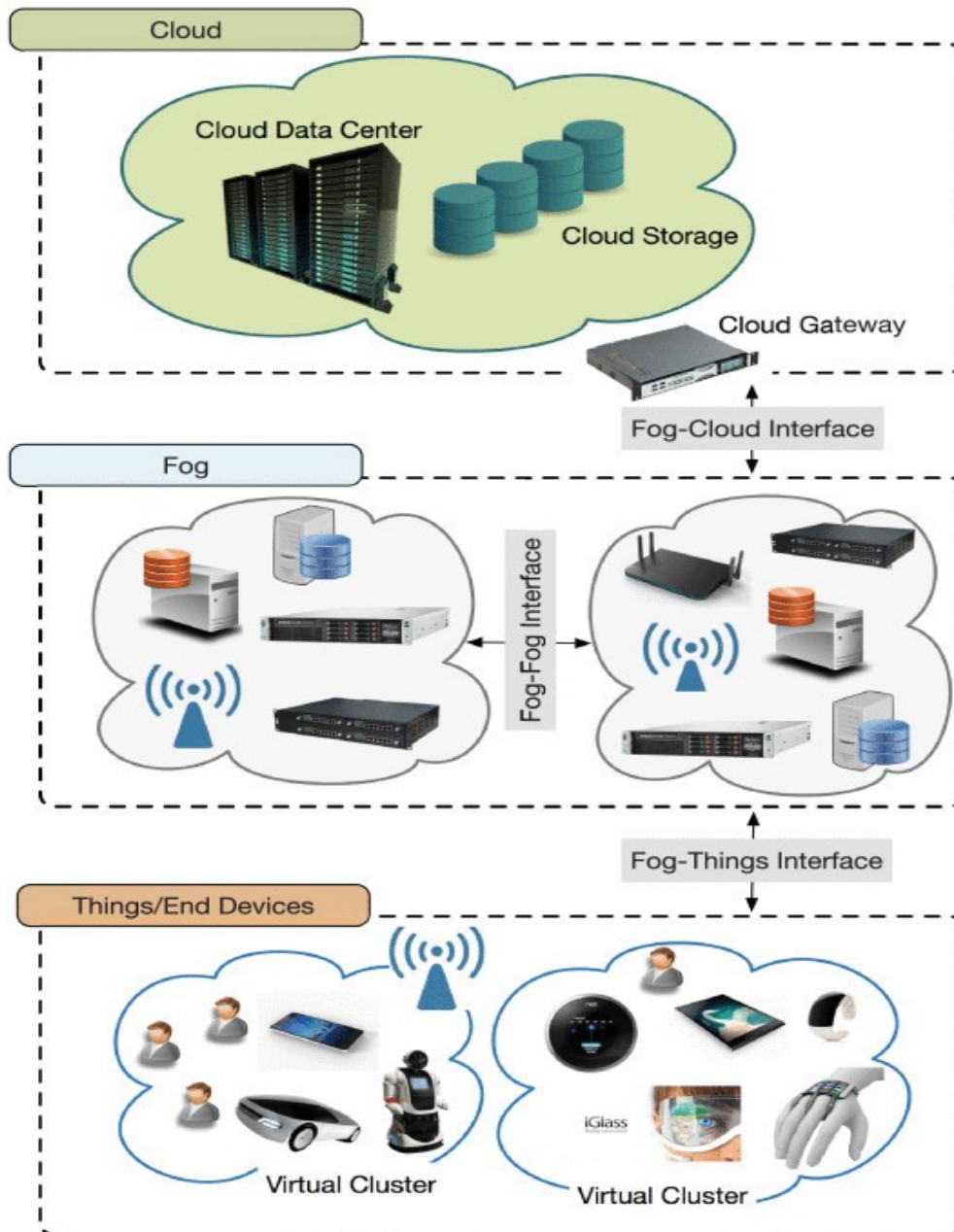
Fonte: KHALIL (2014)

2.3. Fog Computing

Fog Computing surgiu como um meio alternativo para intermediar a comunicação entre os dispositivos *IoT* e a *Cloud* (PERALA, 2018). O paradigma surgiu em 2014, criado pela Cisco (CHEN, 2018), e se caracteriza pelo fornecimento de serviços da *Cloud* dentro da borda da rede. O objetivo é aumentar o desempenho das aplicações ao processar e armazenar parte dos dados localmente, enviando para *Cloud* somente o necessário. Os resultados podem ser notados pela diminuição do tráfego de rede, redução no tempo de espera por serviços (GUPTA, 2017; PERALA, 2018; MUNIR, 2017), agilidade, acesso via rede sem fio e aplicações em tempo real (MUKHERJEE, 2018). Por consequência, é possível usar a *Cloud* para realizar outros serviços de maior complexidade, como aprendizado de máquina e processamento *Big Data* (CHEN, 2018).

A Fig. 2 ilustra a relação entre os dispositivos *IoT* e os serviços *Fog* e *Cloud Computing*. Os dispositivos realizam a troca de dados com a *Fog*, que por sua vez processa e envia/recebe apenas o necessário para *Cloud*.

Figura 2 - Representação da relação entre os conceitos *Cloud*, *Fog* e *IoT*.



Fonte: MUKHERJEE (2018)

3. Fundamentação teórica na área avícola

Neste capítulo são apresentados os conceitos fundamentais da área avícola e as diferentes formas de criação de frangos, sendo elas: produtos orgânicos, alimentos orgânicos no Brasil, avicultura intensiva e avicultura orgânica e caipira. Também são levantados os principais parâmetros utilizados para o controle de um galinheiro orgânico autônomo.

3.1. Produtos orgânicos

A classificação de alimentos como sendo orgânicos é considerada uma forma de dar credibilidade ao produto, pois além das informações visíveis na embalagem, o selo orgânico tende a comunicar ao consumidor que o produto atende a normas e padrões específicos de qualidade. Essas informações tem o propósito de dar mais transparência para o consumidor do que àquelas contidas em produtos convencionais (GIFFORD, 2011), e essas normas podem variar de um país para outro. De modo geral tem-se por objetivo a produção de alimentos que busquem manter o equilíbrio ecológico, evitando o uso de pesticidas, herbicidas, fertilizantes inorgânicos, antibióticos e hormônios de crescimento, em todas as etapas de produção (HONKANEN, 2006).

De acordo com GIFFORD (2011) e ROSSA (2012), nas últimas décadas é crescente o número de vendas relacionadas a produtos orgânicos na Europa e nos EUA. Dentre estes produtos está a carne de origem aviária, que corresponde a dois terços do mercado orgânico de carnes e é um dos primeiros tipos de alimentos a serem buscados na categoria orgânica. Estima-se que nos EUA cerca de dois terços da população compre orgânicos ocasionalmente, e 19% consuma esses produtos de forma semanal (GIFFORD, 2011). De acordo com alguns estudos, os consumidores acreditam que esses alimentos são mais saudáveis e possuem uma maior qualidade (ROSSA, 2012).

A produção de orgânicos no mundo correspondia a aproximadamente 35 milhões de hectares em 2008, distribuídas entre 154 países. A Oceania era a maior produtora, com 35% da produção mundial, em segundo a Europa e em terceiro a América Latina. No ano anterior (2007), o Brasil estava em quinto lugar entre as maiores áreas de cultivo, com 1,77 milhões de hectares (ROSSA, 2012).

3.2. Alimentos orgânicos no Brasil

De acordo com a Lei 10.831 de 2003, o objetivo da produção orgânica no Brasil é de diminuir o uso de contaminantes químicos no meio ambiente (ar, solo, água), de modo a preservar a diversidade biológica dos ecossistemas e proporcionar uma alimentação mais saudável ao consumidor (BRASIL, 2003). Um produto é dito como orgânico, seja ele processado ou *in natura*, caso seja obtido através de algum sistema orgânico de produção agropecuário ou por algum tipo de processo extrativista sustentável. Isto é, sua obtenção deve ser de modo a não causar prejuízos ao ecossistema local (BRASIL, 2003). Para sua comercialização o produto deve possuir uma certificação junto ao MAPA (Ministério da Agricultura, Pecuária e Abastecimento), obtido através de um órgão reconhecedor oficial (BRASIL, 2003).

3.3. Avicultura intensiva

Caracterizado pelo confinamento total das aves, o sistema intensivo é o modelo de criação mais empregado na avicultura. O objetivo desse sistema é o aumento da produção e sua eficiência, obtidos através de melhorias genéticas, aprimoramento na coleta de dados e instalação de novas tecnologias de manejo, nutrição, bem estar e higiene (VOGADO, 2016). Contudo, manter as aves confinadas é prejudicial a saúde, e ao contrário a esses investimentos tecnológicos, o sistema não converge para um bem-estar dos animais (SILVA, 2003).

No Brasil, a produção intensiva, reconhecida mundialmente, teve um forte investimento tecnológico em seu processo de produção, aliado a mudanças no controle sanitário e melhorias na genética das aves. Algumas medidas de melhoramento genético foram: Inseminação Artificial (IA); Transferência de Embriões (TE); micro manipulação e produção *in vitro* de embriões; clonagem e produção de animais transgênicos ou altamente modificados. A diminuição no tempo de crescimento dos frangos está entre os resultados desse investimento, que passou de 105 dias em 1930 para 45 dias em 1996 (VOGADO, 2016).

Com os avanços na avicultura industrial foram surgindo modificações nos hábitos alimentares e nas tradições da população. O frango caipira foi ao longo do tempo perdendo espaço na mesa do consumidor. Contudo, mesmo sendo substituído, existe uma maior preferência pela carne caipira devido suas características próprias na textura e no sabor da carne (VOGADO, 2016).

Apesar do sistema convencional ser o dominante no mercado, algumas formas alternativas, como a caipira e orgânica, estão voltando a ganhar espaço na mesa dos consumidores. A fim de minimizar os impactos do sistema industrial e melhorar o bem-estar das aves, a União Europeia impôs em 1999 algumas medidas mínimas para sistemas de criação. Em 2003, por exemplo, foram proibidas as instalações de gaiolas convencionais com menos de 550cm² por ave, além da necessidade do uso de lixas para as unhas (ROCHA, 2008). A Fig. 3 mostra o confinamento de frangos em um aviário de criação intensiva.

Figura 3 - Frangos em gaiolas no sistema avícola intensivo.



Fonte: EMBRAPA (2018)

3.4. Avicultura alternativa: caipira e orgânica

Os sistemas de produção caipira e orgânico são modelos alternativos ao sistema intensivo e são projetados para garantir a qualidade e o bem-estar dos animais. As raças que serão utilizadas devem ser aquelas que melhor se adaptam ao manejo e clima local, devendo ser garantido sua segurança e que estejam livres de medo, ansiedade, ou qualquer outro tipo de estresse. É preciso que o ambiente proporcione aos animais a liberdade para apresentarem suas características e comportamentos naturais, e que não passem fome, sede e não sofram de nenhum tipo de doença (FIGUEIREDO, 2012; DIAS, 2016). O sistema de criação e as raças são fundamentais para que se garanta uma carne mais saborosa e com menores índices de gordura (DIAS, 2016).

O Fator climático é também um dos fatores cruciais na criação das aves, pois as afeta diretamente. Isso pode ser percebido através de mudanças no comportamento, como respiração mais ofegante, diminuição na taxa de locomoção e o ato de manter as asas mais afastadas do corpo (DIAS, 2016). Apesar de no sistema orgânico os frangos necessitarem de liberdade para o acesso externo, onde devem existir grama e/ou algum outro tipo de

vegetação, isso pode, por conta do clima, vir a interferir no bem-estar animal e consequentemente na produção do sistema (BERG, 2002; DIAS, 2016). Dentre as consequências estão o aumento no consumo de água e ração, que podem vir a causar mudanças na taxa de crescimento das aves, afetando o rendimento e a qualidade da carne (DIAS, 2016; CASSUCE, 2013).

A fim de promover o bem-estar animal e viabilizar a inspeção em um sistema produtivo, o *Farm Animal Welfare Council* criou cinco conceitos para definir um sistema controlado por humanos que fosse capaz de proporcionar um bem-estar aos animais (PEREIRA, 2017):

- **Nutricional:** manter os animais livres de fome e sede;
- **Ambiental:** mantê-los livre de desconfortos;
- **Físico:** mantê-los livres de dores, lesões e doenças;
- **Comportamental:** dar liberdade para expressar seus comportamentos normais;
- **Psicológico:** deixá-los livres de medo e angústia.

4. Estado da arte

Com o objetivo de evidenciar a relevância da pesquisa, uma revisão sistemática foi desenvolvida com base nas ferramentas *Google Scholar*, *IEEE Explorer* e *ScienteDirect*. O resultado da revisão pode ser visto na Tab. 1, que apresenta a união do número de ocorrências de cada conjunto de palavras chaves, em inglês, nas três ferramentas de pesquisa. A última combinação, diferente das outras, não teve nenhum retorno nas ferramentas *IEEE Explorer* e *ScienteDirect*.

Tabela 1 - Resultado da revisão sistemática sobre cada palavra chave.

Palavras chave	Resultados	Categoria
<i>automation</i>	3.560.000	1
<i>control</i>	7.270.000	1
<i>fog</i>	1.120.000	1
<i>iot</i>	782.000	1
<i>fog iot</i>	16.700	2
<i>feeding chickens</i>	708.000	2
<i>automation fog</i>	38.500	2
<i>automation iot</i>	83.200	2
<i>control fog</i>	536.000	2
<i>control iot</i>	244.000	2
<i>automation feeding</i>	673.000	2
<i>control feeding</i>	3.930.000	2
<i>iot feeding</i>	15.400	2
<i>fog feeding</i>	80.000	2
<i>automation feeding chickens</i>	44.500	3
<i>automation control feeding chickens</i>	37.600	4
<i>automation control feeding chickens fog iot</i>	6.540	6
<i>automation control feeding chickens alternative aviaries fog iot</i>	130	8

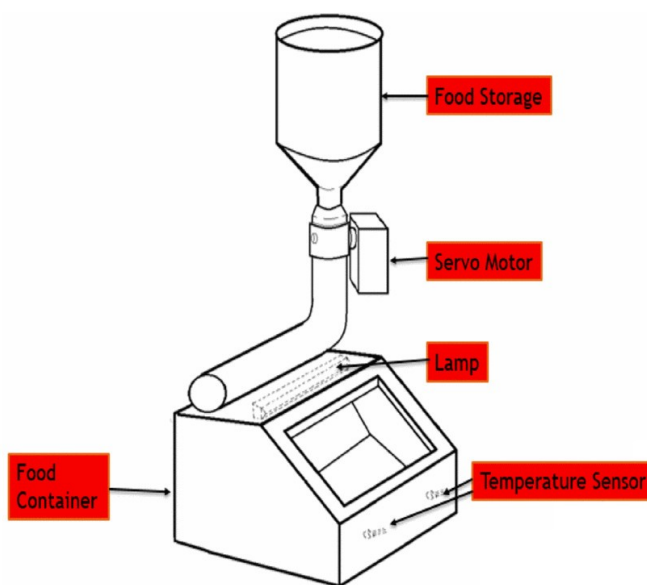
Fonte: Próprio (2019)

4.1. Development of automatic chicken feeder using Arduino Uno

A alimentação de frangos, criados para o abate, pode exigir tempo e muita mão de obra. Para realizar o trato de forma manual, o criador costuma fornecer o alimento semeando-o no chão do aviário. Existem ao menos três problemas em fazê-lo dessa forma: contaminação dos alimentos, decorrentes da presença de insetos e de fezes das aves; desperdício de alimentos, por falha humana, já que não é possível uma correta administração da quantidade a ser distribuída; e a necessidade da presença dos responsáveis pelo fornecimento do alimento, o que dificulta que estes indivíduos venham realizar outras tarefas. Com o objetivo de suprir esses problemas, um alimentador de frangos é proposto a fim de automatizar por completo o processo de alimentação, possibilitando ao criador o cumprimento de outras obrigações sem que haja a necessidade de sua presença no local.

Ao projetar o alimentador, o autor considerou a necessidade de armazenar os alimentos, administrar as sobras, e registrar os horários de fornecimento e a quantidade a ser fornecida. A Fig. 5 mostra o projeto do tratador, o qual é composto por alguns sensores e atuadores controlados por uma placa Arduino Uno. O processo de liberação do alimento acontece com a abertura da passagem entre local de armazenamento de comida e o recipiente, controlada pelo atuador servo motor. Para evitar o desperdício da comida deixada pelas aves, as sobras ficam retidas dentro do recipiente. Um sensor de temperatura e uma lâmpada são utilizados para que se garanta que os grãos permaneçam frescos.

Figura 4 - Alimentador automático de frangos.



Fonte: SOH (2017)

4.2. A Smart Sensor Network for an Automated Urban Greenhouse

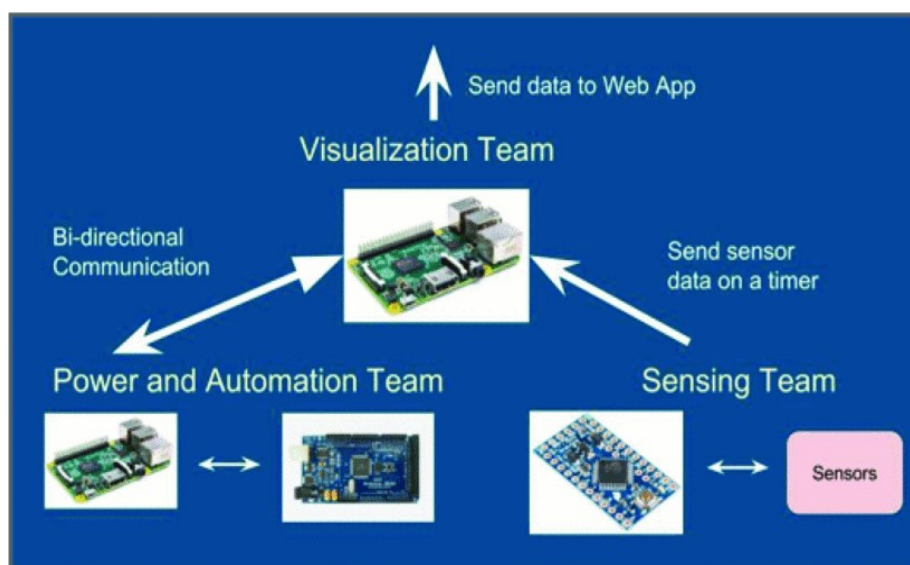
Considerando a dificuldade de obter alimentos frescos a preços acessíveis, na região da *Pennsylvania* (EUA), em MEAH (2019) é apresentado um projeto de redes de sensores inteligentes para automatização de uma estufa urbana. O projeto foi desenvolvido por alunos de um colégio de engenharia, o *York College of Pennsylvania*, e foi utilizado para apoiar a inicialização de alunos de escola primária no mundo científico. Dentre os objetivos do trabalho estão:

- Maximização da economia de energia;
- Gerenciamento de aquecedores, resfriadores e da ventilação;
- Uso de histórico de dados meteorológicos para estimativa da energia necessária dentro da estufa.

Para o desenvolvimento do projeto foi feita a divisão do sistema em três partes: sensoriamento; energia e automação; interface. No primeiro subsistema a equipe fez o uso de sensores para coletar dados de luz, umidade e temperatura dentro da estufa. Os dados são encaminhados posteriormente ao subsistema de energia e automação, que irá processá-los e intervir no ambiente a partir de equipamentos como aquecedores e lâmpadas. O protótipo desenvolvido possui 6 (seis) zonas de umidade, sendo que cada uma possui 2 (dois) sensores de umidade. Em paralelo, 5 (cinco) sensores de temperatura, luz e umidade foram distribuídos em plantas. Todo o processo de interação com o usuário foi desenvolvido no subsistema interface, onde ficam hospedados uma aplicação web e o banco de dados.

A Fig. 5 mostra a interação entre as partes do sistema. Um Raspberry Pi é utilizado para hospedagem da interface e intermediar a comunicação entre os subsistemas de sensoriamento e de energia e automação. A rede de sensores realiza a coleta de dados e transmite para o Raspberry Pi da interface. Na área de energia e automação foi instalado um segundo Raspberry Pi, em conjunto com um Arduíno Mega, para atuar no ambiente.

Figura 5 - Representação da integração entre os equipamentos dos 3 (três) subsistemas, em MEAH (2019): sensoriamento; energia e automação; interface.



Fonte: MEAH (2019)

4.3. A remote pet feeder control system via MQTT protocol

Popularmente aceito dentro da sociedade moderna, a criação de animais vem se tornando um hábito cada vez mais adotado entre as pessoas. Contudo, responsabilidades devem ser assumidas pelos proprietários, sendo uma delas a garantia da alimentação. Em WU (2018) é desenvolvido um alimentador de animais que, ao contrário da maioria, deixa de ser uma simples máquina estacionária para se tornar um alimentador móvel e inteligente. O equipamento *IoT* foi projetado para se assemelhar a um carrinho de brinquedo, possuindo duas rodas traseiras, cada uma conectada a um motor. Ainda, uma câmera IP foi instalada na parte frontal do carrinho para possibilitar o monitoramento pela Internet.

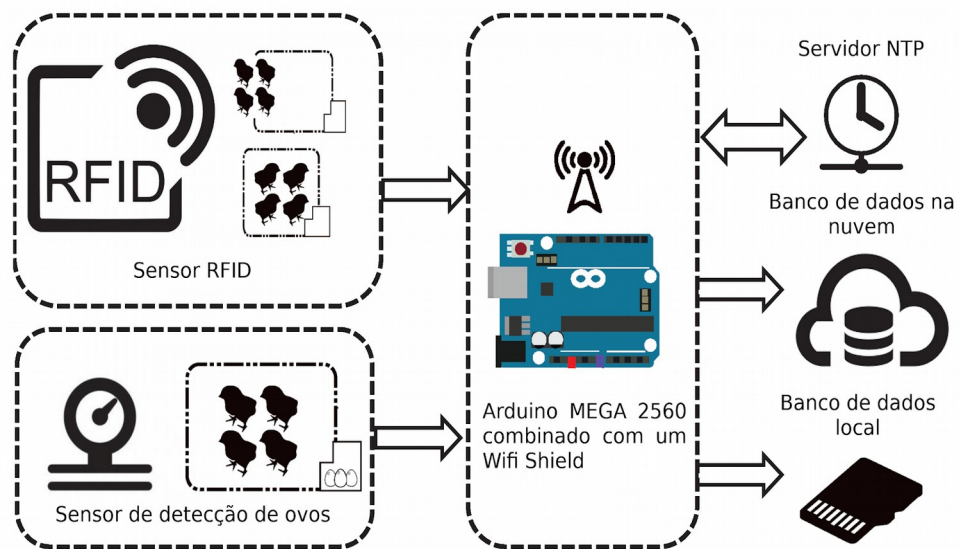
4.4. An RFID-Based Smart Nest Box: An Experimental Study of Laying Performance and Behavior of Individual Hens

O nível de produção de ovos pode ser afetado pelo ambiente de postura (ninho), idade das aves ou até mesmo pela raça do animal. Com a motivação de monitorar a produção de ovos, em CHIEN (2018) é apresentada uma solução que tem como objetivo a identificação de galinhas poedeiras que apresentam um rendimento abaixo do esperado. A ferramenta desenvolvida utiliza um leitor *RFID*, conectado a uma placa Arduíno MEGA 2560, cuja

serventia é identificar a presença de aves dentro de um ninho. Também é feito o uso de um sensor de pressão, para que seja detectado a existência de algum ovo.

A Fig. 9 apresenta um esquema do protótipo desenvolvido. No canto superior esquerdo é feita a ilustração referente a identificação das aves, pela antena *RFID*. No canto inferior esquerdo é mostrado o sensor de pressão, que assim como o sensor *RFID*, é conectado na placa *Arduíno MEGA 2560*. Por fim, os dados referentes a identidade das galinhas e o peso dos ovos são salvos em um cartão de memória (*SD*) e em um banco de dados na nuvem.

Figura 6 - Diagrama ilustrativo do sistema desenvolvido por CHIEN (2018) Adaptado.



Fonte: CHIEN (2018)

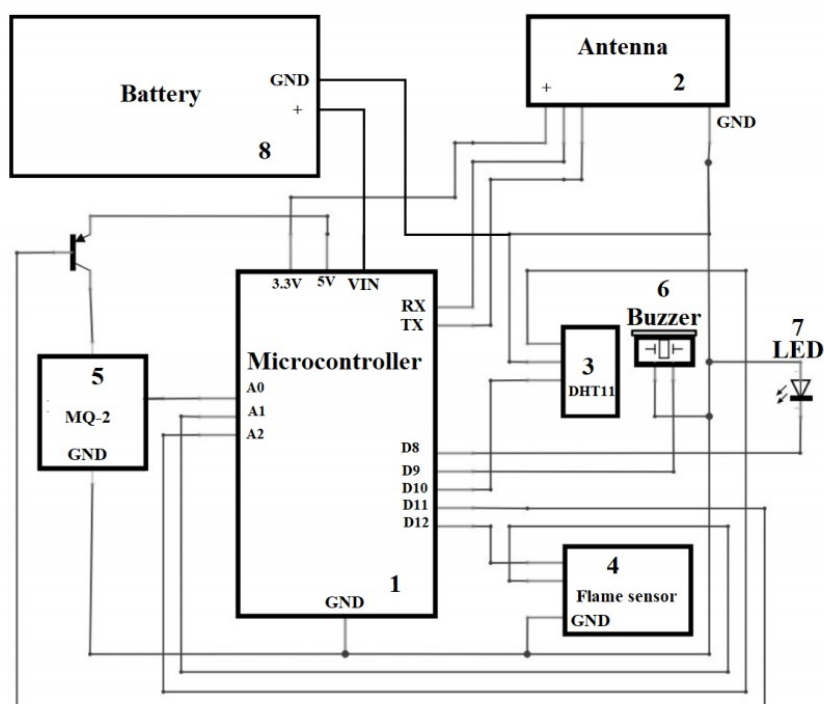
4.5. *Autonomic IoT Battery Management with Fog Computing*

O uso de energia é indispensável para dispositivos *IoT*, sendo em grande parte dependentes do uso de baterias para que funcionem. Para os usuários é crucial que existam técnicas para economizar energia, principalmente quando a exigência é de anos de durabilidade. Em SAMPAIO (2019) é desenvolvido um sistema *Fog* para alarmes de incêndio que depende do uso de baterias. O trabalho é dividido em duas partes, sendo a primeira referente ao hardware do dispositivo e na segunda são realizadas estimativas do consumo de energia.

O dispositivo *IoT* foi projetado e desenvolvido considerando o contexto de cozinhas em *Smart Home's*. Para a implementação do protótipo os autores fizeram o uso de um microcontrolador *Arduíno Uno ATmega328p*, um sensor de temperatura e umidade do ar

DHT11, um sensor de gás e fumaça MQ-2 e um sensor de chamas. O dispositivo *IoT* captura os dados através de portas analógicas do Arduíno, conectadas aos sensores, e os envia para *Fog* com uma antena Xbee Zigbee. O sistema *Fog*, por sua vez, processa os dados para gerar e apresentar a estimativa de consumo. A Fig. 6 apresenta o esquemático do dispositivo *IoT*, onde são mostradas as conexões entre: os componentes de hardware e a bateria; o Arduíno e os sensores; o Arduíno e a antena ZigBee.

Figura 7 - Esquemático do dispositivo *IoT* em SAMPAIO (2019).



Fonte: SAMPAIO (2019)

4.6. Proposta x trabalhos correlatos

Ao longo deste capítulo foram mencionados e descritos 5 (cinco) trabalhos correlatos. Dentre os trabalhos, em SOH (2017) apresenta-se uma proposta para automatização da alimentação de frangos. O alimentador desenvolvido é capaz de gerenciar o armazenamento e fornecimento dos alimentos, porém se limita ao uso em pequena escala. Para expandir esse alimentador, a proposta do Cap. 5 considerou a adaptação do carrinho proposto em WU (2018). No lugar de uma caixa de pequenas dimensões, como em SOH (2017), neste trabalho é utilizada uma caixa com um comprimento maior, em que um carrinho (nó *IoT*) se movimenta para liberar o alimento.

O desenvolvimento da proposta (Cap. 5) possui, ainda, a necessidade da criação de várias caixas de alimentação contendo seu próprio nó *IoT*. Uma rede de nós foi projetada, semelhante a rede de sensores apresentada em MEAH (2019). Na proposta (do alimentador) são considerados vários nós *IoT*, assim como na rede de sensores. A diferença é que em MEAH (2019) os nós são utilizados para obtenção de dados, enquanto os nós do alimentador se motivam em atuar no ambiente de aplicação.

Já em relação a criação de um nó *IoT* móvel, existe a necessidade de uma maior flexibilidade em relação ao consumo de energia. Para suprir essa necessidade são necessárias baterias, pilhas, ou similares. O problema de usar esse tipo de fonte está na sua capacidade e duração, tornando-se essencial a realização de otimizações para diminuir o consumo de energia de cada nó. Em SAMPAIO (2019) apresenta-se um estudo sobre o consumo de energia em dispositivos para *Smart Home's*. Apesar de não ter sido considerado na implementação da proposta, esse trabalho evidencia a necessidade da redução do consumo de energia para aumentar o tempo de duração do dispositivo *IoT*.

O gerenciamento da alimentação pode diminuir o trabalho dentro de um aviário orgânico, mas não libera os trabalhadores de todo o esforço manual. O último trabalho foi mencionado por ter como objetivo a criação de um ninho inteligente. As propostas de gerenciar de forma inteligente a alimentação e os ninhos podem trazer maiores benefícios, caso utilizadas em conjunto.

5. Proposta de alimentador inteligente

Considerando o crescente interesse no consumo de alimentos orgânicos, em conjunto com a importância do mercado brasileiro de frangos, um alimentador inteligente é proposto para gerenciar a alimentação das aves de forma autônoma. O alimentador conta com um sistema *Fog*, dividido em três camadas, que considera desde a interação com o usuário até a criação e controle de um dispositivo *IoT*. No subcapítulo 5.1 é apresentada a hierarquia do sistema, enquanto no subcapítulo 5.2 são descritos o dispositivo *IoT* e a caixa de alimentação e no subcapítulo 5.3 é descrito o sistema *Fog*.

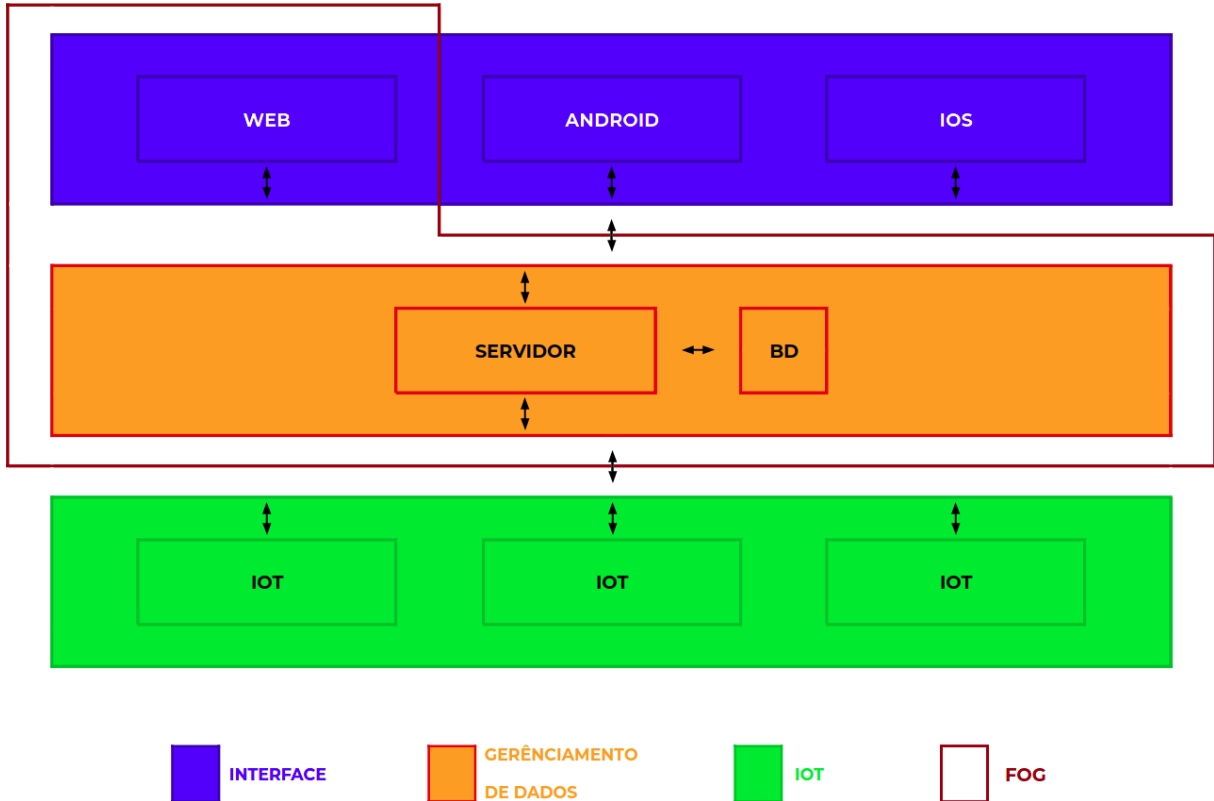
5.1. Arquitetura do sistema

A arquitetura do sistema é dividida em três camadas, conforme apresentado na Fig. 8. Uma camada para entrada de dados é responsável pela comunicação com os usuários, denominada como camada de interface. Abaixo dela encontra-se a camada de gerenciamento de dados, a qual se responsabiliza pelo armazenamento dos dados e a comunicação com os nós *IoT*. A última camada é a *IoT*, localizada abaixo da camada de gerenciamento de dados. Uma melhor descrição das camadas é apresentada na sequência do texto.

- **Camada de interface:** é responsável pela obtenção de dados, fornecidos pelos usuários, e pelo envio desses dados para camada de gerenciamento de dados. Na camada de interface é possível que sejam feitos o uso de uma ou mais aplicações, desenvolvidas para diferentes sistemas, tais como Android, iOS, Desktop e sistemas *Web*;
- **Camada de gerenciamento de dados:** se responsabiliza pelo armazenamento dos dados obtidos na camada de interface e pelo envio de comandos de controle para os dispositivos da camada *IoT*. Para comunicação com a interface, a camada conta com um servidor que receberá as informações e armazenará em um banco de dados. Já para comunicação com os dispositivos *IoT*, a camada possui uma aplicação que identificará e enviará aos dispositivos o comando para a realização de uma tarefa na data e horário especificados pelos usuários (armazenados no banco de dados);
- **Camada *IoT*:** representa a união de todos os dispositivos *IoT* do sistema. Os dispositivos recebem os comandos de controle, enviados pela camada de

gerenciamento de dados, e com base nos comandos é identificada e cumprida a tarefa em questão.

Figura 8 - Arquitetura do sistema *Fog*, composto por três camadas: camada de interface; camada de gerenciamento de dados; e camada *IoT*.

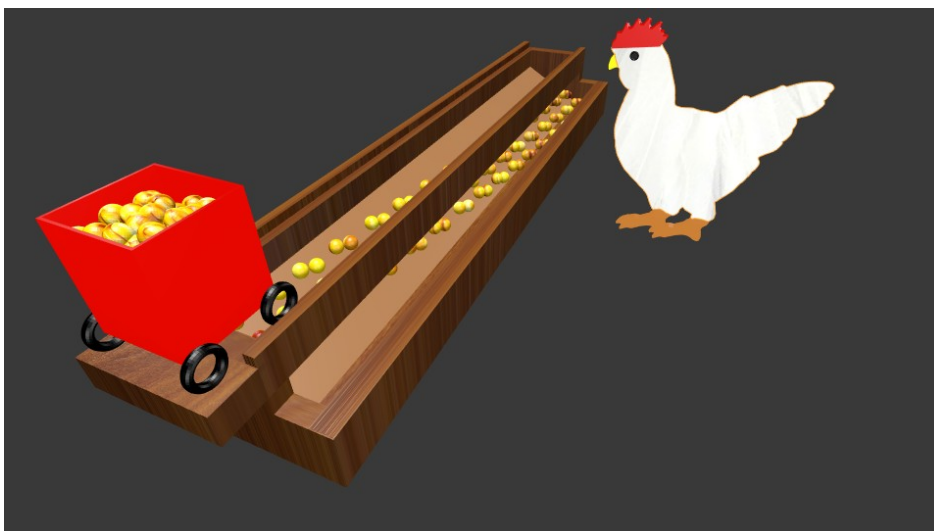


Fonte: PRÓPRIO (2019)

5.2. Nó *IoT* e a caixa de alimentação

O nó *IoT* é um equipamento baseado em um carrinho de brinquedo, cuja finalidade é armazenar o alimento das aves e liberá-lo apenas em datas e horários específicos. Para a realização da tarefa, o dispositivo *IoT* conta com o auxílio de uma base (caixa de alimentação) que receberá e disponibilizará o alimento para as aves. O dispositivo é posicionado em cima de dois trilhos, fixados na parte superior da caixa, e permanece imóvel até o recebimento de um comando enviado pelo servidor. Ao receber o comando, o nó caminha sobre os trilhos até o fim e depois retorna ao ponto de origem, liberando o alimento durante todo o trajeto. Na Fig. 9 uma galinha está de frente para o alimentador, logo após o nó *IoT* liberar o alimento.

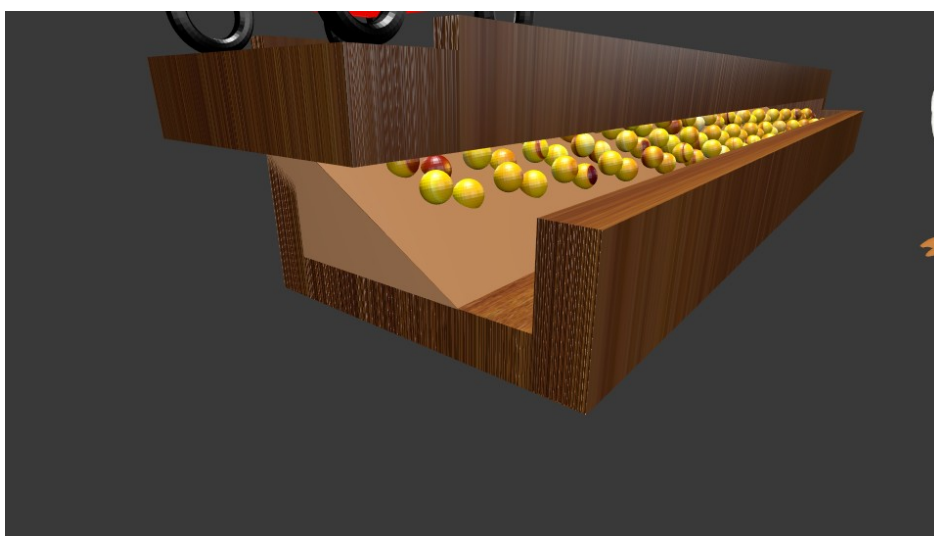
Figura 9 - Visão geral do alimentador, em 3D.



Fonte: PRÓPRIO (2019)

A caixa de alimentação conta, ainda, com uma área destinada ao acesso das aves, localizada na parte frontal, e uma rampa de desvio de alimentos, posicionada abaixo dos trilhos utilizados pelo nó *IoT*. O alimento, quando liberado, cai sobre a rampa e sofre um desvio até a parte frontal do alimentador. A Fig. 10 apresenta uma ilustração da rampa e da área de acesso às aves ao alimentador, onde o alimento fica armazenado até ser consumido.

Figura 10 - Visão lateral do alimentador, em 3D.

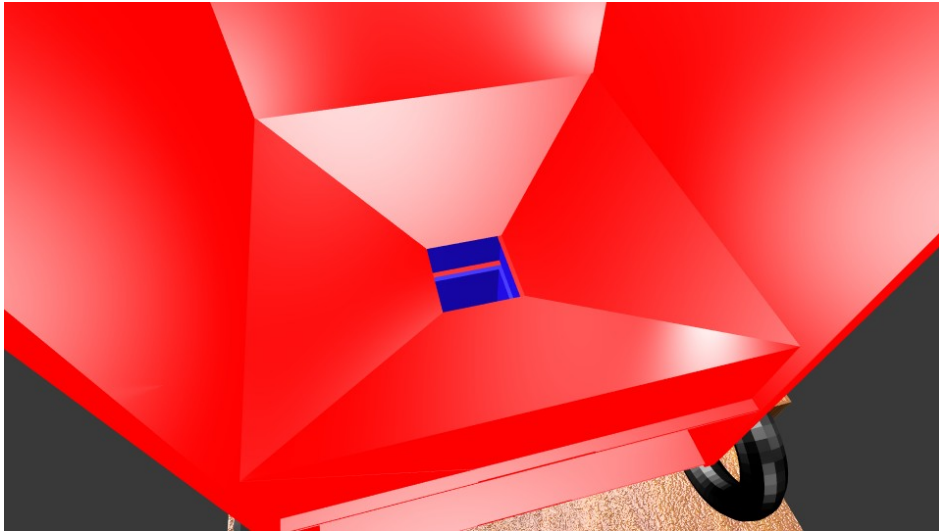


Fonte: PRÓPRIO (2019)

O projeto do carrinho, que consiste de um nó *IoT*, ocorre com a sua divisão em duas partes: superior e inferior. Na parte superior (Fig. 11) é feito o armazenamento do alimento, o qual passa por um processo de afunilamento para que ele deslize até o centro do dispositivo.

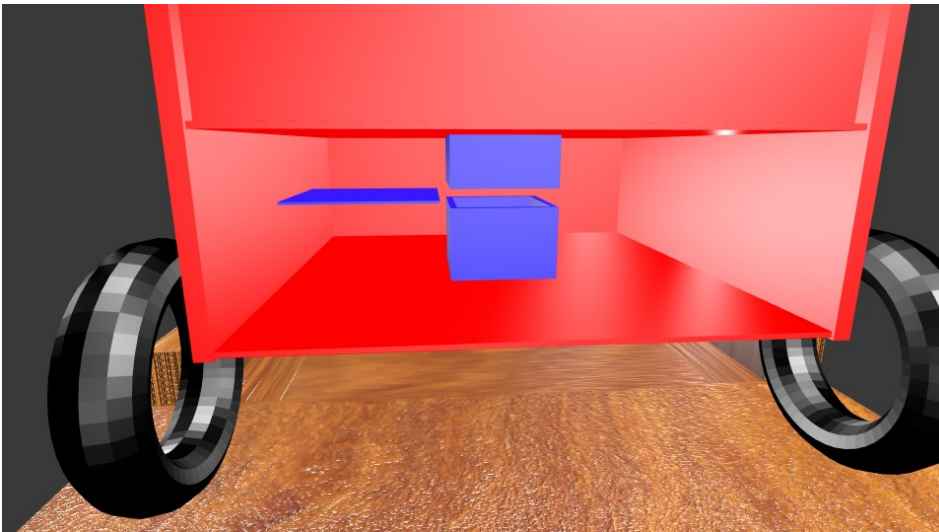
Após esse processo, o alimento cai dentro de um corredor que o levará até a parte inferior (Fig. 12). Quando isso ocorrer, um controlador de passagem decidirá se o alimento deve ou não ser liberado. Para isso conta-se com uma tampa de isolamento, que fica aberta ou fechada de acordo com a necessidade (liberação ou armazenagem do alimento, respectivamente).

Figura 11 - Visão interna da parte de cima do carrinho (nó *IoT*), em 3D.



Fonte: PRÓPRIO (2019)

Figura 12 - Visão interna da parte de inferior do carrinho (nó *IoT*), em 3D.



Fonte: PRÓPRIO (2019)

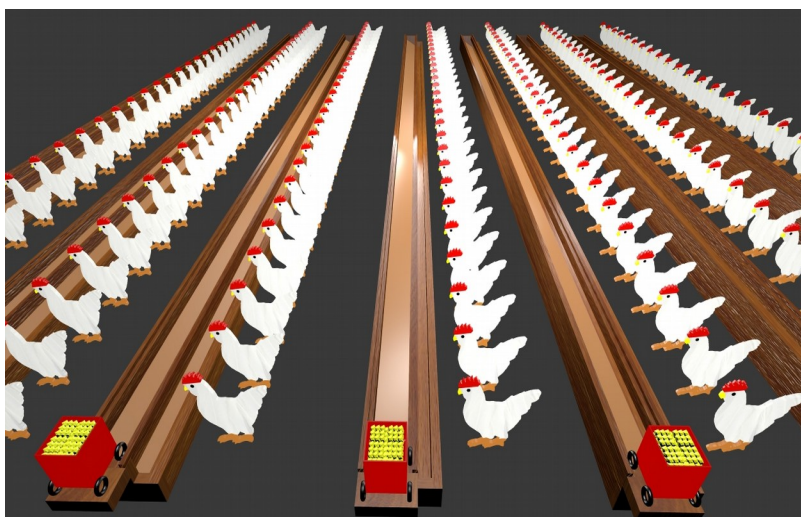
5.3. Sistema *Fog*

O sistema *Fog* é responsável por processar e administrar os dados fornecidos pelos usuários, assim como alertar as aves, por meio de efeitos sonoros, no momento em que a caixa de alimentação é abastecida. A partir do processamento dos dados, o sistema *Fog* gera as informações que serão utilizadas pelo nó *IoT*. Desse modo, o sistema *Fog* engloba toda camada de gerenciamento de dados, já que é ele quem repassará os comandos aos nós *IoT* e receberá as informações da camada de interface. Além disso, dependendo do tipo de aplicação da camada de interface, o sistema *Fog* pode ser dividido em duas partes para representar ambas as camadas. Uma aplicação de interface poderia ser um sistema *Web*, que ao invés de ser instalado no lado do cliente, como um aplicativo Android ou iOS, pode ficar no lado do servidor, se tornando, por consequência, um subsistema do sistema *Fog*.

5.4. Aplicação em larga escala

A automatização da alimentação de frangos, em granjas orgânicas, deve considerar o atendimento a um grande número de aves. A proposta do alimentador considera uma implementação em larga escala, em que vários nós *IoT* devem atuar para fornecer o alimento. Na Fig. 13 é apresentada uma ilustração em 3D em que os nós *IoT*, cada um posicionado em cima de uma caixa de alimentação própria, fazem o papel de reposição do alimento. Para uma melhor representação, na ilustração foram desenhados um grande número de frangos a espera do alimento, posicionados em frente às caixas de alimentação.

Figura 13 - Representação em 3D do alimentador inteligente aplicado em larga escala.



Fonte: PRÓPRIO (2019)

6. Desenvolvimento da proposta

Para o desenvolvimento da proposta foram criados um carrinho eletrônico, um sistema *Web* (em PHP) e um servidor (em Python). O carrinho eletrônico corresponde ao protótipo do nó *IoT*, enquanto que o sistema *Web* foi escolhido para servir como a aplicação da camada de interface. Já a camada de gerenciamento de dados conta com o servidor e com um banco de dados (MySQL), responsáveis por receber e armazenar os dados, inseridos pelos usuários, e por enviar os comandos de controle, ao nó *IoT*.

6.1. Sistema *Web*

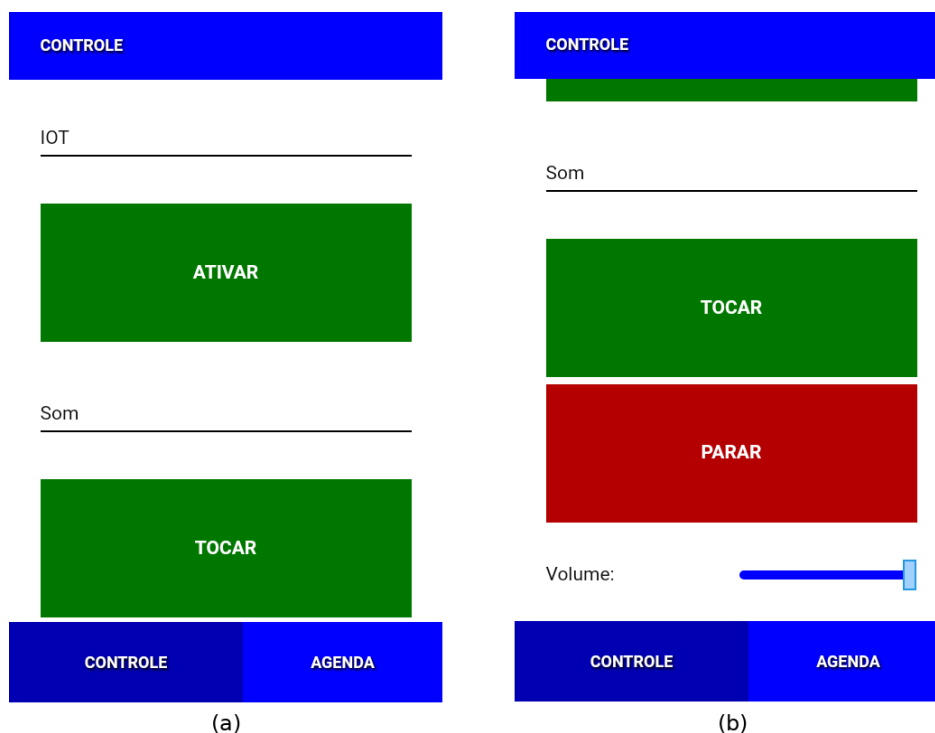
O sistema *Web* foi escolhido como a aplicação da camada de interface. O desenvolvimento levou em consideração todos os cenários de coleta de dados, desde o controle manual do nó *IoT* até o agendamento de horários das tarefas. O sistema conta, ao todo, com 3 (três) telas para interação com o usuário:

- Tela inicial (controle manual);
- Cadastro e atualização de agendamentos;
- Agendamento de horários.

6.1.1. Tela inicial: controle manual

A tela inicial é utilizada para controlar, de forma manual, o nó *IoT* e o som de alerta aos frangos. Para controlar o nó *IoT* é disponibilizado 1 (um) botão, cuja finalidade é enviar um comando ao nó *IoT* para que ele forneça o alimento para as aves. Já para o controle do som, a tela conta com dois botões, para ativar e desativar, e um campo para controlar o volume do som. O botão para ativar o nó *IoT* é mostrado na Fig. 14 (a). Já os botões de controle do som aparecem na Fig. 14 (b).

Figura 14 - Tela de controle manual do nó IoT.



Fonte: PRÓPRIO (2019)

6.1.2. Cadastro e edição de agendamentos

O cadastro de agendamentos considera os dados sobre os dias da semana em que um evento ocorrerá, o horário, se um efeito sonoro será disparado e o tempo e intensidade em que ocorrerá. O preenchimento de um campo para o nome também é exigido, pois facilitará a identificação dos registros quando forem apresentados aos usuários. As Fig. 15 (a) e Fig. 15 (b) mostram a tela de edição, que corresponde também a tela de cadastro. A Fig. 16 (a) e Fig. 16 (b) mostram as mensagens de sucesso e falha/erro na operação solicitada, respectivamente.

Figura 15 - Tela de cadastro e edição de agendamentos.

EDITAR EVENTO

Nome:

Horário: :

Domingo

Segunda

Terça

Quarta

Quinta

Sexta

SALVAR **CANCELAR**

(a)

EDITAR EVENTO

Quarta

Quinta

Sexta

Sábado

Som _____

Tocar:

Volume:

Tempo: segundos

SALVAR **CANCELAR**

(b)

Fonte: PRÓPRIO (2019)

Figura 16 - Mensagens de sucesso (a) e erro/falha (b) nas operações de cadastro e edição de agendamentos.

EDITAR EVENTO

Quarta

Quinta

192.168.50.179 diz

SUCESSO

Salvo com sucesso!

OK

Tocar:

Volume:

Tempo: segundos

SALVAR **CANCELAR**

(a)

EDITAR EVENTO

Quarta

Quinta

192.168.50.179 diz

OPERAÇÃO FALHOU

Algo inesperado ocorreu no servidor.

Verifique a corretude dos dados e tente mais tarde.

OK

Tocar:

Volume:

Tempo: segundos

SALVAR **CANCELAR**

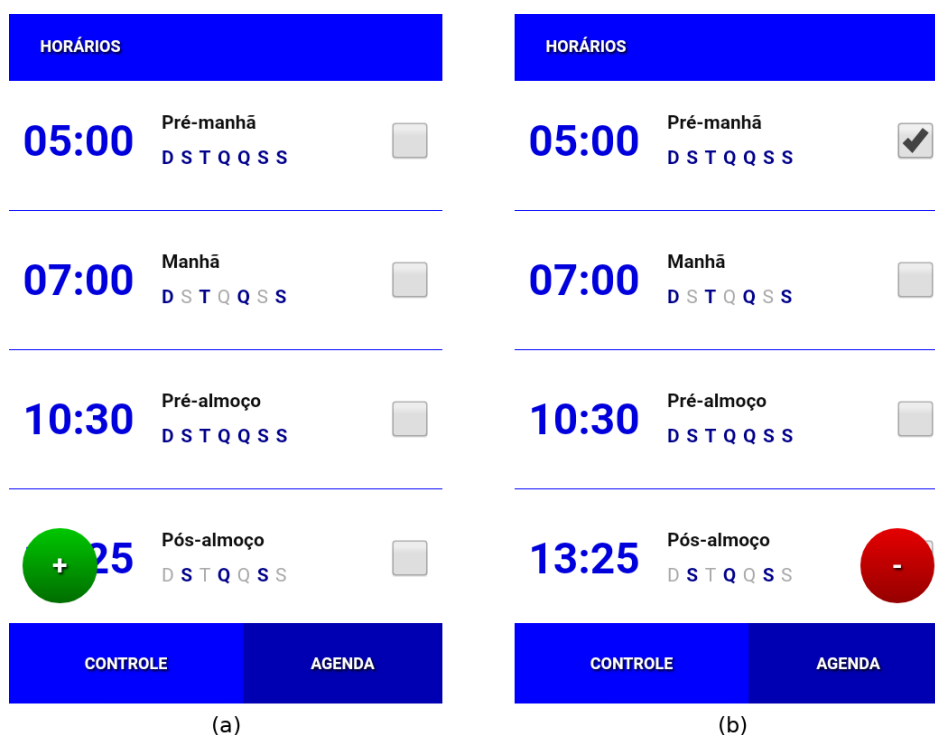
(b)

Fonte: PRÓPRIO (2019)

6.1.3. Agenda de horários

Após a criação dos agendamentos, uma lista dos registros é disponibilizada na tela agenda de horários. A Fig. 17 mostra como ocorre a listagem, apresentando o nome, horário e os dias programados para ocorrência do evento. A tela conta com campos de seleção para remover um ou mais agendamentos. Em caso de ao menos um agendamento ser selecionado, um botão vermelho é mostrado para solicitar a remoção do registro. Já no caso de nenhum campo ser selecionado, um botão verde é utilizado para abrir a tela de cadastro de um novo agendamento. Um link fica disponível no nome do agendamento para abrir a página de edição.

Figura 17 - Tela de listagem dos agendamentos para ocorrência de eventos do nó *IoT*.



Fonte: PRÓPRIO (2019)

6.2. Protótipo nó *IoT*

A proposta deste trabalho considera a implantação de um sistema para utilização em larga escala. A implementação da proposta, contudo, considera apenas um nó *IoT*, desenvolvido como protótipo. Uma caixa de alimentação, também protótipo, foi montada para atender as necessidades do dispositivo. Na Fig. 18 é apresentada uma visão geral do

dispositivo em cima da caixa de alimentação. Já na Fig. 19 é possível a visualização geral do carrinho, sem a caixa de alimentação. Por último, a Fig. 20 mostra a parte externa superior do dispositivo, onde ficam armazenados os alimentos.

Figura 18 - Visão geral do nó *IoT* e da caixa de alimentação.



Fonte: PRÓPRIO (2019)

Figura 19 - Visão geral do nó *IoT*.



Fonte: PRÓPRIO (2019)

Figura 20 - Parte externa superior do nó *IoT*.



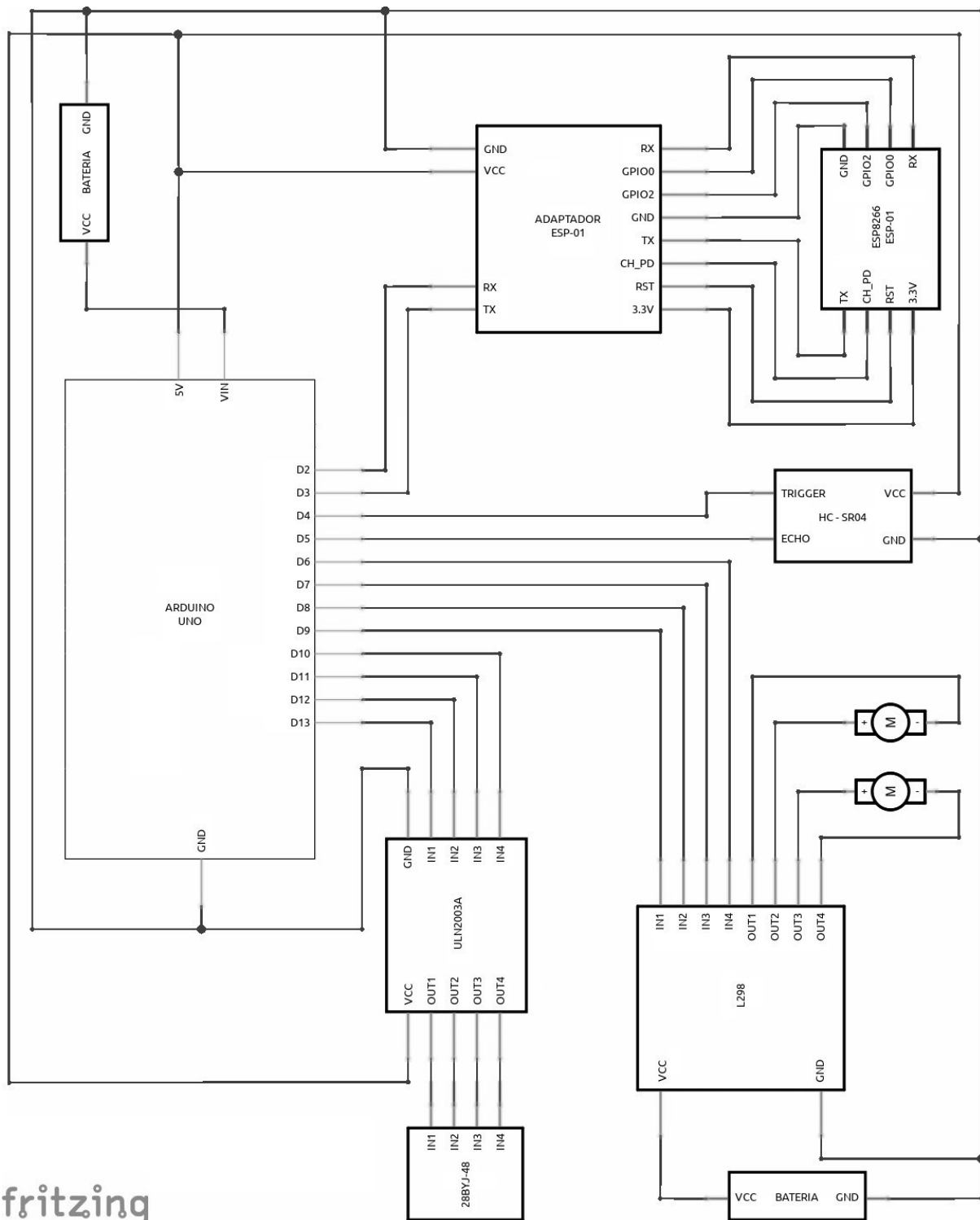
Fonte: PRÓPRIO (2019)

6.2.1. Esquema lógico do circuito eletrônico

Para o desenvolvimento do nó *IoT* foram utilizados um Arduíno (UNO), dois motores DC de 210RPM, um driver para motores DC (L298N), uma antena Wi-Fi (ESP8266 ESP-01), um driver de motores de passos (ULN2003), um motor de passos (28BYJ-48) e um sensor de distância (HC-SR04). Na parte dianteira do carrinho foram instalados os dois motores DC, cada um conectado a uma roda plástica, e o sensor de distância. As duas rodas traseiras, por não se conectarem aos motores, foram interligadas através de um eixo. O motor de passos foi posicionado no centro do dispositivo, cuja finalidade é o controle da passagem dos alimentos. Na parte externa traseira do dispositivo é fixado o Arduíno e uma fonte de 6V, formada por 5 (cinco) pilhas AA de 1.2V (2600mAh).

Na Fig. 21 é apresentado o esquema lógico do nó *IoT*. O Arduíno é conectado a antena ESP8266 ESP-01, ao driver L298N, ao driver ULN2003 e ao sensor HC-SR04. Uma fonte de 6V alimenta o driver L298N, e uma segunda fonte, também de 6V, alimenta o Arduíno. O Arduíno fica responsável por alimentar o driver ULN2003 e o sensor de distância, enquanto os motores são energizados pelos respectivos drivers.

Figura 21 - Esquema lógico do nó IoT.



fritzing

Fonte: PRÓPRIO (2019)

6.2.2. Movimentação

O funcionamento do nó *IoT* fica sob responsabilidade do Arduino. Ao receber o comando de acionamento, através da antena ESP8266 ESP-01, o Arduino emite um sinal para o driver L298N para que este realize o acionamento dos motores DC. O acionamento dos motores fará com que o carrinho se movimente, em um sentido, até o sensor HC-SR04 detectar um obstáculo. Após a detecção, o Arduino altera o sentido de movimentação do carrinho para que ele volte ao ponto de partida.

A movimentação do carrinho conta, ainda, com o uso da função `millis()`, da biblioteca Arduino. O objetivo da função `millis()` é obter o intervalo de tempo entre a inicialização do Arduino até o instante da chamada da função, cujos valores são fundamentais para o cálculo do tempo de movimentação. Para o cálculo, o algoritmo subtrai o valor obtido no início do trajeto pelo valor obtido no momento da detecção do obstáculo.

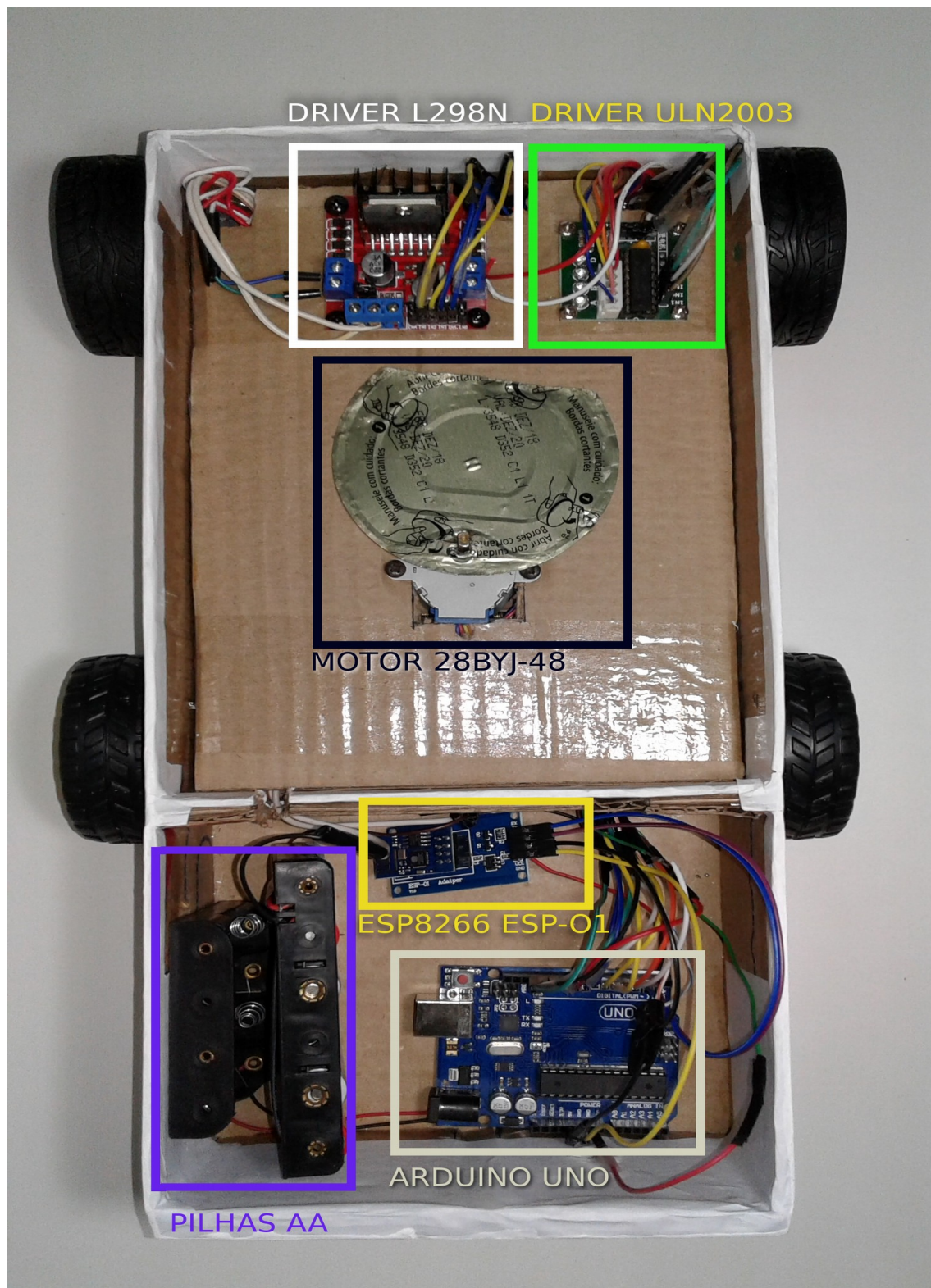
Para a implementação do retorno do dispositivo, ao ponto de origem, a função `millis()` é novamente utilizada. Com base no instante em que o carrinho chega ao final dos trilhos da caixa de alimentação, uma verificação, contida dentro de um loop, identificará o momento em que o tempo de movimentação atual seja igual ao calculado para ir da origem ao fim da pista. Nesse momento, considera-se que o dispositivo retornou ao ponto de origem, portanto os motores DC são desativados.

6.2.3. Reservatório

Além do acionamento dos motores DC, o Arduino controla o driver ULN2003 para que seja aberta ou fechada a passagem do alimento. No momento em que os motores DC são acionados, o Arduino emite um sinal ao driver ULN2003 para que o motor 28BYJ-48 faça um giro de 180 graus na horizontal, permanecendo (o motor) desativado até que o carrinho retorne ao ponto de origem. Ao retornar, o Arduino determina que o motor 28BYJ-48 realize um giro de 180 graus no sentido inverso, e em seguida o motor é novamente desativado.

A Fig. 22 apresenta a parte interna do dispositivo, onde é possível visualizar o motor 28BYJ-48 conectado a uma placa de metal, para abrir e fechar o reservatório. Também é possível a visualização do driver L298N e do driver ULN2003, um pouco acima do motor 28BYJ-48. Abaixo do motor 28BYJ-48 estão o Arduino, as pilhas AA e a antena ESP8266 ESP-01.

Figura 22 - Visão da parte interna do dispositivo IoT.



Fonte: PRÓPRIO (2019)

6.3. Servidor

O servidor, responsável pelo gerenciamento dos dados, conta com 3 (três) *Sockets TCP/IP*. O primeiro *Socket* atua para troca de dados com a interface. O segundo se destina a recepção de dados enviados pela camada *IoT*, e é utilizado para cadastrar um nó *IoT* no servidor. O último *Socket* atua como emissor, enviando os comandos de operação para todos os nós *IoT* cadastrados.

A hospedagem do servidor é feita em um Raspberry Pi 3, que conta com um módulo *Wi-Fi* para comunicação *Wireless* e entradas para conexões com dispositivos de hardware externos, como os alto falantes. Para o funcionamento da gerência de dados, o servidor conta com um banco de dados MySQL para o armazenamento de dados, recebidos da camada de interface, e processados pelo servidor. A Fig. 23 apresenta o esquema do banco de dados, que conta com a tabela *evento_agendamento*. Na tabela são armazenados os registros de agendamento dos dias e horários em que o nó *IoT* irá operar, além da possível emissão de sons de alerta para as aves.

Figura 23 - Esquema do banco de dados utilizado para armazenar o agendamento de eventos do nó *IoT*.

Column Name	Data Type
idAgendamento	INT
nome	VARCHAR(30)
horario	TIME
domingo	BOOLEAN
segunda	BOOLEAN
terca	BOOLEAN
quarta	BOOLEAN
quinta	BOOLEAN
sexta	BOOLEAN
sabado	BOOLEAN
somTocar	BOOLEAN
somTempoDuracao	INT(2)
somVolume	INT(3)

Indexes

Fonte: PRÓPRIO (2019)

6.3.1. Comunicação entre interface e servidor

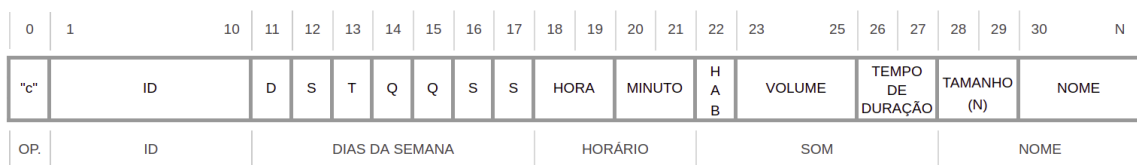
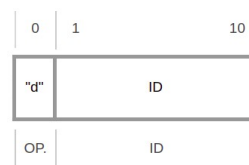
Para gerenciar as requisições, o servidor conta com a padronização da inserção (Fig. 24), remoção (Fig. 25), atualização (Fig. 26), seleção individual (Fig. 27) e seleção de todos os agendamentos de eventos da tabela evento. Desse modo, independente da aplicação da camada de interface, as solicitações devem seguir um modelo pré-definido para possibilitar a comunicação entre as camadas. A solicitação para seleção de todos os eventos possui apenas 1 (um) byte, correspondente ao caractere "e". Os dados, de ambas as operações, são definidos da seguinte forma:

- **Operação (op):** possui 1 (um) byte (caractere) para informar o tipo de operação a ser realizada. A Tab. 2 apresenta os valores de cada operação;
- **Dias da semana (d, s, t, q, q, s, s):** correspondem, juntos, ao conjunto de 7 bytes para habilitar/desabilitar o funcionamento do carrinho nos 7 dias da semana: domingo, segunda, terça, quarta, quinta, sexta e sábado, nessa ordem. Cada um dos 7 bytes conterá o valor 0, para desabilitar, ou 1, para habilitar;
- **Horário (hora, minuto):** retém um total de 4 bytes, que representam, juntos, a hora e minuto em que o agendamento ocorrerá. Os 2 primeiros bytes se referem a hora, no intervalo entre 0 e 23, e os dois últimos aos minutos, dentro do intervalo de 0 a 59;
- **Som (habilitado, volume, tempo de duração):** se referem a 1 byte para habilitação/desabilitação do alerta sonoro, 3 bytes para o intervalo entre 0 a 100 da intensidade do volume e de 2 bytes para o intervalo de tempo entre 0 a 59 segundos;
- **ID (id):** formado por 10 bytes para representar o código único de registro do agendamento (id), no banco de dados;
- **Nome (tamanho, nome):** possui um tamanho variável de bytes, que vai de 2 a 32 bytes. Os dois primeiros bytes correspondem ao tamanho do nome (ilustrado na sequência com a letra N), que pode variar de 0 a 30 caracteres. Os bytes seguintes são preenchidos com os caracteres do nome.

Figura 24 - Mensagem de solicitação para registrar um agendamento.

0	1	2	3	4	5	6	7	8	9	10	11	12	13	15	16	17	18	19	20	N	
"a"	D	S	T	Q	Q	S	S	HORA	MINUTO	H A B	VOLUME	TEMPO DE DURAÇÃO	TAMANHO (N)	NOME							
OP.	DIAS DA SEMANA							HORÁRIO			SOM			NOME							

Fonte: PRÓPRIO (2019)

Figura 25 - Mensagem de solicitação para remoção de um agendamento.**Fonte:** PRÓPRIO (2019)**Figura 26** - Mensagem de solicitação para edição dos dados de um agendamento.**Fonte:** PRÓPRIO (2019)**Figura 27** - Mensagem de solicitação dos dados de um agendamento.**Fonte:** PRÓPRIO (2019)**Tabela 2** - Bytes de identificação enviados na mensagem da interface para o servidor.

Operação	Byte de comando
Inserir	a
Remover	b
Editar	c
Selecionar agendamento	d
Selecionar todos os agendamentos	e

Fonte: PRÓPRIO (2019)

A troca de dados conta, ainda, com os padrões para o envio da resposta do servidor para a interface. Os modelos de dados são os mesmos utilizados para representar as solicitações da interface para o servidor. As respostas para solicitação de inserção, remoção e

atualização correspondem a 1 (um) byte contendo o valor 0 (zero), para erro/falha, ou o valor 1 (um), para sucesso. Já as respostas para seleção de um agendamento ou de todos os agendamentos são representadas pelas Fig. 28 e Fig. 29, respectivamente.

Figura 28 - Mensagem de resposta do servidor para a solicitação dos dados de um agendamento.

0	1	2	3	4	5	6	7	8	9	10	11	12	14	15	16	17	18	19	N
D	S	T	Q	Q	S	S	HORA		MINUTO	H A B	VOLUME		TEMPO DE DURAÇÃO	TAMANHO (N)	NOME				
DIAS DA SEMANA						HORÁRIO				SOM				NOME					

Fonte: PRÓPRIO (2019)

Figura 29 - Mensagem de resposta do servidor para a solicitação dos dados de todos os agendamentos.

0	9	10	11	12	13	14	15	16	17	18	19	20	21	22	23	N
ID			D	S	T	Q	Q	S	S	HORA	MINUTO	TAMANHO (N)	NOME			
ID			DIAS DA SEMANA				HORÁRIO				NOME					

Fonte: PRÓPRIO (2019)

6.3.2. Comunicação entre servidor e *IoT*

A comunicação entre o servidor e o nó *IoT* ocorre em duas etapas, sendo a primeira de configuração e a segunda de controle. A primeira etapa consiste no recebimento de uma solicitação, do nó *IoT* ao servidor, para que o servidor comece a enviar comandos de controle ao dispositivo. Ao receber a solicitação o servidor armazena o endereço de rede do dispositivo em uma lista, e assim que um comando tenha de ser enviado, o servidor o envia a todos os nós cadastrados na lista.

O comando esperado por um nó *IoT* corresponde a um byte de controle: caractere "a". O recebimento do comando força o dispositivo a percorrer a caixa de alimentação, e durante o percurso deve-se liberar o alimento armazenado. Qualquer dado diferente do caractere "a" será ignorado. Se o nó já estiver realizando uma operação, o caractere "a" também será ignorado até que a tarefa seja finalizada.

7. Conclusão e trabalhos futuros

Nessa seção são apresentadas as conclusões e os trabalhos futuros. Na subseção 7.1 são descritos os resultados obtidos com o desenvolvimento deste trabalho. Na seção 7.2 são apresentados possíveis problemas que poderiam ser solucionados futuramente, com base nos resultados apresentados nesse trabalho.

7.1. Conclusão

O objetivo deste trabalho foi contribuir com a avicultura orgânica, e para isso foram propostas ferramentas que possibilitam a automação parcial da criação de frangos. O trabalho levou em consideração o tempo exigido para alimentar as aves de forma manual, em conjunto com o crescente interesse em produtos orgânicos. Um levantamento foi realizado para encontrar ferramentas que pudessem auxiliar na criação de um alimentador de frangos, resultando em 5 (cinco) trabalhos correlatos, mencionados no Cap. 4. Considerando o levantamento realizado, a proposta e implementação de um sistema inteligente, que gerencia o fornecimento dos alimentos, foram apresentados nos Cap. 5 e Cap. 6. Considerando, ainda, o grande número de aves que devem ser atendidas, o trabalho tratou da implementação para um contexto em larga escala.

O desenvolvimento da proposta, em grande parte, acontece com o projeto de um dispositivo *IoT*. O dispositivo é responsável por cumprir com o papel de repositório do alimento dentro de uma caixa de alimentação (utilizada para alimentação das aves). Um servidor, em conjunto com um sistema *Web*, foram instalados na *Fog* e utilizados em conjunto para gerenciar o dispositivo *IoT*. O usuário cadastra as informações necessárias, através do sistema *web*, como os dias e horários de atuação do nó *IoT*, e o servidor as processa e se encarrega de controlar o dispositivo *IoT*.

Alguns problemas surgiram durante a etapa de implementação do protótipo, do nó *IoT*, e gerou a necessidade da realização da troca de equipamentos de hardware. Inicialmente foram utilizadas antenas NRF24L01 para comunicação entre a *Fog* e os dispositivos *IoT*, porém uma sequência de erros levaram a substituição desta antena pela antena *Wi-Fi* ESP8266 ESP-01. Já no processo de finalização do protótipo, um problema de alimentação forçou a separação da fonte de energia entre o Arduino UNO e os motores DC, pois ao realizar a inversão do sentido de movimentação dos motores o Arduino sofria um processo de reinicialização.

7.2. Trabalhos futuros

A proposta para automação da alimentação de frangos, apresentadas neste trabalho, consideram o controle dos alimentos enquanto ainda estão estocados ou sendo liberados. Contudo, os cuidados necessários com as sobras não foram devidamente realizados. Desse modo, um trabalho futuro deveria considerar o gerenciamento inteligente dessas sobras, para que possíveis parasitas, como os ratos, não tenham acesso aos alimentos.

Além do aprimoramento da ferramenta, um estudo sobre o uso em outros animais poderia ser realizado. O trabalho é motivado pela criação de frangos, porém animais domésticos, como cães e gatos, talvez possam ser alimentados pelo equipamento.

Por fim, apesar do protótipo apresentado depender do uso de pilhas AA, a economia sobre o consumo de energia não foi considerada na implementação. Um estudo sobre os gastos realizados, além de medidas para diminuição desses gastos, poderiam ser exploradas para melhorar a eficiência do dispositivo.

REFERÊNCIAS

ALVES, S. P.; SILVA, I. J. O.; PIEDADE, S. M. S. Avaliação do bem estar de aves poedeiras comerciais: efeitos do sistema de criação e do ambiente bioclimático sobre o desempenho das aves e a qualidade de ovos. *Revista Brasileira de Zootecnia*, v. 36, n. 5, p. 1388-1394, 2007.

AMMAD-UDDIN, M.; AYAZ, M.; AGGOUNE, E-H.; SAJJAD, M. Wireless sensor network: A complete solution for poultry farming. *2014 IEEE 2nd International Symposium on Telecommunication Technologies (ISTT)*, p. 321-325, 2014.

ANOMALY, J. What's Wrong With Factory Farming? *Public Health Ethics*, v. 8, n. 3, p. 246-254, 2015.

APAOLAZA, V.; HARTMANN, P.; SOUZA, C.; LÓPEZ, C. M. Eat organic – Feel good? The relationship between organic food consumption, health concern and subjective wellbeing. *Food Quality and Preference*, v. 63, p. 51-62, 2018.

Avicultura sofrerá com mudanças climáticas - Portal Embrapa. Disponível em: <www.embrapa.br/busca-de-noticias/-/noticia/7546116/avicultura-sofrera-com-mudancas-climaticas>. Acesso em ago. 2018.

BARACHO, M. S.; NAAS, I. A.; BETIN, P. S.; MOURA, D. J. Factors that Influence the Production, Environment, and Welfare of Broiler Chicken: A Systematic Review. *Brazilian Journal of Poultry Science*, v. 20, n. 3, p. 617-624, 2018.

BERG, C. Health and Welfare in Organic Poultry Production. *Acta Veterinaria Scandinavica*, v. 43, n. 1, p. 37-45, 2002.

BÍBLIA. Português. Bíblia Sagrada. Tradução de João Ferreira de Almeida. Barueri - SP: Sociedade Bíblica do Brasil, 1993.

BRASIL. Decreto Federal 6. 323, de 27 de dezembro de 2007. Regulamenta a Lei no 10.831, de 23 de dezembro de 2003, que dispõe sobre a agricultura orgânica, e dá outras providências.

BRASIL. Lei nº 10831, de 23 de dezembro de 2003. Diário Oficial da República Federativa do Brasil, Poder Executivo, Brasília, DF, 23 dez. 2003. Seção 1, p. 8.

CASSUCE, D. C.; TINÔCO, I. F. F.; BAÊTA, F. C.; ZOLNIER, S.; CECON, P. R.; VIEIRA, M. F. A. Thermal comfort temperature update for broiler chickens up to 21 days of age., v. 33, n. 1, p. 28-36, 2013.

CHEN, Y.; AZHARI, M. Z.; LEU, J. Design and implementation of a power consumption management system for smart home over fog-cloud computing View Document. *2018 3rd International Conference on Intelligent Green Building and Smart Grid (IGBSG)*, 2018.

CHIEN, Y-R.; CHEN, Y-X. An RFID-Based Smart Nest Box: An Experimental Study of Laying Performance and Behavior of Individual Hens. *SENSORS 2018*, v. 18, n. 3, p. 859-870, 2018.

CHIEOCHAN, O.; SAOKAEW, A.; BOONCHIENG, E. IOT for smart farm: A case study of the Lingzhi mushroom farm at Maejo University. *2017 14th International Joint Conference on Computer Science and Software Engineering (JCSSE)*, 2017.

DAMASCENO, F. A.; CASSUCE, D. C.; ABREU, L. H. P.; SCHIASSI, L.; TINÔCO, I. F. F. Effect of thermal environment on performance of broiler chickens using fuzzy modeling. *Revista Ceres*, v. 64, n. 4, p. 337-343, 2017.

DIAS, A. N.; MACIEL, M. P.; AIURA, A. L. O.; AROUCA, C. L. C.; SILVA, D. B.; MOURA, V. H. S. Linhagens de frangos caipiras criadas em sistema semi-intensivo em região de clima quente. *Pesquisa Agropecuária Brasileira*, v. 51, n. 12, p. 2010-2017, 2016.

FELTES, M. M. C.; ARISSETO-BRAGOTTO, A. P.; BLOCK, J. M. Food quality, food-borne diseases, and food safety in the Brazilian food industry. *Food Quality and Safety*, v. 1, n. 1, p. 13-27, 2017.

FIGUEIREDO, E. A. P.; SOARES, J. P. G. Sistemas orgânicos de produção animal: dimensões técnicas e econômicas. *Anais da 49a Reunião Anual da Sociedade Brasileira de Zootecnia*, 2012.

GIFFORD, K.; BERNARD, J. C. The effect of information on consumers' willingness to pay for natural and organic chicken. *International Journal of Consumer Studies*, v. 35, n. 3, p. 282-289, 2011.

GUPTA, H.; DASTJERDI, A. V.; GHOSH, S. K.; BUYYA, R. iFogSim: A toolkit for modeling and simulation of resource management techniques in the Internet of Things, Edge and Fog computing environments. *Journal of Software: Practice and Experience*, v. 47, n. 9, p. 1275-1296, 2017.

HONKANEN, P.; VERPLANKEN, B.; OLSEN, S. O. Ethical values and motives driving organic food choice. *Journal of Consumer Behaviour*, v. 5, n. 5, p. 420-430, 2006.

KHALIL, I. M.; KHREISHAH, A.; AZEEM, M. Cloud Computing Security: A Survey. *Computers*, v. 3, n. 1, p. 1-35, 2014.

LOUZADA, M. L. C.; RICARDO, C. Z.; STEELE, E. M.; LEVY, R. B.; CANNON, G.; MONTEIRO, C. A. The share of ultra-processed foods determines the overall nutritional quality of diets in Brazil. *Public Health Nutrition*, v. 21, n. 1, p. 94-102, 2017.

MEAH, K.; FORSYTH, J.; MOSCOLA, J. A Smart Sensor Network for an Automated Urban Greenhouse. *2019 International Conference on Robotics, Electrical and Signal Processing Techniques (ICREST)*, p. 23-27, 2019.

MELL, P.; GRANCE, T. The NIST Definition of Cloud Computing. *National Institute of Standards and Technology*, 2011.

MOURA, G. R. S.; MENDONÇA, M. O.; SALGADO, H. R.; CASTRO, J. O.; SOUZA, R. T. Galinhas semipesadas em postura criadas sobre diferentes tipos de cama. *Revista Brasileira de Saúde e Produção Animal*, v. 18, n. 2, p. 378-387, 2017.

MUKHERJEE, M.; SHU, L.; WANG, D. Survey of Fog Computing: Fundamental, Network Applications, and Research Challenges. *IEEE Communications Surveys & Tutorials*, v. 20, n. 3, p. 1826-1857, 2018.

MUNIR, A.; KANSAKAR, P.; KHAN, S. U. IFCIoT: Integrated Fog Cloud IoT: A novel architectural paradigm for the future Internet of Things. *IEEE Consumer Electronics Magazine*, v. 6, n. 3, p. 74-82, 2017.

NAVANEETH, B. S.; MURTY, A. K. AUTOMATIC POULTRY FEEDER. *International Journal of Advance Engineering and Research Development*, v. 2, n. 7, p. 338-343, 2015.

PERALA, S. S. N.; GALANIS, I.; ANAGNOSTOPOULOS, I. Fog Computing and Efficient Resource Management in the era of Internet-of-Video Things (IoVT). *2018 IEEE International Symposium on Circuits and Systems (ISCAS)*, 2018.

PEREIRA, D. C. O.; MIRANDA, K. O. S.; FILHO, L. C. D.; PEREIRA, G. V.; PIEDADE, S. M. S.; BERNO, P. R. Presence of roosters in an alternative egg production system aiming at animal welfare. *Brazilian Journal of Animal Science*, v. 46, n. 3, p. 175-184, 2017.

PSD Online. Disponível em: <apps.fas.usda.gov/psdonline/app/index.html#/app/downloads>. Acesso em ago. 2018.

RAY, P. P. A survey on Internet of Things architectures. *Journal of King Saud University - Computer and Information Sciences*, v. 30, n. 3, p. 291-319, 2018.

ROCHA, J. S. R.; LARA, L. J. C.; BAIÃO N. C. PRODUÇÃO E BEM-ESTAR ANIMAL - ASPECTOS ÉTICOS E TÉCNICOS DA PRODUÇÃO INTENSIVA DE AVES. *Ciência Veterinária nos Trópicos*, v. 11, n. 1, p. 49-55, 2008.

ROMAN, R.; LOPEZ, J.; MASAHIRO, M. Mobile edge computing, Fog et al.: A survey and analysis of security threats and challenges. *Future Generation Computer Systems*, v. 78, n. 2, p. 680-698, 2018.

ROSSA, L. S.; STERTZ, S. C.; MACEDO, R. E. F. Regulamentação, mercado e qualidade da carne de frango orgânico no Brasil – Revisão. *Revista Acadêmica: Ciência Animal*, v. 10, n. 1, p. 29-44, 2012.

SAMPAIO, H. V.; JESUS, A. L. C.; BOING, R. N.; WESTPHALL, C. B. Autonomic IoT Battery Management with Fog Computing. GPC: *International Conference on Green, Pervasive, and Cloud Computing*, v. 11484, p. 89-103, 2019.

SILVA, M. A. N.; FILHO, P. H.; ROSÁRIO, M. F.; COELHO, A. A. D.; SAVINO, V. J. M.; GARCIA, A. A. F.; SILVA, I. J. O.; MENTEN, J. F. M. Influência do Sistema de Criação sobre o Desempenho, a Condição Fisiológica e o Comportamento de Linhagens de Frangos para Corte. *Revista Brasileira de Zootecnia*, v. 32, n. 1, p. 208-213, 2003.

SINGH, S.; JEONG, Y-S.; PARK, J. H. A survey on cloud computing security: Issues, threats, and solutions. *Journal of Network and Computer Applications*, v. 75, p. 200-222, 2016.

SOH, Z. H. C.; ISMAIL, M. H.; OTTHAMAN, F. H.; SAFIE, M. K.; ZUKRI, M. A. A.; ABDULLAH, S. A. C. Development of automatic chicken feeder using Arduino Uno. *2017 International Conference on Electrical, Electronics and System Engineering (ICEESE)*, p. 120-124, 2017.

STERGIOU, C.; PSANNIS, K. E.; KIM, B-G.; GUPTA, B. Secure integration of IoT and Cloud Computing. *Future Generation Computer Systems*, v. 78, n. 3, p 964-975, 2018.

VOGADO, G. M. S.; VOGADO, K. T. S.; FONSECA, W. J. L.; FONSECA, W. L.; VOGADO, W. F.; OLIVEIRA, A. M.; OLIVEIRA, N. M.; LUZ, C. S. M. EVOLUÇÃO DA AVICULTURA BRASILEIRA. *Nucleus Animalium*, v. 8, n. 1, p. 49-58, 2016.

XU, L. D.; HE, W.; LI, S. Internet of Things in Industries: A Survey. *IEEE Transactions on Industrial Informatics*, v. 10, n. 4, p. 2233-2243, 2014.

WU, W-C.; CHENG, K-C.; LIN, P-Y. A remote pet feeder control system via MQTT protocol. *2018 IEEE International Conference on Applied System Invention (ICASI)*, p. 487-489, 2018.

ZANDER, K.; HAMM, U. Consumer preferences for additional ethical attributes of organic food. *Food Quality and Preference*, v. 21, n. 5, p. 495-503, 2010.

ZANELLA, A.; BUI, N.; CASTELLANI, A.; VANGELISTA, L.; ZORZI, M. Internet of Things for Smart Cities. *IEEE Internet of Things Journal*, v. 1, n. 1, p. 22-32, 2014.

ZANINELLI, M.; REDAELLI, V.; TIRLONI, E.; CRISTIAN, B.; DELL'ORTO, V.; SAVOINI, G. First Results of a Detection Sensor for the Monitoring of Laying Hens Reared in a Commercial Organic Egg Production Farm Based on the Use of Infrared Technology. *SENSORS*, v. 16, n. 10, 2016.

APÊNDICE A – Artigo no formato SBC

Gerenciamento Autônomo da Alimentação de Frangos em Aviários de Criação Alternativa com Fog e IoT

Ricardo N. Boing¹

¹Departamento de Informática e Estatísticas
Universidade Federal de Santa Catarina (UFSC) – Florianópolis, SC – Brazil

ricardoboing.ufsc@gmail.com

Abstract. *The quality and food safety are often the subject of discussions, mainly due to nutrient shortages or because they are a means of disease transmission. Concerned about human health and animal welfare, consumers are beginning to choose organic food. Poultry farming is one of the means of obtaining meat in the world. It has part of its market focused on organic farming. Considering the interest in organic products, this work focuses on the automation of environments for the alternative creation of chickens. Based on IoT and Fog Computing paradigms, an intelligent feeder is proposed, with objective to supply food to the birds, in an autonomous way.*

Resumo. *A qualidade e a segurança alimentar são frequentemente alvos de discussões, principalmente devido à escassez de nutrientes ou por serem um meio de transmissão de doenças. Preocupados com a saúde humana e com a garantia do bem-estar animal, os consumidores começam a optar pelo consumo de alimentos orgânicos. A avicultura, um dos principais meios de obtenção de carne no mundo, tem parte do seu mercado voltado à criação orgânica. Considerando o interesse nos produtos orgânicos, este trabalho tem como foco a automatização de ambientes para criação alternativa de frangos. Com base nos paradigmas IoT e Fog Computing, é proposto um alimentador inteligente, cujo objetivo é abastecer de forma autônoma os locais de alimentação das aves.*

1. Introdução

A agricultura industrial, por conta dos seus baixos custos de produção, vem crescendo cada vez mais em nível mundial. Dentre os assuntos decorrentes está a criação intensiva de aves, que são confinadas dentro de ambientes fechados, praticamente sem espaço para se locomoverem. Especialistas relatam que nessas condições as aves vivem estressadas e perdem os seus instintos naturais, possibilitando o surgimento de diversos tipos de doenças. Muitos profissionais criticam a adoção do sistema, afirmando que são cruéis e causam prejuízos à saúde do animal, mais tarde repassados ao consumidor (ANOMALY, 2015).

Segundo a Organização Mundial de Saúde (OMS), citada por FELTES (2017), estima-se que em 2010 quase uma em cada dez pessoas adoeceram no mundo por contaminação alimentar. Crianças, idosos e gestantes, por possuírem baixas condições físicas e imunológicas, estão entre os mais propensos a contaminação. O Brasil é um dos interessados em combater esse mal, já que é um grande fornecedor de alimentos. Em 2015, o país foi o segundo maior produtor e exportador de carne de frangos no mundo.

De acordo com LOUZADA (2017), a industrialização é um assunto de fundamental importância para questão alimentar. De acordo com sua publicação, a causa de doenças como

diabetes, obesidade e câncer estão fortemente ligadas com a ingestão de alimentos industrializados ultraprocessados. LOUZADA (2017) destaca, ainda, a importância das vitaminas e sais minerais (adequados) para saúde, os quais nem sempre podem ser obtidos a partir desse tipo de alimento.

1.1. Motivação

A avicultura ocupava o segundo lugar no ranking mundial de produção de carnes, até o ano de 2010, com um total equivalente a quase 72 milhões de toneladas produzidas ao ano. Sendo um dos principais exportadores de carnes de frango, o Brasil produziu naquele ano o equivalente a pouco mais de 12 milhões de toneladas (ROSSA, 2012). Entre 2014 e outubro de 2018 o Brasil se tornou o maior exportador mundial de frangos e o segundo maior produtor mundial da carne, tendo como seu principal concorrente os EUA, que nesse mesmo período ficou em segundo colocado no número de exportações e como primeiro no número de produção (PSD Online, 2018).

1.2. Justificativas

Apesar do crescimento da agricultura industrial, um número cada vez maior de consumidores vem optando pelo consumo de alimentos orgânicos. ZANDER (2010), em seus estudos, afirma existir um descontentamento das pessoas em relação ao modo convencional de produção. Segundo ZANDER (2010) e APAOLAZA (2018) isso se justifica principalmente pela preocupação relacionada à saúde e bem-estar humano e animal. Isso porque muitas pessoas acreditam ser mais saudável o consumo de alimentos orgânicos e consideram importante o tratamento dado aos animais que serão abatidos.

1.3. Objetivos

Nesta subseção são descritos os objetivos deste trabalho. Primeiramente é apresentado uma descrição geral sobre o assunto, e, na sequência, são enumerados de forma mais específica cada um dos objetivos.

1.3.1. Objetivo geral

Com base na criação orgânica de frangos, esse trabalho possui como objetivo o desenvolvimento de um sistema para automatizar a reposição de alimentos em ambientes de confinamento das aves. O sistema deve ser projetado de acordo com as leis em vigor, destinadas ao desenvolvimento orgânico de animais, no Brasil, as quais visam manter o bem-estar físico, psicológico, comportamental, ambiental e nutricional das aves no decorrer de todas as etapas de criação.

1.3.2. Objetivos específicos

Os objetivos específicos deste trabalho são:

1. Manter os espaços de alimentação abastecidos;
2. Emitir sinais para alertar as aves quando o alimentador for reabastecido;
3. Fornecer meios para cadastrar dias/horários para o reabastecimento automático do alimentador;
4. Fornecer uma forma de controlar manualmente o alimentador, sem a necessidade do cadastro de dias e horários.

1.4. Método de pesquisa e trabalho

A seguir são apresentados os métodos de trabalho.

1. Reunir informações sobre o processo de criação de frangos e as diferenças entre os sistemas intensivo (tradicional) e semi-intensivo (caipira e orgânico);
2. Pesquisar sobre as exigências das leis nacionais que possam influenciar no processo de desenvolvimento do sistema;
3. Realizar um levantamento sobre os modos de criação de frangos, atualmente em vigor, que sejam relevantes para o projeto;
4. Pesquisar por tecnologias que estejam em uso, que possam ser aprimoradas ou que sirvam de base para criação de novas soluções;
5. Desenvolver a proposta com base nas tecnologias e informações encontradas;
6. Implementar um protótipo para demonstração da proposta.

1.5. Organização do trabalho

Esse documento está organizado em 7 Seções. Na Seção 2 são descritos os principais conceitos e paradigmas computacionais, que foram considerados para implementação da proposta. A Seção 3 apresenta o estado da arte na área avícola. Na Seção 4 é feita uma breve descrição sobre cinco artigos, que servirão como base para o desenvolvimento da proposta. Na Seção 5 é apresentada a proposta, cuja implementação é mostrada na Seção 6. Por fim, a Seção 7 destina-se a conclusão e sugestões para trabalhos futuros.

2. Conceitos básicos

Neste capítulo são apresentados os principais conceitos, da área de computação, que serão utilizados no decorrer do trabalho, sendo eles: *Internet of Things*, *Cloud Computing* e *Fog Computing*.

2.1. *Internet of Things*

Internet of Things (IoT) é um conceito de redes de computadores que introduz objetos do mundo real ao virtual, com o propósito de possibilitar a comunicação entre eles. Dentro dessa rede encontram-se sensores, atuadores, computadores pessoais e qualquer outro dispositivo considerado inteligente (MUNIR, 2017). São esses dispositivos que capturam dados e informações, que posteriormente são utilizados para fornecer melhores serviços à população, em áreas residenciais, hospitalares, industriais (ZANELLA, 2014), agrícolas, dentre outros. Cada objeto possui uma identidade e atributos próprios e podem se conectar a *Internet*, portanto, para acessá-los não é preciso necessariamente que exista uma conexão de rede local (XU, 2014).

Para facilitar e simplificar a usabilidade, um sistema *IoT* pode ser dividido em vários blocos funcionais. Um exemplo é mostrado em RAY (2018), que realiza a divisão em seis blocos, os quais são descritos na sequência do texto.

- **Dispositivo:** são "coisas" do nosso dia a dia, como relógios inteligentes, veículos, máquinas e roupas. Fazem parte dos objetivos de um dispositivo a realização de coleta de dados, envio de dados para servidores, comunicação com outros dispositivos e/ou aplicativos. A maioria dos dispositivos realizam o processamento de dados para gerar informações úteis, posteriormente utilizadas para alcançar um dado objetivo. Um

exemplo é o processo de monitoramento de um jardim, em que são determinados os melhores horários para realizar a irrigação;

- **Comunicação:** é responsável pela comunicação entre dois ou mais dispositivos e entre dispositivos e servidores remotos. Os protocolos *IoT* funcionam, na maioria das vezes, na camada de enlace, rede, transporte e aplicação;
- **Serviços:** representam as funcionalidades do sistema *IoT*. Como serviços podem ser considerados a modelagem, busca e controle de dispositivos, ou a publicação e análise de dados;
- **Gerenciamento:** fornece ferramentas para gerenciar um sistema *IoT*;
- **Segurança:** disponibiliza mecanismos para garantir a proteção do sistema *IoT*, como a autenticação, autorização, privacidade e a integridade e segurança de dados;
- **Aplicação:** fornece meios para integração do usuário ao sistema *IoT*. A integração ocorre através de interfaces que possibilitam controlar e monitorar o sistema.

Uma rede *IoT* pode servir para solucionar vários tipos de problemas. STERGIOU (2018) cita alguns casos em que se faz o uso do paradigma:

- **Transporte:** auxilia na obtenção de soluções de problemas relacionados ao tráfego em rodovias, redução do consumo de combustível e a diminuição nos índices de mortes;
- **Redes elétricas:** são utilizadas para auxiliar na incorporação de energia renovável, melhorando a confiabilidade do sistema e tornando a energia mais barata;
- **Monitoramento remoto de pacientes hospitalares:** proporciona uma maior facilidade para atender os pacientes, gerando melhores condições e o aumento do número de pacientes atendidos;
- **Sensores de monitoramento de motores:** possibilitam a detecção de problemas de manutenção, tornando possível melhorar a reposição de peças e definir prioridades no agendamento de serviços.

1.3.2. Cloud Computing

Cloud Computing é um conceito computacional que fornece uma gama de recursos a outros computadores e dispositivos. Os recursos fornecidos pela *Cloud* ficam disponíveis de forma compartilhada, a qualquer hora e lugar, e são acessados através da *Internet*. Como exemplo tem-se o processamento e armazenamento de dados, serviços, aplicativos (MUNIR, 2017) e servidores. Por conta dos seus benefícios e da possibilidade de cobrança financeira, o paradigma deu origem a uma indústria multibilionária crescente em todo o mundo (ROMAN, 2018). Dentre as principais classificações de uma *Cloud* estão (SINGH, 2016):

- **Public Cloud (nuvem pública):** nesse modelo os recursos e serviços são públicos, portanto, qualquer organização, empresa, ambiente acadêmico ou indivíduo tem acesso. Por não existir um controle de clientes e fornecedores, existe uma maior vulnerabilidade em relação a segurança;
- **Community Cloud (nuvem comunitária):** é utilizada e gerenciada por um grupo mais restrito de organizações. Por possuírem um acesso mais controlado, os riscos relacionados de segurança são reduzidos;
- **Private Cloud (nuvem privada):** o uso e gerenciamento é exclusivo da organização a qual pertence. Por existir uma maior facilidade na identificação de clientes e os

provedores, os riscos relacionados a segurança são menores do que os modelos público e comunitário;

- **Hybrid Cloud (nuvem híbrida):** representa a união de dois ou mais modelos de nuvens (pública, privada e comunitária).

O National Institute of Standards and Technology (NIST) descreve três modelos de infraestrutura (MELL, 2011):

- **Software as a Service (SaaS):** os aplicativos são acessados por meio de uma infraestrutura da própria Cloud. Os usuários fazem o acesso através de interfaces, como um Browser ou algum outro software, porém não possuem acesso a qualquer tipo de gerenciamento de infraestrutura, tais como rede, sistema operacional, e o armazenamento de dados. O gerenciamento de aplicativos também possuem acesso limitado, podendo existir algumas exceções;
- **Platform as a Service (PaaS):** fornece a possibilidade de hospedar aplicativos desenvolvidos pelo próprio usuário. Assim como em SaaS, o cliente não tem acesso ao gerenciamento da infraestrutura, porém possui liberdade para gerenciar os próprios aplicativos;
- **Infrastructure as a Service (IaaS):** são disponibilizados recursos de processamento, armazenamento, redes e outros recursos de computação. O usuário pode instalar sistemas operacionais e hospedar aplicativos, porém não controla a infraestrutura da nuvem.

A Fig. 1 mostra a relação entre as classificações e os modelos de *Cloud Computing*. Os três modelos (*IaaS*, *PaaS* e *SaaS*) são utilizados em *Public*, *Community*, *Private* e *Hybrid Cloud*.

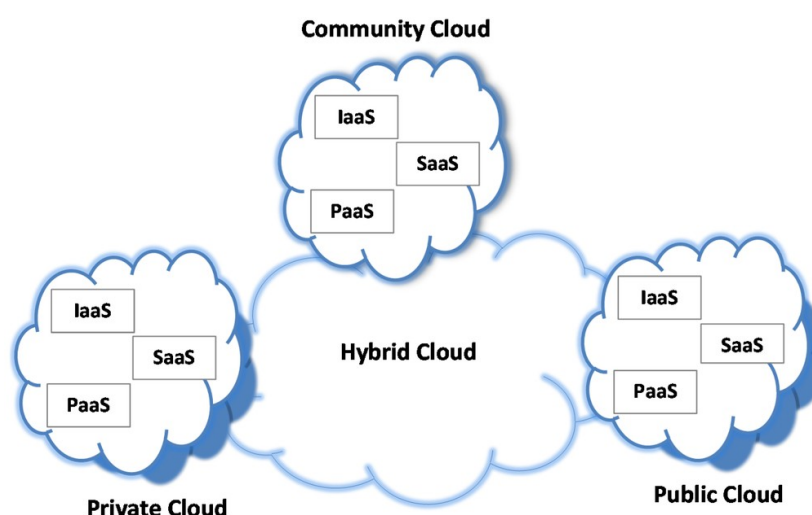


Figura 1. Representação dos modelos de infraestrutura e classificações de nuvens.
Fonte: KHALIL (2014)

2.3. Fog Computing

Fog Computing surgiu como um meio alternativo para intermediar a comunicação entre os dispositivos *IoT* e a *Cloud* (PERALA, 2018). O paradigma surgiu em 2014, criado pela Cisco (CHEN, 2018), e se caracteriza pelo fornecimento de serviços da *Cloud* dentro da borda da rede. O objetivo é aumentar o desempenho das aplicações ao processar e armazenar parte dos

dados localmente, enviando para *Cloud* somente o necessário. Os resultados podem ser notados pela diminuição do tráfego de rede, redução no tempo de espera por serviços (GUPTA, 2017; PERALA, 2018; MUNIR, 2017), agilidade, acesso via rede sem fio e aplicações em tempo real (MUKHERJEE, 2018). Por consequência, é possível usar a *Cloud* para realizar outros serviços de maior complexidade, como aprendizado de máquina e processamento Big Data (CHEN, 2018).

A Fig. 2 ilustra a relação entre os dispositivos *IoT* e os serviços *Fog* e *Cloud Computing*. Os dispositivos realizam a troca de dados com a *Fog*, que por sua vez processa e envia/recebe apenas o necessário para *Cloud*.

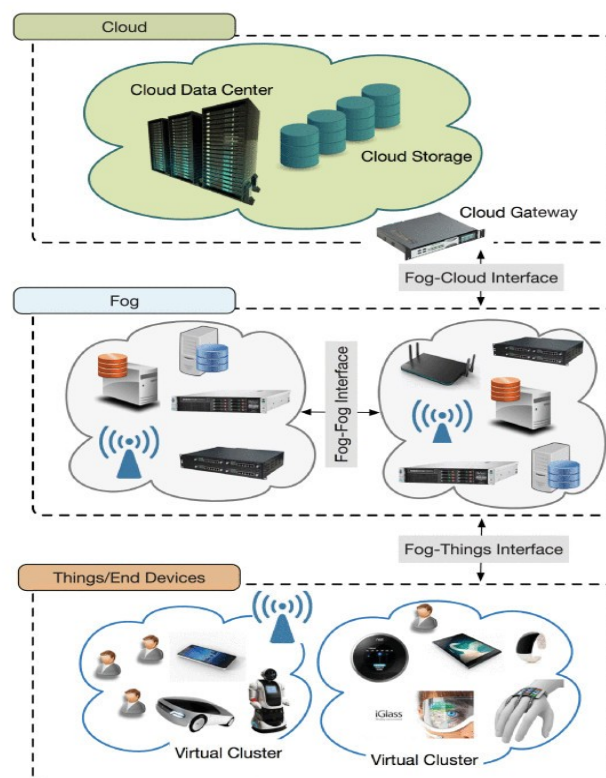


Figura 2. Representação da relação entre os conceitos *Cloud*, *Fog* e *IoT*.
Fonte: MUKHERJEE (2018)

3. Produtos orgânicos e avicultura

Nesta seção são apresentados os conceitos fundamentais da área avícola e as diferentes formas de criação de frangos, sendo elas: produtos orgânicos, alimentos orgânicos no Brasil, avicultura intensiva e avicultura orgânica e caipira. Também são levantados os principais parâmetros utilizados para o controle de um galinheiro orgânico autônomo.

3.1. Produtos orgânicos

A classificação de alimentos como sendo orgânicos é considerada uma forma de dar credibilidade ao produto, pois além das informações visíveis na embalagem, o selo orgânico tende a comunicar ao consumidor que o produto atende a normas e padrões específicos de qualidade. Essas informações tem o propósito de dar mais transparência para o consumidor do que àquelas contidas em produtos convencionais (GIFFORD, 2011), e essas normas podem variar de um país para outro. De modo geral tem-se por objetivo a produção de alimentos que busquem manter o equilíbrio ecológico, evitando o uso de pesticidas, herbicidas, fertilizantes

inorgânicos, antibióticos e hormônios de crescimento, em todas as etapas de produção (HONKANEN, 2006).

3.2. Avicultura intensiva

Caracterizado pelo confinamento total das aves, o sistema intensivo é o modelo de criação mais empregado na avicultura. O objetivo desse sistema é o aumento da produção e sua eficiência, obtidos através de melhorias genéticas, aprimoramento na coleta de dados e instalação de novas tecnologias de manejo, nutrição, bem estar e higiene (VOGADO, 2016). Contudo, manter as aves confinadas é prejudicial a saúde, e ao contrário a esses investimentos tecnológicos, o sistema não converge para um bem-estar dos animais (SILVA, 2003).

No Brasil, a produção intensiva, reconhecida mundialmente, teve um forte investimento tecnológico em seu processo de produção, aliado a mudanças no controle sanitário e melhorias na genética das aves. Algumas medidas de melhoramento genético foram: Inseminação Artificial (IA); Transferência de Embriões (TE); micro manipulação e produção in vitro de embriões; clonagem e produção de animais transgênicos ou altamente modificados. A diminuição no tempo de crescimento dos frangos está entre os resultados desse investimento, que passou de 105 dias em 1930 para 45 dias em 1996 (VOGADO, 2016).

Com os avanços na avicultura industrial foram surgindo modificações nos hábitos alimentares e nas tradições da população. O frango caipira foi ao longo do tempo perdendo espaço na mesa do consumidor. Contudo, mesmo sendo substituído, existe uma maior preferência pela carne caipira devido suas características próprias na textura e no sabor da carne (VOGADO, 2016).

Apesar do sistema convencional ser o dominante no mercado, algumas formas alternativas, como a caipira e orgânica, estão voltando a ganhar espaço na mesa dos consumidores. A fim de minimizar os impactos do sistema industrial e melhorar o bem-estar das aves, a União Europeia impôs em 1999 algumas medidas mínimas para sistemas de criação. Em 2003, por exemplo, foram proibidas as instalações de gaiolas convencionais com menos de 550cm² por ave, além da necessidade do uso de lixas para as unhas (ROCHA, 2008). A Fig. 3 mostra o confinamento de frangos em um aviário de criação intensiva.



Figura 3. Frangos em gaiolas no sistema avícola intensivo.
Fonte: EMBRAPA (2018)

3.4. Avicultura alternativa: caipira e orgânica

Os sistemas de produção caipira e orgânico são modelos alternativos ao sistema intensivo e são projetados para garantir a qualidade e o bem-estar dos animais. As raças que serão

utilizadas devem ser aquelas que melhor se adaptam ao manejo e clima local, devendo ser garantido sua segurança e que estejam livres de medo, ansiedade, ou qualquer outro tipo de estresse. É preciso que o ambiente proporcione aos animais a liberdade para apresentarem suas características e comportamentos naturais, e que não passem fome, sede e não sofram de nenhum tipo de doença (FIGUEIREDO, 2012; DIAS, 2016). O sistema de criação e as raças são fundamentais para que se garanta uma carne mais saborosa e com menores índices de gordura (DIAS, 2016).

O Fator climático é também um dos fatores cruciais na criação das aves, pois as afeta diretamente. Isso pode ser percebido através de mudanças no comportamento, como respiração mais ofegante, diminuição na taxa de locomoção e o ato de manter as asas mais afastadas do corpo (DIAS, 2016). Apesar de no sistema orgânico os frangos necessitarem de liberdade para o acesso externo, onde devem existir grama e/ou algum outro tipo de vegetação, isso pode, por conta do clima, vir a interferir no bem-estar animal e conseqüentemente na produção do sistema (BERG, 2002; DIAS, 2016). Dentre as conseqüências estão o aumento no consumo de água e ração, que podem vir a causar mudanças na taxa de crescimento das aves, afetando o rendimento e a qualidade da carne (DIAS, 2016; CASSUCE, 2013).

A fim de promover o bem-estar animal e viabilizar a inspeção em um sistema produtivo, o Farm Animal Welfare Council criou cinco conceitos para definir um sistema controlado por humanos que fosse capaz de proporcionar um bem-estar aos animais (PEREIRA, 2017):

- **Nutricional:** manter os animais livres de fome e sede;
- **Ambiental:** mantê-los livre de desconfortos;
- **Físico:** mantê-los livres de dores, lesões e doenças;
- **Comportamental:** dar liberdade para expressar seus comportamentos normais;
- **Psicológico:** deixá-los livres de medo e angústia.

4. Objetivos específicos

Com o objetivo de evidenciar a relevância da pesquisa, uma revisão sistemática foi desenvolvida com base nas ferramentas *Google Scholar*, *IEEE Explorer* e *ScienteDirect*. O resultado da revisão pode ser visto na Tab. 1, que apresenta a união do número de ocorrências de cada conjunto de palavras chaves, em inglês, nas três ferramentas de pesquisa. A última combinação, diferente das outras, não teve nenhum retorno nas ferramentas *IEEE Explorer* e *ScienteDirect*.

Tabela 1. Resultado da revisão sistemática sobre cada palavra chave.

Palavras chave	Resultados	Categoria
<i>automation</i>	3.560.000	1
<i>control</i>	7.270.000	1
<i>fog</i>	1.120.000	1
<i>iot</i>	782.000	1
<i>fog iot</i>	16.700	2
<i>feeding chickens</i>	708.000	2
<i>automation fog</i>	38.500	2

<i>automation iot</i>	83.200	2
<i>control fog</i>	536.000	2
<i>control iot</i>	244.000	2
<i>automation feeding</i>	673.000	2
<i>control feeding</i>	3.930.000	2
<i>iot feeding</i>	15.400	2
<i>fog feeding</i>	80.000	2
<i>automation feeding chickens</i>	44.500	3
<i>automation control feeding chickens</i>	37.600	4
<i>automation control feeding chickens fog iot</i>	6.540	6
<i>automation control feeding chickens alternative aviaries fog iot</i>	130	8

4.1. Development of automatic chicken feeder using Arduino Uno

A alimentação de frangos, criados para o abate, pode exigir tempo e muita mão de obra. Para realizar o trato de forma manual, o criador costuma fornecer o alimento semeando-o no chão do aviário. Existem ao menos três problemas em fazê-lo dessa forma: contaminação dos alimentos, decorrentes da presença de insetos e de fezes das aves; desperdício de alimentos, por falha humana, já que não é possível uma correta administração da quantia a ser distribuída; e a necessidade da presença dos responsáveis pelo fornecimento do alimento, o que dificulta que estes indivíduos venham realizar outras tarefas. Com o objetivo de suprir esses problemas, um alimentador de frangos é proposto a fim de automatizar por completo o processo de alimentação, possibilitando ao criador o cumprimento de outras obrigações sem que haja a necessidade de sua presença no local.

Ao projetar o alimentador, o autor considerou a necessidade de armazenar os alimentos, administrar as sobras, e registrar os horários de fornecimento e a quantidade a ser fornecida. O projeto do tratador é composto por alguns sensores e atuadores que são controlados por uma placa Arduino Uno. O processo de liberação do alimento acontece com a abertura da passagem entre local de armazenamento de comida e o recipiente, controlada por um atuador servo motor. Para evitar o desperdício da comida deixada pelas aves, as sobras ficam retidas dentro do recipiente. Um sensor de temperatura e uma lâmpada são utilizados para que se garanta que os grãos permaneçam frescos.

4.2. A Smart Sensor Network for an Automated Urban Greenhouse

Considerando a dificuldade de obter alimentos frescos a preços acessíveis, na região da Pennsylvania (EUA), em MEAH (2019) é apresentado um projeto de redes de sensores inteligentes para automatização de uma estufa urbana. O projeto foi desenvolvido por alunos de um colégio de engenharia, o York College of Pennsylvania, e foi utilizado para apoiar a inicialização de alunos de escola primária no mundo científico. Dentre os objetivos do trabalho estão:

- Maximização da economia de energia;
- Gerenciamento de aquecedores, resfriadores e da ventilação;
- Uso de histórico de dados meteorológicos para estimativa da energia necessária dentro da estufa.

Para o desenvolvimento do projeto foi feita a divisão do sistema em três partes: sensoriamento; energia e automação; interface. No primeiro subsistema a equipe fez o uso de sensores para coletar dados de luz, umidade e temperatura dentro da estufa. Os dados são encaminhados posteriormente ao subsistema de energia e automação, que irá processá-los e intervir no ambiente a partir de equipamentos como aquecedores e lâmpadas. O protótipo desenvolvido possui 6 (seis) zonas de umidade, sendo que cada uma possui 2 (dois) sensores de umidade. Em paralelo, 5 (cinco) sensores de temperatura, luz e umidade foram distribuídos em plantas. Todo o processo de interação com o usuário foi desenvolvido no subsistema interface, onde ficam hospedados uma aplicação web e o banco de dados.

4.3. A remote pet feeder control system via MQTT protocol

Popularmente aceito dentro da sociedade moderna, a criação de animais vem se tornando um hábito cada vez mais adotado entre as pessoas. Contudo, responsabilidades devem ser assumidas pelos proprietários, sendo uma delas a garantia da alimentação. Em WU (2018) é desenvolvido um alimentador de animais que, ao contrário da maioria, deixa de ser uma simples máquina estacionária para se tornar um alimentador móvel e inteligente. O equipamento *IoT* foi projetado para se assemelhar a um carrinho de brinquedo, possuindo duas rodas traseiras, cada uma conectada a um motor. Ainda, uma câmera *IP* foi instalada na parte frontal do carrinho para possibilitar o monitoramento pela Internet.

4.4. An RFID-Based Smart Nest Box: An Experimental Study of Laying Performance and Behavior of Individual Hens

O nível de produção de ovos pode ser afetado pelo ambiente de postura (ninho), idade das aves ou até mesmo pela raça do animal. Com a motivação de monitorar a produção de ovos, em CHIEN (2018) é apresentada uma solução que tem como objetivo a identificação de galinhas poedeiras que apresentam um rendimento abaixo do esperado. A ferramenta desenvolvida utiliza um leitor *RFID*, conectado a uma placa Arduíno MEGA 2560, cuja serventia é identificar a presença de aves dentro de um ninho. Também é feito o uso de um sensor de pressão, para que seja detectado a existência de algum ovo.

4.5. Autonomic IoT Battery Management with Fog Computing

O uso de energia é indispensável para dispositivos *IoT*, sendo em grande parte dependentes do uso de baterias para que funcionem. Para os usuários é crucial que existam técnicas para economizar energia, principalmente quando a exigência é de anos de durabilidade. Em SAMPAIO (2019) é desenvolvido um sistema *Fog* para alarmes de incêndio que depende do uso de baterias. O trabalho é dividido em duas partes, sendo a primeira referente ao hardware do dispositivo e na segunda são realizadas estimativas do consumo de energia.

O dispositivo *IoT* foi projetado e desenvolvido considerando o contexto de cozinhas em Smart Home's. Para a implementação do protótipo os autores fizeram o uso de um microcontrolador Arduíno Uno ATmega328p, um sensor de temperatura e umidade do ar DHT11, um sensor de gás e fumaça MQ-2 e um sensor de chamas. O dispositivo *IoT* captura os dados através de portas analógicas do Arduíno, conectadas aos sensores, e os envia para *Fog* com uma antena Xbee Zigbee. O sistema *Fog*, por sua vez, processa os dados para gerar e apresentar a estimativa de consumo.

5. Proposta de alimentador inteligente

Considerando o crescente interesse no consumo de alimentos orgânicos, em conjunto com a importância do mercado brasileiro de frangos, um alimentador inteligente é proposto para gerenciar a alimentação das aves de forma autônoma. O alimentador conta com um sistema

Fog, dividido em três camadas, que considera desde a interação com o usuário até a criação e controle de um dispositivo *IoT*. Na subseção 5.1 é apresentada a hierarquia do sistema, enquanto na subseção 5.2 são descritos o dispositivo *IoT* e a caixa de alimentação e na subseção 5.3 é descrito o sistema *Fog*.

5.1. Arquitetura do sistema

A arquitetura do sistema é dividida em três camadas, conforme apresentado na Fig. 4. Uma camada para entrada de dados é responsável pela comunicação com os usuários, denominada como camada de interface. Abaixo dela encontra-se a camada de gerenciamento de dados, a qual se responsabiliza pelo armazenamento dos dados e a comunicação com os nós *IoT*. A última camada é a *IoT*, localizada abaixo da camada de gerenciamento de dados. Uma melhor descrição das camadas é apresentada na sequência do texto.

- **Camada de interface:** é responsável pela obtenção de dados, fornecidos pelos usuários, e pelo envio desses dados para camada de gerenciamento de dados. Na camada de interface é possível que sejam feitos o uso de uma ou mais aplicações, desenvolvidas para diferentes sistemas, tais como Android, iOS, Desktop e sistemas *Web*;
- **Camada de gerenciamento de dados:** se responsabiliza pelo armazenamento dos dados obtidos na camada de interface e pelo envio de comandos de controle para os dispositivos da camada *IoT*. Para comunicação com a interface, a camada conta com um servidor que receberá as informações e armazenará em um banco de dados. Já para comunicação com os dispositivos *IoT*, a camada possui uma aplicação que identificará e enviará aos dispositivos o comando para a realização de uma tarefa na data e horário especificados pelos usuários (armazenados no banco de dados);
- **Camada *IoT*:** representa a união de todos os dispositivos *IoT* do sistema. Os dispositivos recebem os comandos de controle, enviados pela camada de gerenciamento de dados, e com base nos comandos é identificada e cumprida a tarefa em questão.

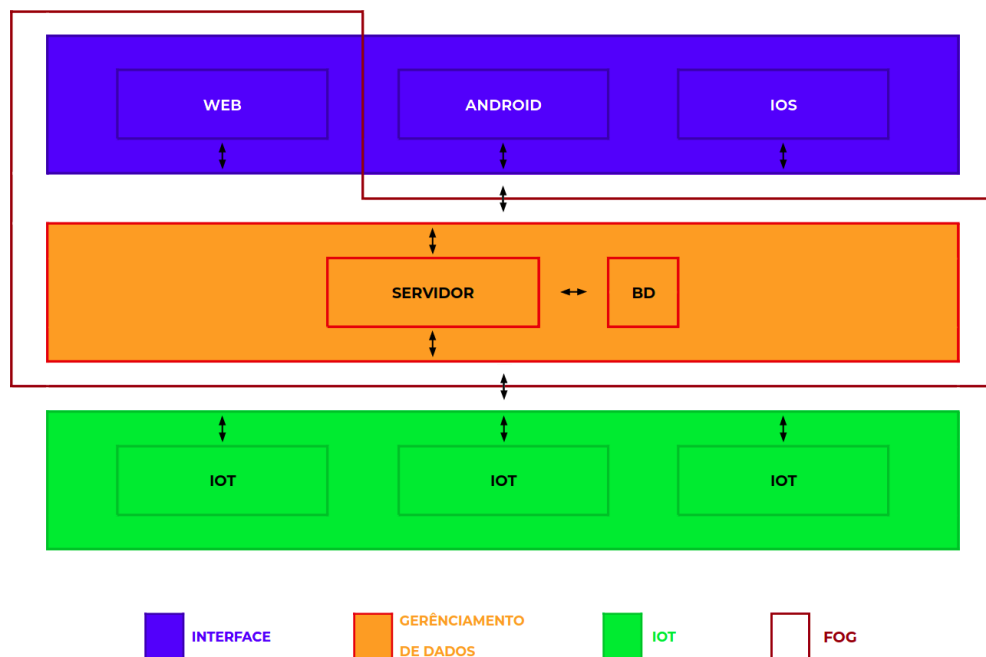


Figura 4. Arquitetura do sistema *Fog*, composto por três camadas: camada de interface; camada de gerenciamento de dados; e camada *IoT*.

5.2. Nó *IoT* e a caixa de alimentação

O nó *IoT* é um equipamento baseado em um carrinho de brinquedo, cuja finalidade é armazenar o alimento das aves e liberá-lo apenas em datas e horários específicos. Para a realização da tarefa, o dispositivo *IoT* conta com o auxílio de uma base (caixa de alimentação) que receberá e disponibilizará o alimento para as aves. O dispositivo é posicionado em cima de dois trilhos, fixados na parte superior da caixa, e permanece imóvel até o recebimento de um comando enviado pelo servidor. Ao receber o comando, o nó caminha sobre os trilhos até o fim e depois retorna ao ponto de origem, liberando o alimento durante todo o trajeto. Na Fig. 5 uma galinha está de frente para o alimentador, logo após o nó *IoT* liberar o alimento.

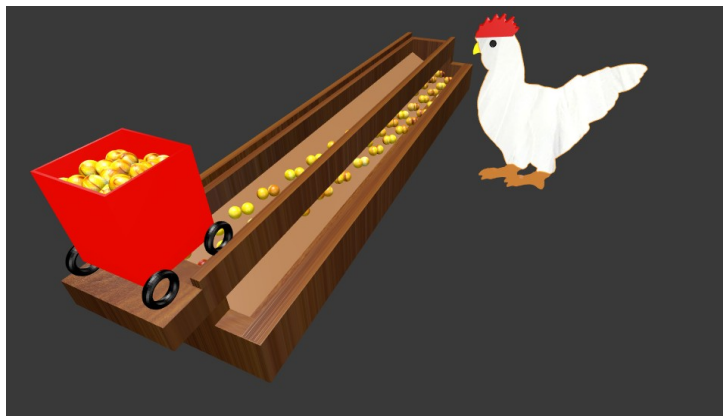


Figura 5. Visão geral do alimentador, em 3D.

A caixa de alimentação conta, ainda, com uma área destinada ao acesso das aves, localizada na parte frontal, e uma rampa de desvio de alimentos, posicionada abaixo dos trilhos utilizados pelo nó *IoT*. O alimento, quando liberado, cai sobre a rampa e sofre um desvio até a parte frontal do alimentador. A Fig. 6 apresenta uma ilustração da rampa e da área de acesso às aves ao alimentador, onde o alimento fica armazenado até ser consumido.

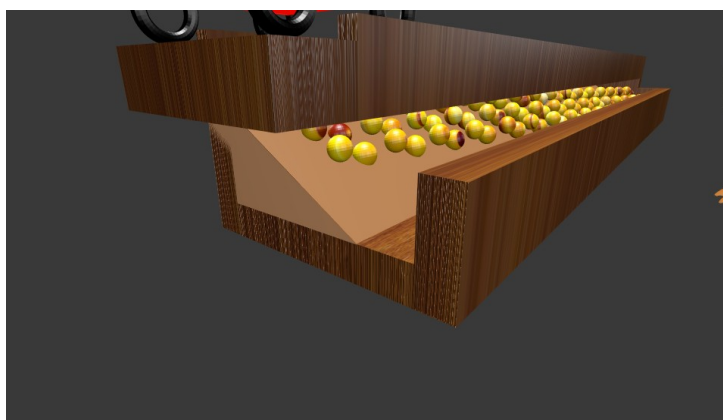


Figura 6. Visão lateral do alimentador, em 3D.

O projeto do carrinho, que consiste de um nó *IoT*, ocorre com a sua divisão em duas partes: superior e inferior. Na parte superior (Fig. 7) é feito o armazenamento do alimento, o qual passa por um processo de afunilamento para que ele deslize até o centro do dispositivo. Após esse processo, o alimento cai dentro de um corredor que o levará até a parte inferior (Fig. 8). Quando isso ocorrer, um controlador de passagem decidirá se o alimento deve ou não ser liberado. Para isso conta-se com uma tampa de isolamento, que fica aberta ou fechada de acordo com a necessidade (liberação ou armazenagem do alimento, respectivamente).



Figura 7. Visão interna da parte de cima do carrinho (nó IoT), em 3D.



Figura 8. Visão interna da parte de inferior do carrinho (nó IoT), em 3D.

5.3. Sistema *Fog*

O sistema *Fog* é responsável por processar e administrar os dados fornecidos pelos usuários, assim como alertar as aves, por meio de efeitos sonoros, no momento em que a caixa de alimentação é abastecida. A partir do processamento dos dados, o sistema *Fog* gera as informações que serão utilizadas pelo nó IoT. Desse modo, o sistema *Fog* engloba toda camada de gerenciamento de dados, já que é ele quem repassará os comandos aos nós IoT e receberá as informações da camada de interface. Além disso, dependendo do tipo de aplicação da camada de interface, o sistema *Fog* pode ser dividido em duas partes para representar ambas as camadas. Uma aplicação de interface poderia ser um sistema *Web*, que ao invés de ser instalado no lado do cliente, como um aplicativo Android ou iOS, pode ficar no lado do servidor, se tornando, por consequência, um subsistema do sistema *Fog*.

5.4. Aplicação em larga escala

A automatização da alimentação de frangos, em granjas orgânicas, deve considerar o atendimento a um grande número de aves. A proposta do alimentador considera uma implementação em larga escala, em que vários nós IoT devem atuar para fornecer o alimento. Na Fig. 9 é apresentada uma ilustração em 3D em que os nós IoT, cada um posicionado em cima de uma caixa de alimentação própria, fazem o papel de reposição do alimento. Para uma melhor representação, na ilustração foram desenhados um grande número de frangos a espera do alimento, posicionados em frente às caixas de alimentação.

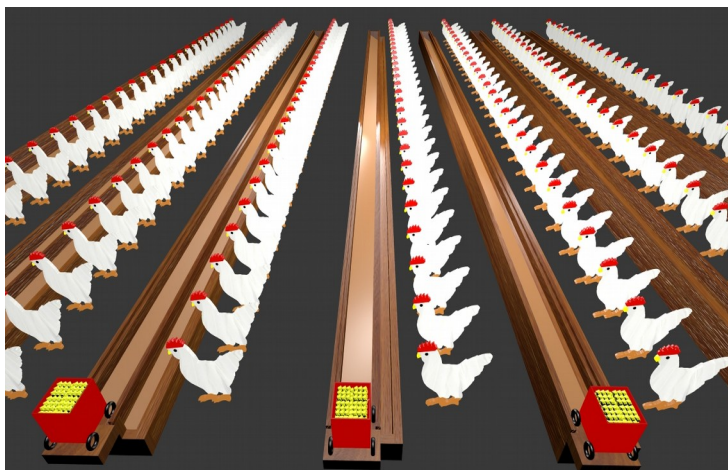


Figura 9. Representação em 3D do alimentador inteligente aplicado em larga escala.

6. Desenvolvimento da proposta

Para o desenvolvimento da proposta foram criados um carrinho eletrônico, um sistema *Web* (em PHP) e um servidor (em Python). O carrinho eletrônico corresponde ao protótipo do nó *IoT*, enquanto que o sistema *Web* foi escolhido para servir como a aplicação da camada de interface. Já a camada de gerenciamento de dados conta com o servidor e com um banco de dados (MySQL), responsáveis por receber e armazenar os dados, inseridos pelos usuários, e por enviar os comandos de controle, ao nó *IoT*.

6.1. Sistema Web

O sistema *Web* foi escolhido como a aplicação da camada de interface. O desenvolvimento levou em consideração todos os cenários de coleta de dados, desde o controle manual do nó *IoT* até o agendamento de horários das tarefas. O sistema conta, ao todo, com 3 (três) telas para interação com o usuário:

- Tela inicial (controle manual);
- Cadastro e atualização de agendamentos;
- Agendamento de horários.

6.1.1. Tela inicial: controle manual

A tela inicial é utilizada para controlar, de forma manual, o nó *IoT* e o som de alerta aos frangos. Para controlar o nó *IoT* é disponibilizado 1 (um) botão, cuja finalidade é enviar um comando ao nó *IoT* para que ele forneça o alimento para as aves. Já para o controle do som, a tela conta com dois botões, para ativar e desativar, e um campo para controlar o volume do som. O botão para ativar o nó *IoT* é mostrado na Fig. 10 (a). Já os botões de controle do som aparecem na Fig. 10 (b).

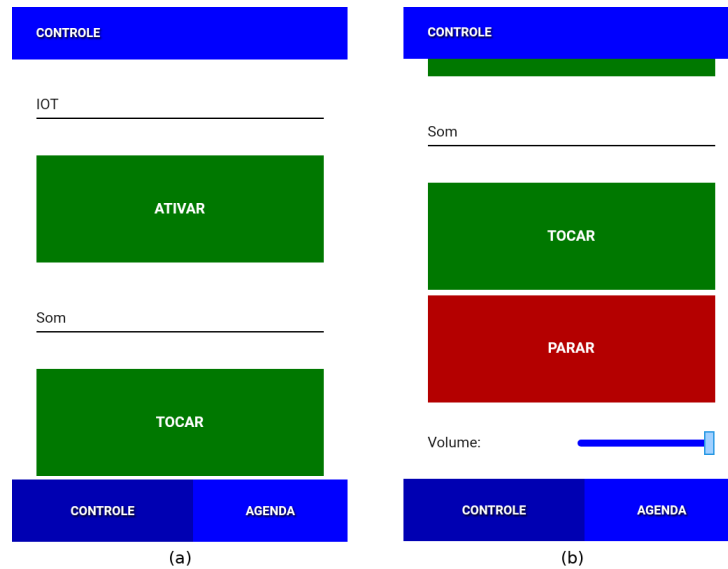


Figura 10. Tela de controle manual do nó IoT.

6.1.2. Cadastro e edição de agendamentos

O cadastro de agendamentos considera os dados sobre os dias da semana em que um evento ocorrerá, o horário, se um efeito sonoro será disparado e o tempo e intensidade em que ocorrerá. O preenchimento de um campo para o nome também é exigido, pois facilitará a identificação dos registros quando forem apresentados aos usuários. As Fig. 11 (a) e Fig. 11 (b) mostram a tela de edição, que corresponde também a tela de cadastro.



Figura 11. Tela de cadastro e edição de agendamentos.

6.1.3. Agenda de horários

Após a criação dos agendamentos, uma lista dos registros é disponibilizada na tela agenda de horários. A Fig. 12 mostra como ocorre a listagem, apresentando o nome, horário e os dias programados para ocorrência do evento. A tela conta com campos de seleção para remover um ou mais agendamentos. Em caso de ao menos um agendamento ser selecionado, um botão vermelho é mostrado para solicitar a remoção do registro. Já no caso de nenhum campo ser selecionado, um botão verde é utilizado para abrir a tela de cadastro de um novo

agendamento. Um link fica disponível no nome do agendamento para abrir a página de edição.

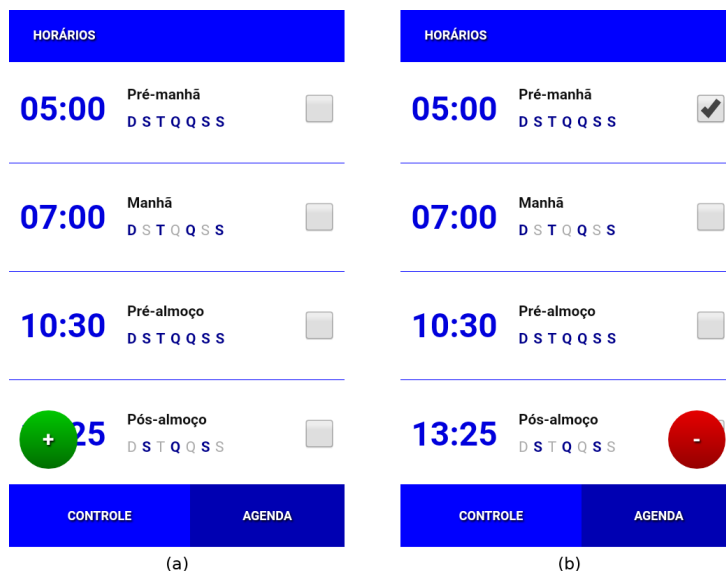


Figura 12. Tela de listagem dos agendamentos para ocorrência de eventos do nó *IoT*.

6.2. Protótipo nó *IoT*

A proposta deste trabalho considera a implantação de um sistema para utilização em larga escala. A implementação da proposta, contudo, considera apenas um nó *IoT*, desenvolvido como protótipo. Uma caixa de alimentação, também protótipo, foi montada para atender as necessidades do dispositivo. Na Fig. 13 é apresentada uma visão geral do dispositivo em cima da caixa de alimentação. Já na Fig. 14 é possível a visualização geral do carrinho, sem a caixa de alimentação. Por último, a Fig. 15 mostra a parte externa superior do dispositivo, onde ficam armazenados os alimentos.

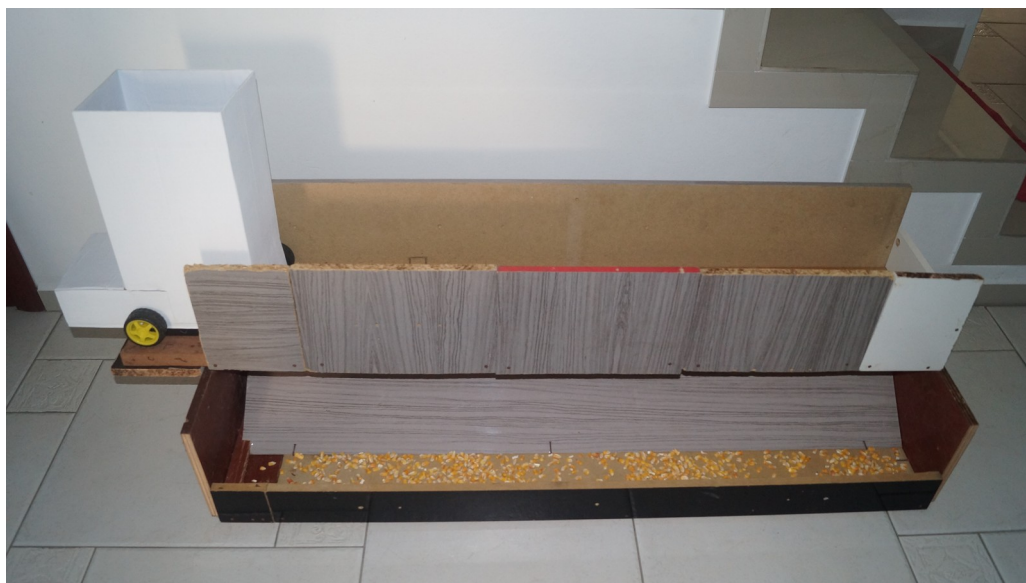


Figura 13. Visão geral do nó *IoT* e da caixa de alimentação.



Figura 14. Visão geral do nó *IoT*.



Figura 15. Parte externa superior do nó *IoT*.

6.2.1. Esquema lógico do circuito eletrônico

Para o desenvolvimento do nó *IoT* foram utilizados um Arduino (UNO), dois motores DC de 210RPM, um driver para motores DC (L298N), uma antena *Wi-Fi* (ESP8266 ESP-01), um driver de motores de passos (ULN2003), um motor de passos (28BYJ-48) e um sensor de distância (HC-SR04). Na parte dianteira do carrinho foram instalados os dois motores DC, cada um conectado a uma roda plástica, e o sensor de distância. As duas rodas traseiras, por não se conectarem aos motores, foram interligadas através de um eixo. O motor de passos foi posicionado no centro do dispositivo, cuja finalidade é o controle da passagem dos alimentos. Na parte externa traseira do dispositivo é fixado o Arduino e uma fonte de 6V, formada por 5 (cinco) pilhas AA de 1.2V (2600mAh).

Na Fig. 16 é apresentado o esquema lógico do nó *IoT*. O Arduino é conectado a antena ESP8266 ESP-01, ao driver L298N, ao driver ULN2003 e ao sensor HC-SR04. Uma fonte de 6V alimenta o driver L298N, e uma segunda fonte, também de 6V, alimenta o Arduino. O Arduino fica responsável por alimentar o driver ULN2003 e o sensor de distância, enquanto os motores são energizados pelos respectivos drivers.

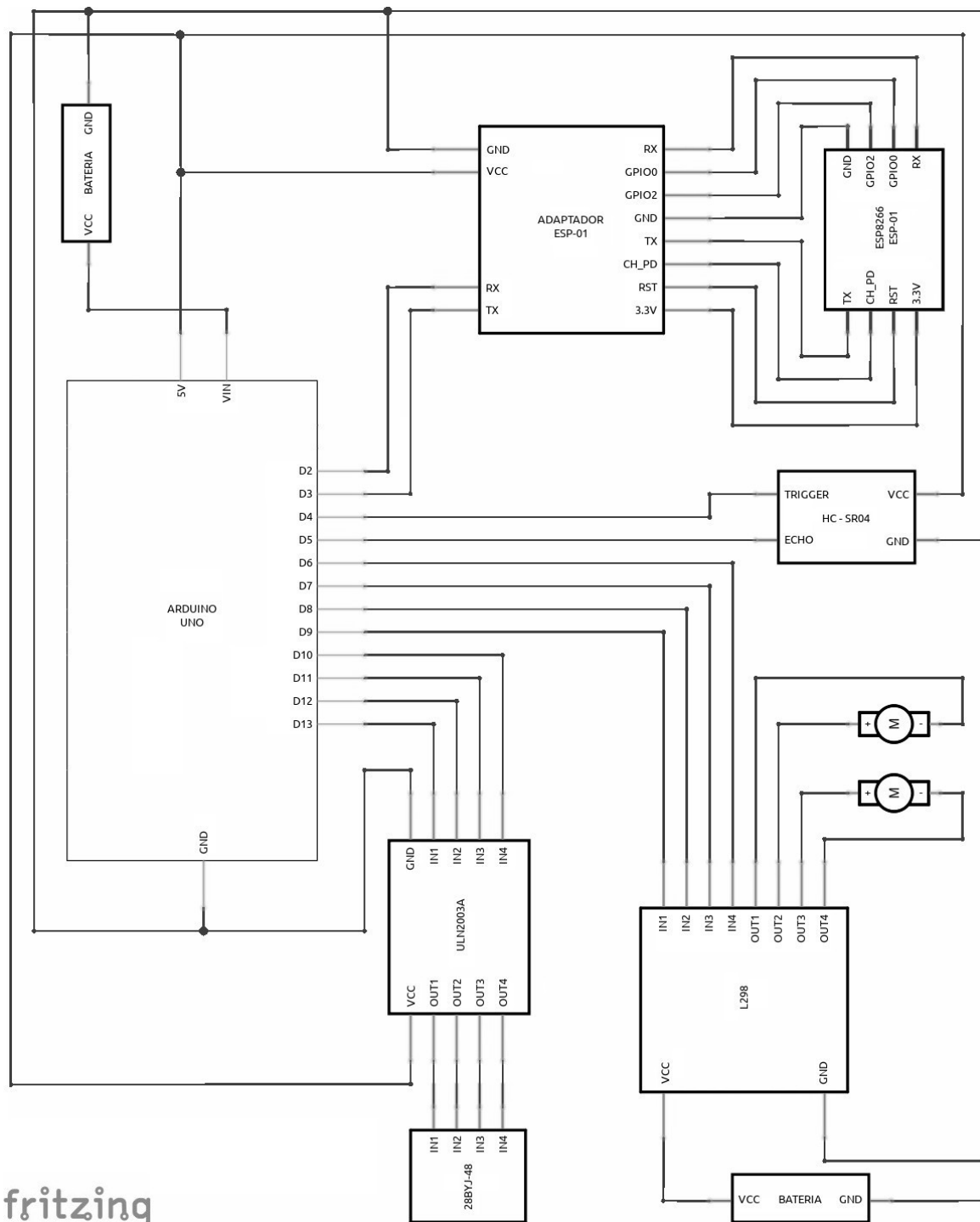


Figura 16. Esquema lógico do nó *IoT*.

6.2.2. Movimentação

O funcionamento do nó *IoT* fica sob responsabilidade do Arduino. Ao receber o comando de acionamento, através da antena ESP8266 ESP-01, o Arduino emite um sinal para o driver

L298N para que este realize o acionamento dos motores DC. O acionamento dos motores fará com que o carrinho se movimente, em um sentido, até o sensor HC-SR04 detectar um obstáculo. Após a detecção, o Arduino altera o sentido de movimentação do carrinho para que ele volte ao ponto de partida.

A movimentação do carrinho conta, ainda, com o uso da função `millis()`, da biblioteca Arduino. O objetivo da função `millis()` é obter o intervalo de tempo entre a inicialização do Arduino até o instante da chamada da função, cujos valores são fundamentais para o cálculo do tempo de movimentação. Para o cálculo, o algoritmo subtrai o valor obtido no início do trajeto pelo valor obtido no momento da detecção do obstáculo.

O retorno ao ponto de origem ocorre com o uso da função `delay()`, da biblioteca Arduino, que recebe como parâmetro o tempo calculado anteriormente. A função `delay()` realiza a suspensão do Arduino durante esse tempo, porém os motores DC continuam ligados. Ao despertar, o Arduino desativa os motores DC para que o carrinho termine o processo de movimentação.

6.2.3. Reservatório

Além do acionamento dos motores DC, o Arduino controla o driver ULN2003 para que seja aberta ou fechada a passagem do alimento. No momento em que os motores DC são acionados, o Arduino emite um sinal ao driver ULN2003 para que o motor 28BYJ-48 faça um giro de 180 graus na horizontal, permanecendo (o motor) desativado até que o carrinho retorne ao ponto de origem. Ao retornar, o Arduino determina que o motor 28BYJ-48 realize um giro de 180 graus no sentido inverso, e em seguida o motor é novamente desativado.

A Fig. 17 apresenta a parte interna do dispositivo, onde é possível visualizar o motor 28BYJ-48 conectado a uma placa de metal, para abrir e fechar o reservatório. Também é possível a visualização do driver L298N e do driver ULN2003, um pouco acima do motor 28BYJ-48. Abaixo do motor 28BYJ-48 estão o Arduino, as pilhas AA e a antena ESP8266 ESP-01.

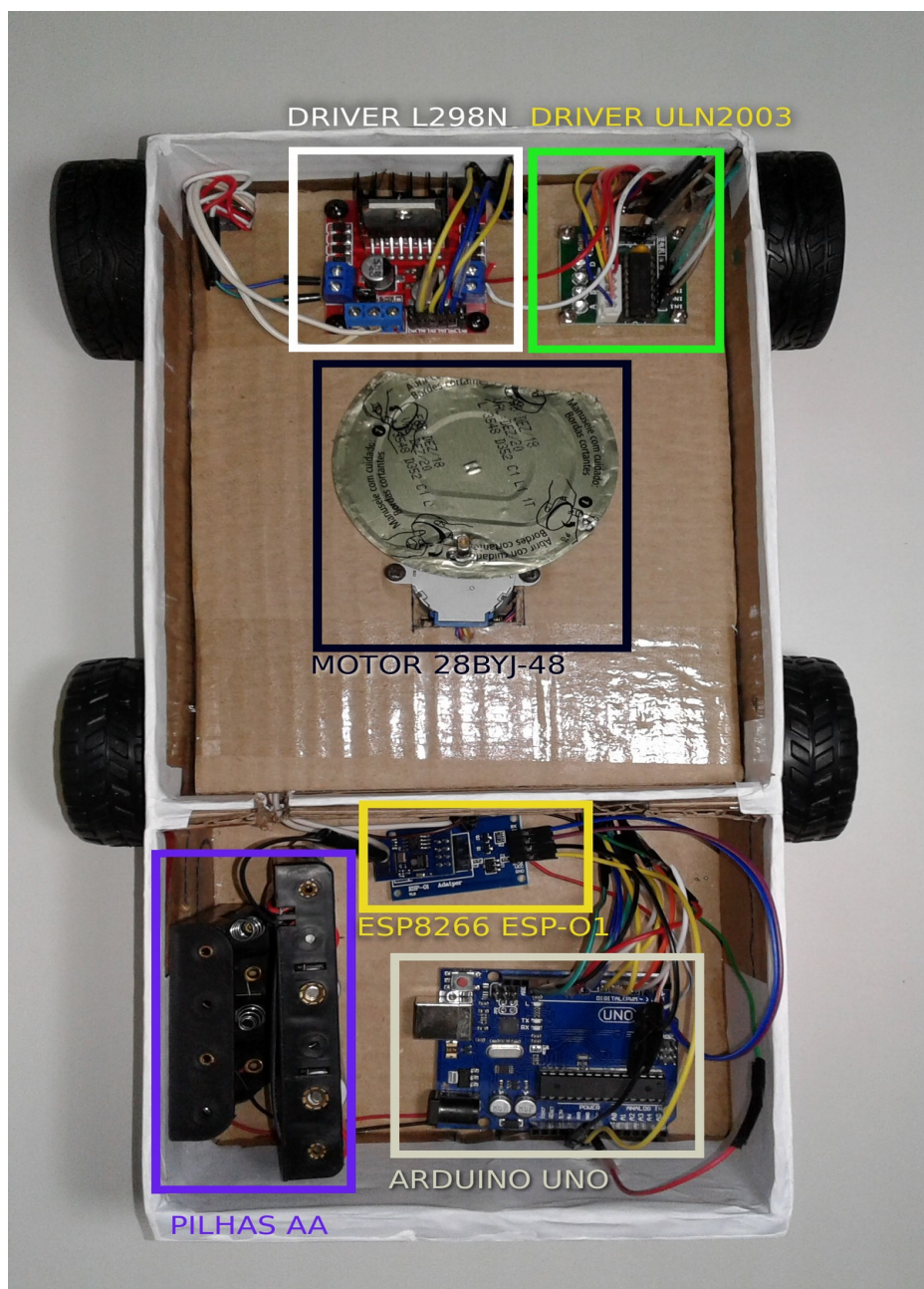


Figura 17. Visão da parte interna do dispositivo *IoT*.

6.3. Servidor

O servidor, responsável pelo gerenciamento dos dados, conta com 3 (três) *Sockets TCP/IP*. O primeiro *Socket* atua para troca de dados com a interface. O segundo se destina a recepção de dados enviados pela camada *IoT*, e é utilizado para cadastrar um nó *IoT* no servidor. O último *Socket* atua como emissor, enviando os comandos de operação para todos os nós *IoT* cadastrados.

A hospedagem do servidor é feita em um Raspberry Pi 3, que conta com um módulo *Wi-Fi* para comunicação *Wireless* e entradas para conexões com dispositivos de hardware externos, como os alto falantes. Para o funcionamento da gerência de dados, o servidor conta com um banco de dados MySQL para o armazenamento de dados, recebidos da camada de interface, e processados pelo servidor. A Fig. 18 apresenta o esquema do banco de dados, que conta com a tabela *evento_agendamento*. Na tabela são armazenados os registros de

agendamento dos dias e horários em que o nó *IoT* irá operar, além da possível emissão de sons de alerta para as aves.



Figura 18. Esquema do banco de dados utilizado para armazenar o agendamento de eventos do nó *IoT*.

6.3.1. Comunicação entre interface e servidor

Para gerenciar as requisições, o servidor conta com a padronização da inserção (Fig. 19), remoção (Fig. 20), atualização (Fig. 21), seleção individual (Fig. 22) e seleção de todos os agendamentos de eventos da tabela evento. Desse modo, independente da aplicação da camada de interface, as solicitações devem seguir um modelo pré-definido para possibilitar a comunicação entre as camadas. A solicitação para seleção de todos os eventos possui apenas 1 (um) byte, correspondente ao caractere "e". Os dados, de ambas as operações, são definidos da seguinte forma:

- **Operação (op):** possui 1 (um) byte (caractere) para informar o tipo de operação a ser realizada. A Tab. 2 apresenta os valores de cada operação;
- **Dias da semana (d, s, t, q, q, s, s):** correspondem, juntos, ao conjunto de 7 bytes para habilitar/desabilitar o funcionamento do carrinho nos 7 dias da semana: domingo, segunda, terça, quarta, quinta, sexta e sábado, nessa ordem. Cada um dos 7 bytes conterá o valor 0, para desabilitar, ou 1, para habilitar;
- **Horário (hora, minuto):** retém um total de 4 bytes, que representam, juntos, a hora e minuto em que o agendamento ocorrerá. Os 2 primeiros bytes se referem a hora, no intervalo entre 0 e 23, e os dois últimos aos minutos, dentro do intervalo de 0 a 59;
- **Som (habilitado, volume, tempo de duração):** se referem a 1 byte para habilitação/desabilitação do alerta sonoro, 3 bytes para o intervalo entre 0 a 100 da intensidade do volume e de 2 bytes para o intervalo de tempo entre 0 a 59 segundos;
- **ID (id):** formado por 10 bytes para representar o código único de registro do agendamento (id), no banco de dados;
- **Nome (tamanho, nome):** possui um tamanho variável de bytes, que vai de 2 a 32 bytes. Os dois primeiros bytes correspondem ao tamanho do nome (ilustrado na

sequência com a letra N), que pode variar de 0 a 30 caracteres. Os bytes seguintes são preenchidos com os caracteres do nome.

0	1	2	3	4	5	6	7	8	9	10	11	12	13	15	16	17	18	19	20	N
"a"	D	S	T	Q	Q	S	S	HORA	MINUTO	H A B	VOLUME	TEMPO DE DURAÇÃO	TAMANHO (N)	NOME						
OP.	DIAS DA SEMANA						HORÁRIO			SOM			NOME							

Figura 19. Mensagem de solicitação para registrar um agendamento.

0	1	3	4	13*N
"b"	NÚMERO (N)		ID	
OP.	ID			

Figura 20. Mensagem de solicitação para remoção de um agendamento.

0	1	10	11	12	13	14	15	16	17	18	19	20	21	22	23	25	26	27	28	29	30	N
"c"	ID	D	S	T	Q	Q	S	S	HORA	MINUTO	H A B	VOLUME	TEMPO DE DURAÇÃO	TAMANHO (N)	NOME							
OP.	ID	DIAS DA SEMANA					HORÁRIO			SOM			NOME									

Figura 21. Mensagem de solicitação para edição dos dados de um agendamento.

0	1	10
"d"	ID	
OP.	ID	

Figura 22. Mensagem de solicitação dos dados de um agendamento.

Tabela 2. Bytes de identificação enviados na mensagem da interface para o servidor.

Operação	Byte de comando
Inserir	a
Remover	b
Editar	c
Selecionar agendamento	d
Selecionar todos os agendamentos	e

A troca de dados conta, ainda, com os padrões para o envio da resposta do servidor para a interface. Os modelos de dados são os mesmos utilizados para representar as solicitações da interface para o servidor. As respostas para solicitação de inserção, remoção e atualização correspondem a 1 (um) byte contendo o valor 0 (zero), para erro/falha, ou o valor 1 (um), para sucesso. Já as respostas para seleção de um agendamento ou de todos os agendamentos são representadas pelas Fig. 23 e Fig. 24, respectivamente.

0	1	2	3	4	5	6	7	8	9	10	11	12	14	15	16	17	18	19	N
D	S	T	Q	Q	S	S	HORA	MINUTO	H A B	VOLUME	TEMPO DE DURAÇÃO	TAMANHO (N)	NOME						
DIAS DA SEMANA						HORÁRIO			SOM			NOME							

Figura 23. Mensagem de resposta do servidor para a solicitação dos dados de um agendamento.

0	9	10	11	12	13	14	15	16	17	18	19	20	21	22	23	N
ID	D	S	T	Q	Q	S	S	HORA	MINUTO	TAMANHO (N)	NOME					
ID	DIAS DA SEMANA						HORÁRIO			NOME						

Figura 24. Mensagem de resposta do servidor para a solicitação dos dados de todos os agendamentos.

6.3.2. Comunicação entre servidor e IoT

A comunicação entre o servidor e o nó *IoT* ocorre em duas etapas, sendo a primeira de configuração e a segunda de controle. A primeira etapa consiste no recebimento de uma solicitação, do nó *IoT* ao servidor, para que o servidor comece a enviar comandos de controle ao dispositivo. Ao receber a solicitação o servidor armazena o endereço de rede do dispositivo em uma lista, e assim que um comando tenha de ser enviado, o servidor o envia a todos os nós cadastrados na lista.

O comando esperado por um nó *IoT* corresponde a um byte de controle: caractere "a". O recebimento do comando força o dispositivo a percorrer a caixa de alimentação, e durante o percurso deve-se liberar o alimento armazenado. Qualquer dado diferente do caractere "a" será ignorado. Se o nó já estiver realizando uma operação, o caractere "a" também será ignorado até que a tarefa seja finalizada.

7. Conclusão e trabalhos futuros

Nessa seção são apresentadas as conclusões e os trabalhos futuros. Na subseção 7.1 são descritos os resultados obtidos com o desenvolvimento deste trabalho. Na seção 7.2 são apresentados possíveis problemas que poderiam ser solucionados futuramente, com base nos resultados apresentados nesse trabalho.

7.1. Conclusão

O objetivo deste trabalho foi contribuir com a avicultura orgânica, e para isso foram propostas ferramentas que possibilitam a automação parcial da criação de frangos. O trabalho levou em consideração o tempo exigido para alimentar as aves de forma manual, em conjunto com o crescente interesse em produtos orgânicos. Um levantamento foi realizado para encontrar ferramentas que pudessem auxiliar na criação de um alimentador de frangos, resultando em 5 (cinco) trabalhos correlatos, mencionados na Seção 4. Considerando o levantamento realizado, a proposta e implementação de um sistema inteligente, que gerencia o fornecimento dos alimentos, foram apresentados nas Seção 5 e Seção 6. Considerando, ainda, o grande número de aves que devem ser atendidas, o trabalho tratou da implementação para um contexto em larga escala.

O desenvolvimento da proposta, em grande parte, acontece com o projeto de um dispositivo *IoT*. O dispositivo é responsável por cumprir com o papel de repositor do alimento dentro de uma caixa de alimentação (utilizada para alimentação das aves). Um servidor, em conjunto com um sistema *Web*, foram instalados na *Fog* e utilizados em conjunto para

gerenciar o dispositivo *IoT*. O usuário cadastra as informações necessárias, através do sistema web, como os dias e horários de atuação do nó *IoT*, e o servidor as processa e se encarrega de controlar o dispositivo *IoT*.

Alguns problemas surgiram durante a etapa de implementação do protótipo, do nó *IoT*, e gerou a necessidade da realização da troca de equipamentos de hardware. Inicialmente foram utilizadas antenas NRF24L01 para comunicação entre a *Fog* e os dispositivos *IoT*, porém uma sequencia de erros levaram a substituição desta antena pela antena *Wi-Fi* ESP8266 ESP-01. Já no processo de finalização do protótipo, um problema de alimentação forçou a separação da fonte de energia entre o Arduíno UNO e os motores DC, pois ao realizar a inversão do sentido de movimentação dos motores o Arduíno sofria um processo de reinicialização.

7.2. Trabalhos futuros

A proposta para automação da alimentação de frangos, apresentadas neste trabalho, consideram o controle dos alimentos enquanto ainda estão estocados ou sendo liberados. Contudo, os cuidados necessários com as sobras não foram devidamente realizados. Desse modo, um trabalho futuro deveria considerar o gerenciamento inteligente dessas sobras, para que possíveis parasitas, como os ratos, não tenham acesso aos alimentos.

Além do aprimoramento da ferramenta, um estudo sobre o uso em outros animais poderia ser realizado. O trabalho é motivado pela criação de frangos, porém animais domésticos, como cães e gatos, talvez possam ser alimentados pelo equipamento.

Por fim, apesar do protótipo apresentado depender do uso de pilhas AA, a economia sobre o consumo de energia não foi considerada na implementação. Um estudo sobre os gastos realizados, além de medidas para diminuição desses gastos, poderiam ser exploradas para melhorar a eficiência do dispositivo.

Referências

- ALVES, S. P.; SILVA, I. J. O.; PIEDADE, S. M. S. Avaliação do bem estar de aves poedeiras comerciais: efeitos do sistema de criação e do ambiente bioclimático sobre o desempenho das aves e a qualidade de ovos. *Revista Brasileira de Zootecnia*, v. 36, n. 5, p. 1388-1394, 2007.
- AMMAD-UDDIN, M.; AYAZ, M.; AGGOUNE, E-H.; SAJJAD, M. Wireless sensor network: A complete solution for poultry farming. 2014 IEEE 2nd International Symposium on Telecommunication Technologies (ISTT), p. 321-325, 2014.
- ANOMALY, J. What's Wrong With Factory Farming? *Public Health Ethics*, v. 8, n. 3, p. 246-254, 2015.
- APAOLAZA, V.; HARTMANN, P.; SOUZA, C.; LÓPEZ, C. M. Eat organic – Feel good? The relationship between organic food consumption, health concern and subjective wellbeing. *Food Quality and Preference*, v. 63, p. 51-62, 2018.
- Avicultura sofrerá com mudanças climáticas - Portal Embrapa. Disponível em: <www.embrapa.br/busca-de-noticias/-/noticia/7546116/avicultura-sofrera-com-mudancas-climaticas>. Acesso em ago. 2018.
- BARACHO, M. S.; NAAS, I. A.; BETIN, P. S.; MOURA, D. J. Factors that Influence the Production, Environment, and Welfare of Broiler Chicken: A Systematic Review. *Brazilian Journal of Poultry Science*, v. 20, n. 3, p. 617-624, 2018.

- BERG, C. Health and Welfare in Organic Poultry Production. *Acta Veterinaria Scandinavica*, v. 43, n. 1, p. 37-45, 2002.
- CASSUCE, D. C.; TINÔCO, I. F. F.; BAÊTA, F. C.; ZOLNIER, S.; CECON, P. R.; VIEIRA, M. F. A. Thermal comfort temperature update for broiler chickens up to 21 days of age. , v. 33, n. 1, p. 28-36, 2013.
- CHEN, Y.; AZHARI, M. Z.; LEU, J. Design and implementation of a power consumption management system for smart home over fog-cloud computing View Document. 2018 3rd International Conference on Intelligent Green Building and Smart Grid (IGBSG) , 2018.
- CHIEN, Y-R.; CHEN, Y-X. An RFID-Based Smart Nest Box: An Experimental Study of Laying Performance and Behavior of Individual Hens. *SENSORS* 2018, v. 18, n. 3, p. 859-870 , 2018.
- CHIEOCHAN, O.; SAOKAEW, A.; BOONCHIENG, E. IOT for smart farm: A case study of the Lingzhi mushroom farm at Maejo University. 2017 14th International Joint Conference on Computer Science and Software Engineering (JCSSE), 2017.
- DAMASCENO, F. A.; CASSUCE, D. C.; ABREU, L. H. P.; SCHIASSI, L.; TINÔCO, I. F. F. Effect of thermal environment on performance of broiler chickens using fuzzy modeling. *Revista Ceres*, v. 64, n. 4, p. 337-343, 2017.
- DIAS, A. N.; MACIEL, M. P.; AIURA, A. L. O.; AROUCA, C. L. C.; SILVA, D. B.; MOURA, V. H. S. Linhagens de frangos caipiras criadas em sistema semi-intensivo em região de clima quente. *Pesquisa Agropecuária Brasileira*, v. 51, n. 12, p. 2010-2017, 2016.
- FELTES, M. M. C.; ARISSETO-BRAGOTTO, A. P.; BLOCK, J. M. Food quality, food-borne diseases, and food safety in the Brazilian food industry. *Food Quality and Safety*, v. 1, n. 1, p. 13-27, 2017.
- FIGUEIREDO, E. A. P.; SOARES, J. P. G. Sistemas orgânicos de produção animal: dimensões técnicas e econômicas. *Anais da 49a Reunião Anual da Sociedade Brasileira de Zootecnia*, 2012.
- GIFFORD, K.; BERNARD, J. C. The effect of information on consumers' willingness to pay for natural and organic chicken. *International Journal of Consumer Studies*, v. 35, n. 3, p. 282-289, 2011.
- GUPTA, H.; DASTJERDI, A. V.; GHOSH, S. K.; BUYYA, R. iFogSim: A toolkit for modeling and simulation of resource management techniques in the Internet of Things, Edge and Fog computing environments. *Journal of Software: Practice and Experience*, v. 47, n. 9, p. 1275-1296, 2017.
- HONKANEN, P.; VERPLANKEN, B.; OLSEN, S. O. Ethical values and motives driving organic food choice. *Journal of Consumer Behaviour*, v. 5, n. 5, p. 420-430, 2006.
- KHALIL, I. M.; KHREISHAH, A.; AZEEM, M. Cloud Computing Security: A Survey. *Computers*, v. 3, n. 1, p. 1-35, 2014.
- LOUZADA, M. L. C.; RICARDO, C. Z.; STEELE, E. M.; LEVY, R. B.; CANNON, G.; MONTEIRO, C. A. The share of ultra-processed foods determines the overall nutritional quality of diets in Brazil. *Public Health Nutrition*, v. 21, n. 1, p. 94-102, 2017.
- MEAH, K.; FORSYTH, J.; MOSCOLA, J. A Smart Sensor Network for an Automated Urban Greenhouse. 2019 International Conference on Robotics, Electrical and Signal Processing Techniques (ICREST), p. 23-27, 2019.

- MELL, P.; GRANCE, T. The NIST Definition of Cloud Computing. National Institute of Standards and Technology, 2011.
- MOURA, G. R. S.; MENDONÇA, M. O.; SALGADO, H. R.; CASTRO, J. O.; SOUZA, R. T. Galinhas semipesadas em postura criadas sobre diferentes tipos de cama. *Revista Brasileira de Saúde e Produção Animal*, v. 18, n. 2, p. 378-387, 2017.
- MUKHERJEE, M.; SHU, L.; WANG, D. Survey of Fog Computing: Fundamental, Network Applications, and Research Challenges. *IEEE Communications Surveys & Tutorials*, v. 20, n. 3, p. 1826-1857, 2018.
- MUNIR, A.; KANSAKAR, P.; KHAN, S. U. IFCIoT: Integrated Fog Cloud IoT: A novel architectural paradigm for the future Internet of Things. *IEEE Consumer Electronics Magazine*, v. 6, n. 3, p. 74-82, 2017.
- NAVANEETH, B. S.; MURTY, A. K. AUTOMATIC POULTRY FEEDER. *International Journal of Advance Engineering and Research Development*, v. 2, n. 7, p. 338-343, 2015.
- PERALA, S. S. N.; GALANIS, I.; ANAGNOSTOPOULOS, I. Fog Computing and Efficient Resource Management in the era of Internet-of-Video Things (IoVT). 2018 IEEE International Symposium on Circuits and Systems (ISCAS) , 2018.
- PEREIRA, D. C. O.; MIRANDA, K. O. S.; FILHO, L. C. D.; PEREIRA, G. V.; PIEDADE, S. M. S.; BERNO, P. R. Presence of roosters in an alternative egg production system aiming at animal welfare. *Brazilian Journal of Animal Science*, v. 46, n. 3, p. 175-184, 2017.
- PSD Online. Disponível em: <apps.fas.usda.gov/psdonline/app/index.html#/app/downloads>. Acesso em ago. 2018.
- RAY, P. P. A survey on Internet of Things architectures. *Journal of King Saud University - Computer and Information Sciences*, v. 30, n. 3, p. 291-319, 2018.
- ROCHA, J. S. R.; LARA, L. J. C.; BAIÃO N. C. PRODUÇÃO E BEM-ESTAR ANIMAL - ASPECTOS ÉTICOS E TÉCNICOS DA PRODUÇÃO INTENSIVA DE AVES. *Ciência Veterinária nos Trópicos*, v. 11, n. 1, p. 49-55, 2008.
- ROMAN, R.; LOPEZ, J.; MASAHIRO, M. Mobile edge computing, Fog et al.: A survey and analysis of security threats and challenges. *Future Generation Computer Systems*, v. 78, n. 2, p. 680-698, 2018.
- ROSSA, L. S.; STERTZ, S. C.; MACEDO, R. E. F. Regulamentação, mercado e qualidade da carne de frango orgânico no Brasil – Revisão. *Revista Acadêmica: Ciência Animal*, v. 10, n. 1, p. 29-44, 2012.
- SAMPAIO, H. V.; JESUS, A. L. C.; BOING, R. N.; WESTPHALL, C. B. Autonomic IoT Battery Management with Fog Computing. *GPC: International Conference on Green, Pervasive, and Cloud Computing*, v. 11484, p. 89-103, 2019.
- SILVA, M. A. N.; FILHO, P. H.; ROSÁRIO, M. F.; COELHO, A. A. D.; SAVINO, V. J. M.; GARCIA, A. A. F.; SILVA, I. J. O.; MENTEN, J. F. M. Influência do Sistema de Criação sobre o Desempenho, a Condição Fisiológica e o Comportamento de Linhagens de Frangos para Corte. *Revista Brasileira de Zootecnia*, v. 32, n. 1, p. 208-213, 2003.
- SINGH, S.; JEONG, Y-S.; PARK, J. H. A survey on cloud computing security: Issues, threats, and solutions. *Journal of Network and Computer Applications*, v. 75, p. 200-222, 2016.
- SOH, Z. H. C.; ISMAIL, M. H.; OTTHAMAN, F. H.; SAFIE, M. K.; ZUKRI, M. A. A.; ABDULLAH, S. A. C. Development of automatic chicken feeder using Arduino Uno. 2017

- International Conference on Electrical, Electronics and System Engineering (ICEESE), p. 120-124, 2017.
- STERGIOU, C.; PSANNIS, K. E.; KIM, B-G.; GUPTA, B. Secure integration of IoT and Cloud Computing. *Future Generation Computer Systems*, v. 78, n. 3, p 964-975, 2018.
- VOGADO, G. M. S.; VOGADO, K. T. S.; FONSECA, W. J. L.; FONSECA, W. L.; VOGADO, W. F.; OLIVEIRA, A. M.; OLIVEIRA, N. M.; LUZ, C. S. M. EVOLUÇÃO DA AVICULTURA BRASILEIRA. *Nucleus Animalium*, v. 8, n. 1, p. 49-58, 2016.
- XU, L. D.; HE, W.; LI, S. Internet of Things in Industries: A Survey. *IEEE Transactions on Industrial Informatics*, v. 10, n. 4, p. 2233-2243, 2014.
- WU, W-C.; CHENG, K-C.; LIN, P-Y. A remote pet feeder control system via MQTT protocol. 2018 IEEE International Conference on Applied System Invention (ICASI), p. 487-489, 2018.
- ZANDER, K.; HAMM, U. Consumer preferences for additional ethical attributes of organic food. *Food Quality and Preference*, v. 21, n. 5, p. 495-503, 2010.
- ZANELLA, A.; BUI, N.; CASTELLANI, A.; VANGELISTA, L.; ZORZI, M. Internet of Things for Smart Cities. *IEEE Internet of Things Journal*, v. 1, n. 1, p. 22-32, 2014.
- ZANINELLI, M.; REDAELLI, V.; TIRLONI, E.; CRISTIAN, B.; DELL'ORTO, V.; SAVOINI, G. First Results of a Detection Sensor for the Monitoring of Laying Hens Reared in a Commercial Organic Egg Production Farm Based on the Use of Infrared Technology. *SENSORS*, v. 16, n. 10, 2016.

APÊNDICE B – Código do Servidor *Fog*

Para o desenvolvimento do sistema *Fog* foi utilizada a versão 3 da linguagem Python.

```

                                main.py
001 | from threading import Thread, Lock
002 |
003 | from servidor import ativar_servidor_interface, ativar_servidor_iot,
    | no_iot_enviar_comando
004 | from classes.agendamento import *
005 |
006 | import time
007 |
008 | def cumprir_agendamento(mutex, eventoAtual):
009 |     while True:
010 |         mutex.acquire()
011 |
012 |         if eventoAtual.disparar_agora():
013 |             no_iot_enviar_comando()
014 |             mutex.release()
015 |
016 |         # Dorme ate alterar o minuto do relógio
017 |         # Ex:
018 |         # agora 19:30:40 e precisa acordar 19:31:00, entao: dorme 20s
019 |         proximoMinuto = 60-int(datetime.now().strftime("%S"))
020 |         time.sleep(proximoMinuto)
021 |
022 | if __name__ == "__main__":
023 |     eventoAtual = Evento()
024 |     eventoAtual.buscar_proximo_evento()
025 |
026 |     mutex = Lock()
027 |
028 |     listaDeNosIot = []
029 |     threadServidorIot = Thread(target=ativar_servidor_iot, args=(mutex,))
030 |     threadServidorInterface = Thread(target=ativar_servidor_interface,
    | args=(mutex,eventoAtual))
031 |     threadAgendamento = Thread(target=cumprir_agendamento,
    | args=(mutex,eventoAtual))
032 |
033 |     threadServidorInterface.start()
034 |     threadServidorIot.start()
035 |     threadAgendamento.start()
036 |
037 |     threadServidorIot.join()
038 |     threadServidorInterface.join()
039 |     threadAgendamento.join()

```

```

                                servidor.py
001 | import socket
002 | import pygame
003 |

```

```

004 from threading import Thread, Lock
005 from bd.agendamento import *
006
007 #SERVER_HOST = "192.168.25.36"
008 SERVER_HOST = "ricardoboing"
009 SERVER_INTERFACE_PORT = 8086
010 SERVER_IOT_PORT = 8081
011 CLIENTE_IOT_PORT = 8080
012 IOT_ADDRESS_LIST = []
013
014 MUSIC_ADDRESS = "musica.mp3"
015
016 ##### SERVER IOT #####
017 # Recebe solicitacoes de dispositivos iot para serem cadastrados (IP)
018 # em uma lista. Posteriormente, comandos de controle sao enviados aos
019 # IP's cadastrados nessa lista.
020 #
021 # ativar_servidor_interface, no_iot_enviar_comando
022 #####
023 def ativar_servidor_iot(mutex):
024     global IOT_ADDRESS_LIST
025
026     serverSocket = socket.socket()
027     serverSocket.bind((SERVER_HOST, SERVER_IOT_PORT))
028     serverSocket.listen()
029
030     print("SERVER CONNECT - HOST: %s | PORT: %s (IOT)" %(SERVER_HOST,
SERVER_IOT_PORT))
031
032     try:
033         while True:
034             conexao, ip = serverSocket.accept()
035             print("\nIOT CONNECT ----- \n")
036             print("IP: %s" %(ip[0]))
037
038             # Um iot nao pode ser cadastrado em paralelo com
039             # o gerenciamento de dados da camada de interface
040             mutex.acquire()
041
042             # Cadastra o ip do iot, caso ainda nao esteja na lista
043             if ip[0] not in IOT_ADDRESS_LIST:
044                 IOT_ADDRESS_LIST.append(ip[0])
045                 print("IOT CADASTRADO")
046
047             mutex.release()
048
049             print("\nIOT DISCONNECT ----- \n")
050         except:
051             pass
052         finally:
053             conexao.close()
054             serverSocket.close()
055
056 ##### SERVER INTERFACE #####
057 # Recebe dados da camada de interface e realiza o gerenciamento

```

```

058 # desses dados.
059 #
060 # ativar_servidor_iot, no_iot_enviar_comando, som_configurar
061 #####
062 def ativar_servidor_interface(mutex, eventoAtual):
063     serverSocket = socket.socket()
064     serverSocket.bind((SERVER_HOST, SERVER_INTERFACE_PORT))
065     serverSocket.listen()
066
067     print("SERVER CONNECT - HOST: %s | PORT: %s (INTERFACE)" %
(SERVER_HOST, SERVER_INTERFACE_PORT))
068
069     # Inicializa a biblioteca para ativar/desativar efeitos sonoros
070     # utilizados para alertar as aves.
071     pygame.init()
072     pygame.mixer.music.load(MUSIC_ADDRESS)
073
074     try:
075         while True:
076             conexao = serverSocket.accept()[0]
077             print("CLIENT CONNECT -----\\n")
078
079             operacao = str(ler_conteudo_conexao(conexao,1))
080
081             # As operacoes nao podem ser realizadas em paralelo com
082             # o cadastrado dos IP's dos dispositivos.
083             mutex.acquire()
084
085             # INSERIR EVENTO
086             if operacao == 'a':
087                 print("_INSERIR EVENTO")
088                 valorDeRetorno = bd_agendamento_insert(conexao)
089                 eventoAtual.buscar_proximo_evento()
090
091             # REMOVER EVENTO
092             elif operacao == 'b':
093                 print("_REMOVER EVENTO")
094                 valorDeRetorno = bd_agendamento_remove(conexao)
095                 eventoAtual.buscar_proximo_evento()
096
097             # UPDATE EVENTO
098             elif operacao == 'c':
099                 print("_UPDATE EVENTO")
100                 valorDeRetorno = bd_agendamento_update(conexao)
101                 eventoAtual.buscar_proximo_evento()
102
103             # SELECT EVENTO
104             elif operacao == 'd':
105                 print("_SELECT EVENTO")
106                 valorDeRetorno = bd_agendamento_select(conexao)
107
108             # SELECT_ALL EVENTO NO BANCO DE DADOS
109             elif operacao == 'e':
110                 print("_SELECT_ALL EVENTO")
111                 valorDeRetorno = bd_agendamento_select_all()

```

```

112
113 # CONTROLE_NO_IOT
114 elif operacao == 'f':
115     print("_CONTROLE_NO_IOT")
116     valorDeRetorno = no_iot_enviar_comando()
117
118 # CONTROLE_SOM
119 elif operacao == 'g':
120     print("_CONTROLE_SOM")
121     comando = ler_conteudo_conexao(conexao,1)
122
123     # Comando de alterar o volume do som precisa dos 3 bytes do volume
124     if comando != "a":
125         comando += ler_conteudo_conexao(conexao,3)
126         valorDeRetorno = som_configurar(comando)
127
128 # GET ESTIMATIVA DE CONSUMO
129 elif operacao == "h":
130     print("_GET ESTIMATIVA DE CONSUMO")
131     valorDeRetorno = bd_no_iot_select_estimativa_de_consumo()
132
133 # REINICIAR ESTIMATIVA DA BATERIA
134 elif operacao == "i":
135     print("_REINICIAR ESTIMATIVA DA BATERIA")
136     valorDeRetorno = bd_no_iot_reset_estimativa_da_bateria()
137
138 # SELECT CONFIGURACOES NO_IOT
139 elif operacao == "j":
140     print("_SELECT CONFIGURACOES NO_IOT")
141     valorDeRetorno = bd_no_iot_select_configuracoes()
142
143 # UPDATE CONFIGURACOES NO_IOT
144 elif operacao == "k":
145     print("_UPDATE CONFIGURACOES NO_IOT")
146     valorDeRetorno = bd_no_iot_update_configuracoes(conexao)
147
148     mutex.release()
149
150     conexao.sendall(valorDeRetorno.encode())
151
152     print(valorDeRetorno.encode());
153
154     print ("\nCLIENT DISCONNECT -----\n");
155 finally:
156     conexao.close()
157     serverSocket.close()
158
159 ##### CONFIGURAR SOM #####
160 # Com base no comando especificado eh alterado o volume, iniciado ou
161 # parado a execucao do efeito sonoro (que alerta as aves sobre o
162 # alimento).
163 #
164 # comando:
165 # a: parar som
166 # b: iniciar som e alterar volume

```

```

167 # c: alterar volume
168 #
169 # ativar_servidor_interface
170 #####
171 def som_configurar(comando):
172     operacao = comando[0:1]
173
174     # PARAR
175     if operacao == "a":
176         pygame.mixer.music.stop()
177     else:
178         # ALTERAR VOLUME [, INICIAR SOM]
179         volume = int(comando[1:])
180         volume /= 100
181
182         pygame.mixer.music.set_volume(volume)
183
184     # INICIAR
185     if operacao == "b":
186         pygame.mixer.music.play(-1)
187
188     # Sucesso/erro/falha nao implementados
189     return "1"
190
191 ##### CONTROLAR IOT #####
192 # Envia um comando de controle ao dispositivo iot de acordo com o IP
193 # do dispositivo. Os IP's sao cadastrados, inicialmente, atraves de
194 # um socket, na funcao ativar_servidor_iot.
195 #
196 # ativar_servidor_iot, ativar_servidor_interface
197 #####
198 def no_iot_enviar_comando():
199     global IOT_ADDRESS_LIST
200     global mutex
201
202     # O comando eh enviado para todos os dispositivos iot cadastrados
203     for address in IOT_ADDRESS_LIST:
204         try:
205             with socket.socket(socket.AF_INET, socket.SOCK_STREAM) as server:
206                 server.connect((address, CLIENTE_IOT_PORT))
207                 server.sendall("a".encode())
208         except:
209             print("Erro ao se conectar com iot. IP: %s" %(address))
210             pass
211     # Sucesso/erro/falha nao implementados
212     return "1"

```

util.py

```

001 # Acrescenta zeros ao lado esquerdo do valor numerico informado
002 def formatar_digitos(valor, numeroDeDigitosEsperado):
003     numeroDeDigitosEsperado = int(numeroDeDigitosEsperado)
004     valorStr = str(valor)
005     lenghtValor = len(valorStr)
006
007     # Se o valor for maior que o numeroDeDigitosEsperado entao corta o

```

```

008     # valor e retorna. O corte acontece do valor mais a esquerda para
009     # o mais a direita
010     if lenghtValor > numeroDeDigitosEsperado:
011         valorStr = valorStr[0:numeroDeDigitosEsperado]
012         return valorStr
013
014     numeroDeDigitosEmFalta = numeroDeDigitosEsperado - lenghtValor
015
016     # Se o valor numerico for menor que o requisitado entao preenche o
017     # lado esquerdo com zeros (0)
018     for c in range(numeroDeDigitosEmFalta):
019         valorStr = "0"+valorStr
020
021     return valorStr

```

classes/agendamento.py

```

001     from datetime import datetime, date
002     from bd.sql import *
003
004     # Gerar dados aleatorios para testes
005     def gerador_aleatorio_de_eventos():
006         query = "insert into
evento(nome,horario,domingo,segunda,terca,quarta,quinta,sexta,sabado,somTocar,somTe
mpoDuracao,somVolume) values "
007
008         values = ""
009         for c in range(0,5000):
010             if c != 0:
011                 values += ","
012
013                 nome = c+10
014                 horario1 = (c*3) % 24
015                 horario2 = (c*7) % 60
016                 horario = str(horario1)+":"+str(horario2)
017                 domingo = ((c*4) % 11) % 2
018                 segunda = ((c*5) % 10) % 2
019                 terca = ((c*6) % 9) % 2
020                 quarta = ((c*7) % 8) % 2
021                 quinta = ((c*8) % 7) % 2
022                 sexta = ((c*3) % 6) % 2
023                 sabado = ((c*4) % 9) % 2
024                 somTocar = ((c*5) % 4) % 2
025                 values += "(\"evento_agendamento %s\", \"%s\", %s, %s, %s, %s, %s, %s, %s, %s, 5, 50)"
%(nome,horario,domingo,segunda,terca,quarta,quinta,sexta,sabado,somTocar)
026
027                 query += values+";"
028                 #print(query)
029                 banco(query)
030
031     class Evento:
032     def __init__(self):
033         self.idEvento = 0
034         self.diaEvento = ""
035         self.horarioEvento = ""
036         self.tocarSom = False

```

```

037     self.volumeSom = 0
038     self.somTempoDuracaoSom = 0
039     self.listaDiaDaSemana = ["quinta", "sexta", "sabado", "domingo", "segunda", "terca",
"quarta"]
040
041     def buscar_proximo_evento(self):
042         diaNumericoDaSemana = date.today().weekday()
043         horarioAtual = datetime.now().strftime("%H:%M")
044
045         for c in range (0,7):
046             diaNumericoDaSemanaASerBuscado = (diaNumericoDaSemana + c) % 7
047             diaStringDaSemana =
self.listaDiaDaSemana[diaNumericoDaSemanaASerBuscado]
048
049             queryCampos =
"IdAgendamento,horario,somTocar,somVolume,somTempoDuracao"
050             queryTabela = "evento_agendamento"
051             queryCondicao = "%s=1 AND horario > \"%s\"%" %(diaStringDaSemana,
horarioAtual)
052             queryAdicional = "ORDER BY horario ASC LIMIT 1"
053
054             tuplas = sql_select(queryCampos, queryTabela, queryCondicao, queryAdicional)
055
056             possuiTupla = False
057             for tupla in tuplas:
058                 possuiTupla = True
059                 self.idEvento = tupla[0]
060                 self.diaEvento = diaStringDaSemana
061                 self.horarioEvento = str(tupla[1])
062                 self.tocarSom = tupla[2]
063                 self.volumeSom = tupla[3]
064                 self.somTempoDuracaoSom = tupla[4]
065
066             if possuiTupla:
067                 break
068
069             horarioAtual = "00:00"
070
071     def disparar_agora(self):
072         horarioAtual = str(datetime.now().strftime("%H:%M:00"))
073         print(horarioAtual)
074         print(self.horarioEvento)
075
076         # SE horarioEvento <= horarioAtual
077         if horarioAtual >= self.horarioEvento:
078             self.buscar_proximo_evento()
079             return 1
080
081         return 0
082
083     def menor_dia(self,dia1,dia2):
084         indiceDia1 = -1
085         indiceDia2 = -1
086         for c in range(0,6):
087             if listaDiaDaSemana[c] == dia1:

```

```

088         indiceDia1 = c
089         if listaDiaDaSemana[c] == dia2:
090             indiceDia2 = c
091
092         if indiceDia1 < indiceDia2:
093             return 1
094         if indiceDia1 > indiceDia2:
095             return 2
096         return 0

```

bd/agendamento.py

```

001 from bd.sql import *
002 from util import *
003
004 def bd_agendamento_remove(conexao):
005     numeroDeIds = int( ler_conteudo_conexao(conexao,3) );
006
007     queryCondicaoValoresIn = ""
008     for c in range(numeroDeIds):
009         idEvento = ler_conteudo_conexao(conexao,10)
010
011         if c > 0:
012             queryCondicaoValoresIn += ","
013             queryCondicaoValoresIn += idEvento
014
015     queryTabela = "evento_agendamento"
016     queryCondicaoCampo = "idAgendamento"
017
018     sql_delete_where_in(queryTabela, queryCondicaoCampo, queryCondicaoValoresIn)
019
020     return "1"
021
022 # Atualiza as informacoes de um evento de acordo
023 # com os dados recebidos em uma conexao socket
024 def bd_agendamento_update(conexao):
025     idEvento = ler_conteudo_conexao(conexao,10)
026     domingo = ler_conteudo_conexao(conexao,1)
027     segunda = ler_conteudo_conexao(conexao,1)
028     terca = ler_conteudo_conexao(conexao,1)
029     quarta = ler_conteudo_conexao(conexao,1)
030     quinta = ler_conteudo_conexao(conexao,1)
031     sexta = ler_conteudo_conexao(conexao,1)
032     sabado = ler_conteudo_conexao(conexao,1)
033
034     somHabilitado = ler_conteudo_conexao(conexao,1)
035
036     if somHabilitado == "1":
037         somVolume = ler_conteudo_conexao(conexao,3)
038         somTempoDuracao = ler_conteudo_conexao(conexao,2)
039     else:
040         somVolume = '000'
041         somTempoDuracao = '00'
042
043     horario = ler_conteudo_conexao(conexao,2)
044     horario += ":"

```

```

045     horario += ler_conteudo_conexao(conexao,2)
046
047     lengthNome = int(ler_conteudo_conexao(conexao,2))
048     nome = ler_conteudo_conexao(conexao,lengthNome)
049
050     queryCampos = "somTempoDuracao=%s," %(somTempoDuracao)
051     queryCampos += "somVolume=%s," %(somVolume)
052     queryCampos += "somTocar=%s," %(somHabilitado)
053     queryCampos += "horario='%s'," %(horario)
054     queryCampos += "nome='%s'," %(nome)
055     queryCampos += "domingo=%s," %(domingo)
056     queryCampos += "segunda=%s," %(segunda)
057     queryCampos += "terca=%s," %(terca)
058     queryCampos += "quarta=%s," %(quarta)
059     queryCampos += "quinta=%s," %(quinta)
060     queryCampos += "sexta=%s," %(sexta)
061     queryCampos += "sabado=%s " %(sabado)
062
063     queryTabela = "evento_agendamento"
064     queryCondicao = "idAgendamento=%s" %(idEvento)
065
066     sql_update(queryTabela, queryCampos, queryCondicao)
067
068     return "1"
069
070 def bd_agendamento_insert(conexao):
071     domingo = ler_conteudo_conexao(conexao,1)
072     segunda = ler_conteudo_conexao(conexao,1)
073     terca = ler_conteudo_conexao(conexao,1)
074     quarta = ler_conteudo_conexao(conexao,1)
075     quinta = ler_conteudo_conexao(conexao,1)
076     sexta = ler_conteudo_conexao(conexao,1)
077     sabado = ler_conteudo_conexao(conexao,1)
078
079     somHabilitado = ler_conteudo_conexao(conexao,1)
080
081     if somHabilitado == "1":
082         somVolume = ler_conteudo_conexao(conexao,3)
083         somTempoDuracao = ler_conteudo_conexao(conexao,2)
084     else:
085         somVolume = '000'
086         somTempoDuracao = '00'
087
088     horario = ler_conteudo_conexao(conexao,2)
089     horario += ":"
090     horario += ler_conteudo_conexao(conexao,2)
091
092     lengthNome = int(ler_conteudo_conexao(conexao,2))
093     nome = conexao.recv(lengthNome).decode('utf-8')
094
095     queryCampos =
"nome,horario,domingo,segunda,terca,quarta,quinta,sexta,sabado,somTocar,somVolume,s
omTempoDuracao"
096     queryTabela = "evento_agendamento"
097     queryDados = "'%s'," %(nome)

```

```

098 queryDados += "%s," %(horario)
099 queryDados += "%s," %(domingo)
100 queryDados += "%s," %(segunda)
101 queryDados += "%s," %(terca)
102 queryDados += "%s," %(quarta)
103 queryDados += "%s," %(quinta)
104 queryDados += "%s," %(sexta)
105 queryDados += "%s," %(sabado)
106 queryDados += "%s," %(somHabilitado)
107 queryDados += "%s," %(somVolume)
108 queryDados += "%s" %(somTempoDuracao)
109
110 sql_insert(queryCampos, queryTabela, queryDados)
111
112 return "1"
113
114 def bd_agendamento_select_all():
115     queryCampos =
116     "domingo,segunda,terca,quarta,quinta,sexta,sabado,horario,idAgendamento,nome"
117     queryTabela = "evento_agendamento"
118     queryAdicional = "ORDER BY horario ASC"
119
120     data = sql_select_all(queryCampos, queryTabela, queryAdicional)
121
122     retorno = ""
123
124     for tupla in data:
125         domingo = str(tupla[0])
126         segunda = str(tupla[1])
127         terca = str(tupla[2])
128         quarta = str(tupla[3])
129         quinta = str(tupla[4])
130         sexta = str(tupla[5])
131         sabado = str(tupla[6])
132
133         horario = formatar_horario(tupla[7])
134         idEvento = formatar_id(tupla[8])
135         nome = formatar_nome(str(tupla[9]))
136
137         retorno += idEvento
138         retorno += domingo
139         retorno += segunda
140         retorno += terca
141         retorno += quarta
142         retorno += quinta
143         retorno += sexta
144         retorno += sabado
145         retorno += horario
146         retorno += "%s" %(nome)
147
148     print(len(data))
149
150     totalDeTuplas = formatar_digitos(len(data), 3)
151
152     retorno = totalDeTuplas + retorno

```

```

152     return retorno
153
154 def bd_agendamento_select(conexao):
155     idEvento = ler_conteudo_conexao(conexao,10)
156
157     queryCampos =
"domingo,segunda,terca,quarta,quinta,sexta,sabado,horario,somTocar,somVolume,somTe
mpoDuracao,nome"
158     queryTabela = "evento_agendamento"
159     queryCondicao = "idAgendamento=%s" %(idEvento)
160     queryAdicional = ""
161
162     data = sql_select(queryCampos, queryTabela, queryCondicao, queryAdicional)
163
164     retorno = ""
165
166     for tupla in data:
167         domingo = str(tupla[0])
168         segunda = str(tupla[1])
169         terca = str(tupla[2])
170         quarta = str(tupla[3])
171         quinta = str(tupla[4])
172         sexta = str(tupla[5])
173         sabado = str(tupla[6])
174
175         horario = formatar_horario(tupla[7])
176         som = formatar_som(tupla[8],tupla[9],tupla[10])
177         nome = formatar_nome(str(tupla[11])) # nao pode ter ascento
178
179         retorno += domingo
180         retorno += segunda
181         retorno += terca
182         retorno += quarta
183         retorno += quinta
184         retorno += sexta
185         retorno += sabado
186         retorno += horario
187         retorno += som
188         retorno += nome
189
190     return retorno
191
192 def formatar_horario(horario):
193     horario = str(horario).split(":")
194
195     hora = formatar_digitos(horario[0],2)
196     minuto = formatar_digitos(horario[1],2)
197
198     return hora+minuto
199
200 def formatar_som(somHabilitado,somVolume,somTempoDuracao):
201     somHabilitado = str(somHabilitado)
202     somVolume = formatar_digitos(somVolume,3)
203     somTempoDuracao = formatar_digitos(somTempoDuracao,2)
204

```

```

205     if somHabilitado == "1":
206         return somHabilitado+somVolume+somTempoDuracao
207     return somHabilitado
208
209     def formatar_nome(nome):
210         nomeEncode = nome.encode("utf8")
211         lengthNome = str(len(nomeEncode))
212         lengthNome = formatar_digitos(lengthNome, 2)
213
214         return lengthNome+nome
215
216     def formatar_id(id):
217         return formatar_digitos(id, 10)

```

bd/sql.py

```

001     import pymysql
002
003     DATABASE_HOST = "localhost"
004     DATABASE_USER = "boing"
005     DATABASE_PASSWORD = "boing12345"
006     DATABASE_NAME = "tcc"
007
008     # Le o conteudo recebido em uma conexao socket
009     def ler_conteudo_conexao(conexao, numeroBytes):
010         return str(conexao.recv(numeroBytes).decode('utf-8'))
011
012     def banco(query):
013         print(query)
014
015         # Conecta ao banco de dados
016         conexao = pymysql.connect(
017             host=DATABASE_HOST,
018             user=DATABASE_USER,
019             password=DATABASE_PASSWORD,
020             db=DATABASE_NAME
021         )
022
023         try:
024             # Insere query ao banco de dados
025             with conexao.cursor() as cursor:
026                 cursor.execute(query)
027                 retorno = cursor.fetchall()
028                 conexao.commit()
029
030         finally:
031             # Cancela operacao
032             conexao.rollback()
033
034         conexao.close()
035
036         return retorno
037
038     def sql_insert(campos, tabela, dados):
039         query = "INSERT INTO %s(%s) VALUES(%s);" %(tabela, campos, dados)
040         banco(query)

```

```
041
042 def sql_select(campos, tabela, condicao, adicional):
043     query = "SELECT %s FROM %s WHERE %s %s;" %(campos, tabela, condicao,
adicional)
044     return banco(query)
045
046 def sql_select_all(campos, tabela, adicional):
047     query = "SELECT %s FROM %s %s;" %(campos, tabela, adicional)
048     return banco(query)
049
050 def sql_update(tabela, campos, condicao):
051     query = "UPDATE %s SET %s" %(tabela, campos)
052
053     if condicao != "":
054         query += "WHERE %s" %(condicao)
055
056     query += ";"
057
058     banco(query)
059
060 def sql_delete_where_in(tabela, condicaoCampo, condicaoValoresIn):
061     query = query = "DELETE FROM %s WHERE %s in (%s);" %
(tabela,condicaoCampo,condicaoValoresIn)
062     banco(query)
```


APÊNDICE C – Código do dispositivo *IoT* (protótipo)

O dispositivo *IoT* foi desenvolvido para um Arduíno UNO. Desse modo, aconselha-se o uso da IDE do fabricante: Arduino IDE.

Carrinho.ino

```

001 #include "Carrinho.hpp"
002 #include <SoftwareSerial.h>
003 #include <Ultrasonic.h>
004 SoftwareSerial antennaEsp(2, 3);
005 Carrinho carrinho(6, 7, 8, 9, 10, 11, 12, 13);
006 Ultrasonic ultrasonic(4, 5);
007
008 int estado = 0;
009 unsigned long tempoInicial = 0;
010 unsigned long tempoFinal = 0;
011 unsigned long intervaloEntreTempos = 0;
012 unsigned long tempoVoltaEsperado = 0;
013
014 float dist = 0;
015
016 void setup() {
017     Serial.begin(115200);
018     antennaEsp.begin(115200);
019     esp_configure();
020 }
021 void esp_configure() {
022     // Configuracoes iniciais
023     esp_data_send("RST");
024     esp_data_send("CWMODE=1");
025     esp_data_send("CWJAP=\"GVT-DFDC\", \"12345\"");
026
027     // Mostra ip do "no" dentro da rede
028     esp_data_send("CIFSR");
029
030     while(!antennaEsp.find("OK"));
031
032     // Registra "no" iot no servidor
033     esp_data_send("CIPSTART=\"TCP\", \"192.168.25.36\", 8081");
034     delay(2000);
035
036     // Fecha conexao com o servidor
037     esp_data_send("CIPCLOSE");
038     delay(2000);
039
040     // Cria servidor socket na porta 8080
041     esp_data_send("CIPMUX=1");
042     esp_data_send("CIPSERVER=1,8080");
043     delay(2000);
044 }
045 void esp_data_send(String comando) {
046     // Todo comando deve iniciar com "AT+" e terminar com "\r\n"

```

```
047 comando = "AT"+comando+"\r\n";
048
049 String resposta;
050 antennaEsp.print(comando);
051
052 delay(2000);
053
054 while(antennaEsp.available() {
055     char data = antennaEsp.read();
056     resposta += data;
057 }
058
059 Serial.print(resposta);
060 }
061 float get_sensor_distancia() {
062     long microsec = ultrasonic.timing();
063
064     return ultrasonic.convert(microsec, Ultrasonic::CM);
065 }
066
067 void loop() {
068     // Carrinho parado: verifica comando recebido (antena)
069     if (estado == 0) {
070         if (antennaEsp.available()) {
071             delay(2000);
072             while (antennaEsp.available()) antennaEsp.read();
073
074             tempoInicial = millis();
075             carrinho.andar_sentido_sul();
076             carrinho.abrir_reservatorio();
077             estado = 1;
078         }
079         // Carrinho andando (sentido 1 - ida)
080     } else if (estado == 1) {
081         float distancia = get_sensor_distancia();
082
083         if (distancia < 7 && distancia > 0) {
084             carrinho.andar_sentido_norte();
085             tempoFinal = millis();
086             estado = 2;
087
088             tempoVoltaEsperado = 2*tempoFinal - tempoInicial;
089         }
090         // Carrinho andando (sentido 2 - volta)
091     } else {
092         unsigned long tempoAtual = millis();
093         if (tempoVoltaEsperado <= tempoAtual) {
094             estado = 0;
095
096             carrinho.parar();
097             carrinho.fechar_reservatorio();
098         }
099     }
100 }
```

Carrinho.hpp

```

001 #ifndef CARRINHO_HPP
002 #define CARRINHO_HPP
003
004 #include "Roda.hpp"
005 #include "Reservatorio.hpp"
006
007 class Carrinho {
008 private:
009     Roda *rodaA, *rodaB;
010     Reservatorio *reservatorio;
011
012 public:
013     Carrinho();
014     Carrinho(int pinA1, int pinA2, int pinB1, int pinB2, int pinC1, int pinC2, int
pinC3, int pinC4);
015     ~Carrinho();
016
017     void andar_sentido_norte();
018     void andar_sentido_sul();
019     void parar();
020     void abrir_reservatorio();
021     void fechar_reservatorio();
022
023 };
024
025 #endif

```

Reservatorio.hpp

```

001 #ifndef RESERVATORIO_HPP
002 #define RESERVATORIO_HPP
003
004 #include <Stepper.h>
005 #include "Reservatorio.hpp"
006
007 class Reservatorio {
008 private:
009     bool isAberto;
010     Stepper* motor;
011
012 public:
013     Reservatorio();
014     Reservatorio(int pin1, int pin2, int pin3, int pin4);
015     ~Reservatorio();
016
017     void abrir();
018     void fechar();
019
020 };
021
022 #endif

```

Roda.hpp

```

001 | #ifndef RODA_HPP
002 | #define RODA_HPP
003 |
004 | class Roda {
005 | private:
006 |     int pinA, pinB;
007 |
008 | public:
009 |     Roda();
010 |     Roda(int pinA, int pinB);
011 |     ~Roda();
012 |
013 |     void parar();
014 |     void girar_sentido_horario();
015 |     void girar_sentido_anti_horario();
016 |
017 | };
018 |
019 | #endif

```

Carrinho.cpp

```

001 | #ifndef CARRINHO_CPP
002 | #define CARRINHO_CPP
003 |
004 | #include "Carrinho.hpp"
005 |
006 | Carrinho::Carrinho() {}
007 | Carrinho::Carrinho(int pinA1, int pinA2, int pinB1, int pinB2, int pinC1, int pinC2, int
008 | pinC3, int pinC4) {
009 |     this->rodaA = new Roda(pinA1, pinA2);
010 |     this->rodaB = new Roda(pinB1, pinB2);
011 |
012 |     this->reservatorio = new Reservatorio(pinC1, pinC2, pinC3, pinC4);
013 | }
014 | Carrinho::~Carrinho() {}
015 |
016 | void Carrinho::andar_sentido_norte() {
017 |     this->rodaA->girar_sentido_horario();
018 |     this->rodaB->girar_sentido_horario();
019 | }
020 | void Carrinho::andar_sentido_sul() {
021 |     this->rodaA->girar_sentido_anti_horario();
022 |     this->rodaB->girar_sentido_anti_horario();
023 | }
024 | void Carrinho::parar() {
025 |     this->rodaA->parar();
026 |     this->rodaB->parar();
027 | }
028 | void Carrinho::abrir_reservatorio() {
029 |     this->reservatorio->abrir();
030 | }
031 | void Carrinho::fechar_reservatorio() {
032 |     this->reservatorio->fechar();
033 | }

```

```
033
034 #endif
```

Reservatorio.cpp

```
001 #ifndef RESERVATORIO_CPP
002 #define RESERVATORIO_CPP
003
004 #include "Reservatorio.hpp"
005 #include <Arduino.h>
006
007 Reservatorio::Reservatorio() {}
008 Reservatorio::Reservatorio(int pin1, int pin2, int pin3, int pin4) {
009     this->motor = new Stepper(500, pin1, pin2, pin3, pin4);
010     this->motor->setSpeed(60);
011
012     this->isAberto = false;
013 }
014 Reservatorio::~Reservatorio() {}
015
016 void Reservatorio::abrir() {
017     if (!this->isAberto) {
018         this->motor->step(1024);
019         this->isAberto = true;
020     }
021 }
022 void Reservatorio::fechar() {
023     if (this->isAberto) {
024         this->motor->step(-1024);
025         this->isAberto = false;
026     }
027 }
028
029 #endif
```

Roda.cpp

```
001 #ifndef RODA_CPP
002 #define RODA_CPP
003
004 #include "Roda.hpp"
005 #include <Arduino.h>
006
007 Roda::Roda() {}
008 Roda::Roda(int pinA, int pinB) {
009     pinMode(pinA, OUTPUT);
010     pinMode(pinB, OUTPUT);
011
012     this->pinA = pinA;
013     this->pinB = pinB;
014 }
015 void Roda::parar() {
016     digitalWrite(this->pinA, LOW);
017     digitalWrite(this->pinB, LOW);
018 }
019 void Roda::girar_sentido_horario() {
```

```
020     digitalWrite(this->pinA, HIGH);
021     digitalWrite(this->pinB, LOW);
022 }
023 void Roda::girar_sentido_anti_horario() {
024     digitalWrite(this->pinA, LOW);
025     digitalWrite(this->pinB, HIGH);
026 }
027
028 #endif
```

APÊNDICE D – Código do sistema Web

Para a correta execução do sistema Web é necessário obter o arquivo jquery-3.3.1.min.js. O arquivo deve ser obtido no site do desenvolvedor e ser movido para pasta js.

```

                                index.php
001 <!DOCTYPE html>
002 <html>
003 <?php include_once "class/ClienteServer.php"; ?>
004 <?php include_once "include/head.php"; ?>
005 <body>
006     <header>
007         <span>CONTROLE</span>
008     </header>
009     <main class="controle">
010         <section class="iot_movimentacao">
011             <div class="titulo">
012                 <span>IOT</span>
013             </div>
014
015                 <div class="botoes">
016                     <ul>
017                         <li>
018                             <button id="iot_ativar"
class="ativar">ATIVAR</button>
019                         </li>
020                     </ul>
021                 </div>
022             </section>
023             <section class="som">
024                 <div class="titulo">
025                     <span>Som</span>
026                 </div>
027                 <div class="botoes">
028                     <ul>
029                         <li>
030                             <button id="som_tocar"
class="tocar">TOCAR</button>
031                         </li>
032                         <li>
033                             <button id="som_parar"
class="parar">PARAR</button>
034                         </li>
035                     </ul>
036                 </div>
037                 <div>
038                     <label for="som_volume">Volume:</label>
039                     <input type="range" id="som_volume" value="100">
040                 </div>
041             </section>
042         </main>
043     </body>

```

```

044         <ul>
045             <li data-active="active">
046                 <a href="javascript: void(0);">CONTROLE</a>
047             </li>
048             <li>
049                 <a href="agenda.php">AGENDA</a>
050             </li>
051         </ul>
052     </footer>
053 </body>
054 <?php include_once "include/scripts.php"; ?>
055 </html>

```

evento.php

```

001 <!DOCTYPE html>
002 <html>
003 <?php include_once "class/ClienteServer.php"; ?>
004 <?php include_once "include/head.php"; ?>
005 <?php include_once "util/util.php"; ?>
006 <?php
007     $id = $_GET["id"];
008
009     $tipoDaPagina = "insert";
010     $title = "NOVO AGENDAMENTO";
011
012     $semanaDomingo = "";
013     $semanaSegunda = "";
014     $semanaTerca = "";
015     $semanaQuarta = "";
016     $semanaQuinta = "";
017     $semanaSexta = "";
018     $semanaSabado = "";
019
020     $horarioHora = "";
021     $horarioMinuto = "";
022
023     $nome = "";
024     $somTocar = "";
025     $somVolume = "50";
026     $somTempoDuracao = "00";
027     $somDisabled = "disabled='disabled'";
028
029     if ($id != "") {
030         $tipoDaPagina = "update";
031         $title = "EDITAR AGENDAMENTO";
032
033         $pacote = "d";
034         $pacote .= formatar_digitos($id, 10, "0");
035
036         $clienteServer = new ClienteServer();
037         $clienteServer->criarConexao();
038         $clienteServer->conectar();
039         $clienteServer->enviar($pacote);
040
041         $semanaDomingo = ($clienteServer->ler(1) == "0")? "" : "

```

```

checked=\\"checked\\"";
042     $semanaSegunda = ($clienteServer->ler(1) == "0")? "" : "
checked=\\"checked\\"";
043     $semanaTerca  = ($clienteServer->ler(1) == "0")? "" : "
checked=\\"checked\\"";
044     $semanaQuarta = ($clienteServer->ler(1) == "0")? "" : "
checked=\\"checked\\"";
045     $semanaQuinta = ($clienteServer->ler(1) == "0")? "" : "
checked=\\"checked\\"";
046     $semanaSexta  = ($clienteServer->ler(1) == "0")? "" : "
checked=\\"checked\\"";
047     $semanaSabado = ($clienteServer->ler(1) == "0")? "" : "
checked=\\"checked\\"";

048
049     $horarioHora = $clienteServer->ler(2)."";
050     $horarioMinuto = $clienteServer->ler(2)."";
051
052     $somTocar = $clienteServer->ler(1)."";
053     if ($somTocar == "1") {
054         $somVolume = $clienteServer->ler(3);
055         $somTempoDuracao = $clienteServer->ler(2);
056         $somTocar = "checked=\\"checked\\"";
057         $somDisabled = "";
058     } else {
059         $somTocar = "";
060     }
061
062     $lengthNome = $clienteServer->ler(2);
063     $nome = $clienteServer->ler($lengthNome);
064
065     $clienteServer->desconectar();
066 }
067 ?>
068 <body>
069     <header>
070         <span><?php echo $title; ?></span>
071     </header>
072     <main class="evento" data-operacao=<?php echo "".$stipoDaPagina.""> ?> data-
id=<?php echo "".$id.""> ?>>
073         <form>
074             <section class="evento">
075                 <div>
076                     <label for="nome">Nome:</label>
077                     <input type="text" name="nome" id="nome"
placeholder="De manha" required="required" value=<?php echo "".$nome.""> ?>>
078                 </div>
079                 <div class="hora">
080                     <label for="horario_hora">Horário:</label>
081                     <div>
082                         <input type="text" class="number"
name="horario_minuto" id="horario_minuto" placeholder="00" required="required"
value=<?php echo "".$horarioMinuto.""> ?>>
083                     </div>
084                 </div>
085             </section>

```

```

086         <input type="text" class="number"
name="horario_hora" id="horario_hora" placeholder="01" required="required" value=<?
php echo "\"".$shorarioHora."\""; ?>>
087     </div>
088 </div>
089 <div>
090     <ul>
091         <li>
092             <label
for="dia_domingo">Domingo</label>
093             <input type="checkbox"
name="dia_domingo" id="dia_domingo" <?php echo $semanaDomingo; ?>>
094         </li>
095         <li>
096             <label
for="dia_segunda">Segunda</label>
097             <input type="checkbox"
name="dia_segunda" id="dia_segunda" <?php echo $semanaSegunda; ?>>
098         </li>
099         <li>
100             <label
for="dia_terca">Terça</label>
101             <input type="checkbox"
name="dia_terca" id="dia_terca" <?php echo $semanaTerca; ?>>
102         </li>
103         <li>
104             <label for="dia_quarta">Quarta</
label>
105             <input type="checkbox"
name="dia_quarta" id="dia_quarta" <?php echo $semanaQuarta; ?>>
106         </li>
107         <li>
108             <label for="dia_quinta">Quinta</
label>
109             <input type="checkbox"
name="dia_quinta" id="dia_quinta" <?php echo $semanaQuinta; ?>>
110         </li>
111         <li>
112             <label
for="dia_sexta">Sexta</label>
113             <input type="checkbox"
name="dia_sexta" id="dia_sexta" <?php echo $semanaSexta; ?>>
114         </li>
115         <li>
116             <label
for="dia_sabado">Sábado</label>
117             <input type="checkbox"
name="dia_sabado" id="dia_sabado" <?php echo $semanaSabado; ?>>
118         </li>
119     </ul>
120 </div>
121 </section>
122 <section class="som">
123     <div class="titulo">
124         <span>Som</span>

```

```

125         </div>
126     </div>
127         <label
for="som_input_checkbox">Tocar:</label>
128         <input type="checkbox"
name="som_input_checkbox" id="som_input_checkbox" <?php echo $somTocar; ?>>
129     </div>
130     <div>
131         <label
for="som_input_volume">Volume:</label>
132         <input type="range" name="som_input_volume"
id="som_input_volume" value=<?php echo "". $somVolume. "">; ?> <?php echo
$somDisabled; ?>>
133     </div>
134     <div class="tempo">
135         <label for="som_input_tempo">Tempo:</label>
136     <div>
137         <input type="text" class="number"
name="som_input_tempo" id="som_input_tempo" placeholder="0" value=<?php echo "".
$somTempoDuracao. "">; ?> <?php echo $somDisabled; ?>>
138         <span class="disabled">segundos</span>
139     </div>
140 </div>
141 </section>
142 </form>
143 </main>
144 <footer>
145     <ul>
146         <li>
147             <a href="javascript: void(0);" class="salvar" data-
href="agenda.php">SALVAR</a>
148         </li>
149         <li>
150             <a href="agenda.php"
class="cancelar">CANCELAR</a>
151         </li>
152     </ul>
153 </footer>
154 </body>
155 <?php include_once "include/scripts.php"; ?>
156 </html>

```

agenda.php

```

001 <!DOCTYPE html>
002 <html>
003 <?php
004 header("Content-type: text/html;charset=utf-8");
005 include_once "class/ClienteServer.php";
006 include_once "include/head.php";
007 ?>
008
009 <?php
010     $pacote = "e";
011     $clienteServer = new ClienteServer();
012     $clienteServer->criarConexao();

```



```

055                                     <a <?php echo
"href='evento.php?id=".$id."'"; ?><?php echo $nome; ?></a>
056                                     <ul>
057                                     <li <?php echo
"\"".$semanaDomingo.\""; ?>>
058                                     <span>D</span>
059                                     </li>
060                                     <li <?php echo
"\"".$semanaSegunda.\""; ?>>
061                                     <span>S</span>
062                                     </li>
063                                     <li <?php echo
"\"".$semanaTerca.\""; ?>>
064                                     <span>T</span>
065                                     </li>
066                                     <li <?php echo
"\"".$semanaQuarta.\""; ?>>
067                                     <span>Q</span>
068                                     </li>
069                                     <li <?php echo
"\"".$semanaQuinta.\""; ?>>
070                                     <span>Q</span>
071                                     </li>
072                                     <li <?php echo
"\"".$semanaSexta.\""; ?>>
073                                     <span>S</span>
074                                     </li>
075                                     <li <?php echo
"\"".$semanaSabado.\""; ?>>
076                                     <span>S</span>
077                                     </li>
078                                     </ul>
079                                     </td>
080                                     <td class="status">
081                                     <input type="checkbox">
082                                     </td>
083                                     </tr>
084                                     <?php
085                                     }
086
087                                     $clienteServer->desconectar();
088                                     ?>
089                                     </table>
090                                     </section>
091                                     </main>
092                                     <footer>
093                                     <input type="button" id="insert_event" class="insert" value="+" data-
disabled="enabled" data-href="evento.php">

```

```

094         <input type="button" class="remove" value="-" data-
disabled="disabled">
095         <ul>
096             <li>
097                 <a href="index.php">CONTROLE</a>
098             </li>
099             <li data-active="active">
100                 <a href="javascript: void(0);">AGENDA</a>
101             </li>
102         </ul>
103     </footer>
104 </body>
105 <?php include_once "include/scripts.php"; ?>
106 </html>

```

util/util.php

```

001 <?php
002
003 function formatar_digitos($valor, $numeroDeDigitosEsperado, $digitoDePreenchimento)
004 {
005     $numeroDeDigitosEsperado = intval($numeroDeDigitosEsperado);
006     $valorStr = $valor."";
007     $lenghtValor = strlen($valorStr);
008     $digitoDePreenchimento = "".$digitoDePreenchimento;
009
010     if ($lenghtValor > $numeroDeDigitosEsperado) {
011         $valorStr = substr($valorStr, 0, $numeroDeDigitosEsperado);
012         return $valorStr;
013     }
014
015     $numeroDeDigitosEmFalta = $numeroDeDigitosEsperado - $lenghtValor;
016
017     for ($c = 0; $c < $numeroDeDigitosEmFalta; $c++) {
018         $valorStr = $digitoDePreenchimento.$valorStr;
019     }
020
021     return $valorStr;
022 }
?>

```

include/head.php

```

001 <head>
002     <title>Sistema Fog</title>
003     <link rel="stylesheet" type="text/css" href="css/default.css">
004     <meta name="viewport" content="width=device-width, height=device-height
minimum-scale=1, maximum-scale=1">
005     <meta charset="utf-8"/>
006 </head>

```

include/scripts.php

```

001 <script type="text/javascript" src="js/jquery-3.3.1.min.js"></script>
002 <script type="text/javascript" src="js/script.js"></script>

```

class/ClienteServer.php

```

001 <?php
002 header("Content-type: text/html;charset=utf-8");
003
004 class ClienteServer {
005     private $host, $port;
006     private $socket;
007
008     function ClienteServer() {
009         $this->host = "192.168.50.179";/"192.168.25.16";
010         $this->port = 8086;
011     }
012
013     function criarConexao() {
014         $this->socket = socket_create(AF_INET, SOCK_STREAM, 0);
015         return $this->socket? 1 : 0;
016     }
017     function conectar() {
018         return socket_connect($this->socket, $this->host, $this->port)? 1 : 0;
019     }
020     function desconectar() {
021         return socket_close($this->socket)? 1 : 0;
022     }
023     function enviar($dado) {
024         return socket_write ($this->socket, $dado, strlen($dado))? 1 : 0;
025     }
026     function ler($bytes) {
027         return socket_read ($this->socket, $bytes);
028     }
029 };
030 ?>

```

action/controle/iot.php

```

001 <?php
002 include "../class/ClienteServer.php";
003 include "../util/util.php";
004
005 $pacote = "f";
006 $clienteServer = new ClienteServer();
007
008 if ($clienteServer->criarConexao() == 0) {
009     // FALHOU
010     echo json_encode(false);
011     return;
012 }
013 if ($clienteServer->conectar() == 0) {
014     // FALHOU
015     echo json_encode(false);
016     return;
017 }
018 if ($clienteServer->enviar($pacote) == 0) {
019     // FALHOU
020     echo json_encode(false);
021     return;
022 }

```

```

023
024 $respostaDoServidor = $clienteServer->ler(1);
025 $clienteServer->desconectar();
026
027 if ($respostaDoServidor != "1") {
028     // FALHOU
029     echo json_encode(false);
030     return;
031 }
032
033 echo json_encode(true);
034
035
036 ?>

```

action/control/som.php

```

001 <?php
002 include "../class/ClienteServer.php";
003 include "../util/util.php";
004
005 $operacao = $_GET["operacao"];
006 $comando = "";
007
008 switch ($operacao) {
009     case "parar":
010         $comando = "a";
011         break;
012     case "tocar":
013         $comando = "b";
014         $comando .= formatar_digitos($_GET["valor"], 3, "0");
015         break;
016     case "alterar_volume":
017         $comando = "c";
018         $comando .= formatar_digitos($_GET["valor"], 3, "0");
019         break;
020     default:
021         break;
022 }
023
024 $pacote = "g";
025 $pacote .= $comando;
026
027 $clienteServer = new ClienteServer();
028
029 if ($clienteServer->criarConexao() == 0) {
030     // FALHOU
031     echo json_encode(false);
032     return;
033 }
034 if ($clienteServer->conectar() == 0) {
035     // FALHOU
036     echo json_encode(false);
037     return;
038 }
039 if ($clienteServer->enviar($pacote) == 0) {

```

```

040         // FALHOU
041         echo json_encode(false);
042         return;
043     }
044
045     $respostaDoServidor = $clienteServer->ler(1);
046     $clienteServer->desconectar();
047
048     if ($respostaDoServidor != "1") {
049         // FALHOU
050         echo json_encode(false);
051         return;
052     }
053
054     echo json_encode(true);
055
056
057     ?>

```

action/evento/insert.php

```

001 <?php
002 include "../class/ClienteServer.php";
003 include "../util/util.php";
004
005 // Dados gerais
006 $nome = $_GET["nome"];
007 $horario = $_GET["horario"];
008
009 // Dados sobre dias de acontecimento do evento
010 $segunda = $_GET["segunda"];
011 $terca = $_GET["terca"];
012 $quarta = $_GET["quarta"];
013 $quinta = $_GET["quinta"];
014 $sexta = $_GET["sexta"];
015 $sabado = $_GET["sabado"];
016 $domingo = $_GET["domingo"];
017
018 // Dados do som
019 $somTocar = $_GET["somTocar"];
020 $somVolume = $_GET["somVolume"];
021 $somTempo = $_GET["somTempo"];
022
023 // Formacao do pacote a ser enviado (de acordo com o protocolo definido)
024 $pacote = "a";
025 $pacote .= ($domingo == "1" || $domingo == 1)? "1" : "0";
026 $pacote .= ($segunda == "1" || $segunda == 1)? "1" : "0";
027 $pacote .= ($terca == "1" || $terca == 1)? "1" : "0";
028 $pacote .= ($quarta == "1" || $quarta == 1)? "1" : "0";
029 $pacote .= ($quinta == "1" || $quinta == 1)? "1" : "0";
030 $pacote .= ($sexta == "1" || $sexta == 1)? "1" : "0";
031 $pacote .= ($sabado == "1" || $sabado == 1)? "1" : "0";
032
033 if ($somTocar == "1" || $somTocar == 1) {
034     $pacote .= "1";
035

```

```

036     $pacote .= formatar_digitos($somVolume, 3, 0);
037     $pacote .= formatar_digitos($somTempo, 2, 0);
038 } else {
039     $pacote .= "0";
040 }
041
042 $pacote .= formatar_digitos($horario, 4, 0);
043 $pacote .= formatar_digitos(strlen($nome), 2, 0);
044 $pacote .= substr($nome, 0, 100);
045
046 $clienteServer = new ClienteServer();
047
048 if ($clienteServer->criarConexao() == 0) {
049     // FALHOU
050     echo json_encode(false);
051     return;
052 }
053 if ($clienteServer->conectar() == 0) {
054     // FALHOU
055     echo json_encode(false);
056     return;
057 }
058 if ($clienteServer->enviar($pacote) == 0) {
059     // FALHOU
060     echo json_encode(false);
061     return;
062 }
063
064 $respostaDoServidor = $clienteServer->ler(1);
065 $clienteServer->desconectar();
066
067 if ($respostaDoServidor != "1") {
068     // FALHOU
069     echo json_encode(false);
070     return;
071 }
072
073 echo json_encode(true);
074
075 ?>

```

action/evento/remove.php

```

001 <?php
002 include "../class/ClienteServer.php";
003 include "../util/util.php";
004
005 // Dados gerais
006 $sid = explode(",", $_GET["id"]);
007 $pacote = "b";
008 $pacote .= formatar_digitos(count($sid), 3, 0);
009
010 for ($c = 0; $c < count($sid); $c++) {
011     $pacote .= formatar_digitos($sid[$c], 10, 0);
012 }
013

```

```

014 $clienteServer = new ClienteServer();
015 if ($clienteServer->criarConexao() == 0) {
016     // FALHOU
017     echo json_encode(false);
018     return;
019 }
020 if ($clienteServer->conectar() == 0) {
021     // FALHOU
022     echo json_encode(false);
023     return;
024 }
025 if ($clienteServer->enviar($pacote) == 0) {
026     // FALHOU
027     echo json_encode(false);
028     return;
029 }
030
031 $respostaDoServidor = $clienteServer->ler(1);
032 $clienteServer->desconectar();
033
034 if ($respostaDoServidor != "1") {
035     // FALHOU
036     echo json_encode(false);
037     return;
038 }
039
040 echo json_encode(true);
041 ?>

```

action/controle/update.php

```

001 <?php
002 include "../class/ClienteServer.php";
003 include "../util/util.php";
004
005 // Dados gerais
006 $id = $_GET["id"];
007 $nome = $_GET["nome"];
008 $horario = $_GET["horario"];
009
010 // Dados sobre dias de acontecimento do evento
011 $segunda = $_GET["segunda"];
012 $terca = $_GET["terca"];
013 $quarta = $_GET["quarta"];
014 $quinta = $_GET["quinta"];
015 $sexta = $_GET["sexta"];
016 $sabado = $_GET["sabado"];
017 $domingo = $_GET["domingo"];
018
019 // Dados do som
020 $somTocar = $_GET["somTocar"];
021 $somVolume = $_GET["somVolume"];
022 $somTempo = $_GET["somTempo"];
023
024 // Formacao do pacote a ser enviado (de acordo com o protocolo definido)
025 $pacote = "c";

```

```

026 | $pacote .= formatar_digitos($id, 10, 0);
027 | $pacote .= ($domingo == "1" || $domingo == 1)? "1" : "0";
028 | $pacote .= ($segunda == "1" || $segunda == 1)? "1" : "0";
029 | $pacote .= ($terca == "1" || $terca == 1)? "1" : "0";
030 | $pacote .= ($quarta == "1" || $quarta == 1)? "1" : "0";
031 | $pacote .= ($quinta == "1" || $quinta == 1)? "1" : "0";
032 | $pacote .= ($sexta == "1" || $sexta == 1)? "1" : "0";
033 | $pacote .= ($sabado == "1" || $sabado == 1)? "1" : "0";
034 |
035 | if ($somTocar == "1" || $somTocar == 1) {
036 |     $pacote .= "1";
037 |
038 |     $pacote .= formatar_digitos($somVolume, 3, 0);
039 |     $pacote .= formatar_digitos($somTempo, 2, 0);
040 | } else {
041 |     $pacote .= "0";
042 | }
043 |
044 | $pacote .= formatar_digitos($horario, 4, 0);
045 | $pacote .= formatar_digitos(strlen($nome), 2, 0);
046 |
047 | $pacote .= substr($nome, 0, 100);
048 |
049 | $clienteServer = new ClienteServer();
050 |
051 | if ($clienteServer->criarConexao() == 0) {
052 |     // FALHOU
053 |     echo json_encode(false);
054 |     return;
055 | }
056 | if ($clienteServer->conectar() == 0) {
057 |     // FALHOU
058 |     echo json_encode(false);
059 |     return;
060 | }
061 | if ($clienteServer->enviar($pacote) == 0) {
062 |     // FALHOU
063 |     echo json_encode(false);
064 |     return;
065 | }
066 |
067 | $respostaDoServidor = $clienteServer->ler(1);
068 | $clienteServer->desconectar();
069 |
070 | if ($respostaDoServidor != "1") {
071 |     // FALHOU
072 |     echo json_encode(false);
073 |     return;
074 | }
075 |
076 | echo json_encode(true);
077 | ?>

```

css/default.php

```
001 * {
002     margin: 0px;
003     padding: 0px;
004     list-style-type: none;
005     text-decoration: none;
006     color: rgb(15,15,15);
007     font-family: sans-serif;
008     -webkit-box-sizing: border-box;
009     -moz-box-sizing: border-box;
010     box-sizing: border-box;
011     z-index: 1;
012     font-size: 14px;
013 }
014 html, body {
015     width: 100%;
016     height: 100%;
017 }
018 div.centralizado {
019     width: 100%;
020     margin: auto;
021     padding: 0px;
022     position: relative;
023     height: 100%;
024     min-height: 100%;
025 }
026
027 /* ----- Button ----- */
028 button, a.button{
029     padding: 5px 13px;
030     border-width: 1px;
031     border-style: solid;
032     border-radius: 3px;
033     cursor: pointer;
034     outline: none;
035 }
036 button.green, a.button.green {
037     color: white;
038     background-color: rgb(5, 159, 42);
039     background-image: -webkit-linear-gradient(top, rgb(5, 159, 42), rgb(0, 95, 10));
040     background-image: -moz-linear-gradient(top, rgb(20, 160, 60), rgb(0, 130, 30));
041     background-image: -o-linear-gradient(top, rgb(20, 160, 60), rgb(0, 130, 30));
042     border-color: rgb(0, 130, 20);
043     text-shadow: 1px 1px black;
044 }
045 button.green:hover, a.button.green:hover {
046     background-color: rgb(17, 169, 52);
047     background-image: -webkit-linear-gradient(top, rgb(17, 169, 52), rgb(5, 105, 20));
048     background-image: -moz-linear-gradient(top, rgb(17, 169, 52), rgb(5, 105, 20));
049     background-image: -o-linear-gradient(top, rgb(17, 169, 52), rgb(5, 105, 20));
050     border-color: rgb(0, 149, 32);
051 }
052 button.black, a.button.black {
053     color: white;
054     background-color: rgb(40, 40, 40);
```

```

055     background-image: -webkit-linear-gradient(top, rgb(50, 50, 50), rgb(0, 0, 0));
056     background-image: -moz-linear-gradient(top, rgb(50, 50, 50), rgb(0, 0, 0));
057     background-image: -o-linear-gradient(top, rgb(50, 50, 50), rgb(0, 0, 0));
058     border-color: rgb(10,10,10);
059     text-shadow: 1px 1px black;
060 }
061 button.black:hover, a.button.green:hover {
062     background-color: rgb(0, 106, 194);
063     background-image: -webkit-linear-gradient(top, rgb(30, 30, 30), rgb(0, 0, 0));
064     background-image: -moz-linear-gradient(top, rgb(30, 30, 30), rgb(0, 0, 0));
065     background-image: -o-linear-gradient(top, rgb(30, 30, 30), rgb(0, 0, 0));
066     border-color: rgb(10,10,10);
067 }
068 button.red, a.button.red {
069     color: white;
070     background-color: rgb(180, 0, 0);
071     background-image: -webkit-linear-gradient(top, rgb(180, 0, 0), rgb(80, 0, 0));
072     background-image: -moz-linear-gradient(top, rgb(180, 0, 0), rgb(80, 0, 0));
073     background-image: -o-linear-gradient(top, rgb(180, 0, 0), rgb(80, 0, 0));
074     border-color: rgb(100,0,0);
075     text-shadow: 1px 1px black;
076 }
077 button.red:hover, a.button.green:hover {
078     background-color: rgb(170, 0, 0);
079     background-image: -webkit-linear-gradient(top, rgb(170, 0, 0), rgb(70, 0, 0));
080     background-image: -moz-linear-gradient(top, rgb(170, 0, 0), rgb(70, 0, 0));
081     background-image: -o-linear-gradient(top, rgb(170, 0, 0), rgb(70, 0, 0));
082     border-color: rgb(100,0,0);
083 }
084
085 /* ----- Input ----- */
086 input[type='number'] {
087     width: 80px;
088 }
089 input[type='number'],
090 input[type='text'] {
091     height: 20px;
092     padding: 13px;
093     border: 1px rgb(180,180,180) solid;
094 }
095 input[type='file'],
096 input[type='range'] {
097     width: 41vw;
098 }
099 input[type='file']:disabled {
100     color: rgb(130, 130, 130);
101 }
102 input[type='checkbox'] {
103     width: 28px;
104     height: 28px;
105     cursor: pointer;
106 }
107 input[type='number']:disabled,
108 input[type='text']:disabled {
109     background-color: rgb(240,240,240);

```

```
110         color: rgb(120,120,120);
111     }
112
113     /* ----- Input[range] ----- */
114     input[type='range'] {
115         -webkit-appearance: none;
116         background-color: blue;
117         margin: 10px 0;
118         border-radius: 5px;
119         height: 7px;
120         cursor: pointer;
121     }
122     input[type=range]:focus {
123         outline: none;
124     }
125     input[type='range']:disabled {
126         -webkit-appearance: none;
127         background-color: rgb(225, 225, 225);
128         margin: 10px 0;
129         border-radius: 5px;
130         height: 7px;
131         cursor: pointer;
132     }
133     input[type=range]::-webkit-slider-thumb {
134         width: 10px;
135         height: 23px;
136         border: 1px solid #2497E3;
137         background-color: #A1D0FF;
138         -webkit-appearance: none;
139         box-shadow: 0px 0px 0px #000000;
140     }
141     input[type=range]::-ms-thumb {
142         width: 10px;
143         height: 23px;
144         border: 1px solid #2497E3;
145         background-color: #A1D0FF;
146         -webkit-appearance: none;
147         box-shadow: 0px 0px 0px #000000;
148     }
149     input[type=range]::-moz-range-thumb {
150         width: 10px;
151         height: 23px;
152         border: 1px solid #2497E3;
153         background-color: #A1D0FF;
154         -webkit-appearance: none;
155         box-shadow: 0px 0px 0px #000000;
156     }
157     input[type=range]:disabled::-webkit-slider-thumb {
158         background-color: rgb(225, 225, 225);
159         border-color: rgb(190,190,190);
160     }
161     input[type=range]:disabled::-ms-thumb {
162         background-color: rgb(225, 225, 225);
163         border-color: rgb(190,190,190);
164     }
```

```
165 input[type=range]:disabled::-moz-range-thumb {
166     background-color: rgb(225, 225, 225);
167     border-color: rgb(190,190,190);
168 }
169
170 /* ----- Header ----- */
171 header {
172     width: 100%;
173     float: left;
174     background-color: blue;
175     position: fixed;
176     z-index: 100;
177     padding: 0px 23px;
178 }
179 header span,
180 header a {
181     font-size: 12px;
182     font-weight: bold;
183     text-shadow: 1px 1px 2px black;
184 }
185 header span {
186     color: white;
187     float: left;
188     margin: 18px 0px;
189 }
190 header a {
191     color: yellow;
192     float: right;
193     padding: 18px;
194     background-color: rgba(0,0,0,0.2);
195 }
196
197 /* ----- Footer ----- */
198 footer {
199     width: 100vw;
200     height: 60px;
201     float: none;
202     padding: 0px;
203     position: fixed;
204     bottom: 0;
205     background-color: blue;
206 }
207 footer ul {
208     width: 100%;
209     height: 100%;
210     float: left;
211     display: table;
212 }
213 footer li {
214     height: 100%;
215     display: table-cell;
216     vertical-align: middle;
217     text-align: center;
218     cursor: pointer;
219 }
```

```
220 footer li:hover {
221     background-color: rgba(0,0,0,0.2);
222 }
223 footer li[data-active='active'] {
224     background-color: rgba(0,0,0,0.3);
225 }
226 footer input[type='button'] {
227     width: 55px;
228     height: 55px;
229     border-radius: 30px;
230     font-size: 20px;
231     font-weight: bold;
232     margin-bottom: 35px;
233     border-width: 0px;
234     color: white;
235     text-shadow: 1px 1px 2px black;
236     cursor: pointer;
237     position: absolute;
238     bottom: 40px;
239 }
240 footer input[type='button'].insert {
241     left: 0;
242     margin-left: 10px;
243     background-color: rgb(0, 170, 0);
244     background-image: -webkit-linear-gradient(top, rgb(0, 200, 0), rgb(0, 110, 0));
245     background-image: -moz-linear-gradient(top, rgb(0, 200, 0), rgb(0, 110, 0));
246     background-image: -o-linear-gradient(top, rgb(0, 200, 0), rgb(0, 110, 0));
247     display: block;
248 }
249 footer input[type='button'].remove {
250     right: 0;
251     margin-right: 10px;
252     background-color: rgb(230, 0, 0);
253     background-image: -webkit-linear-gradient(top, rgb(230, 0, 0), rgb(150, 0, 0));
254     background-image: -moz-linear-gradient(top, rgb(230, 0, 0), rgb(150, 0, 0));
255     background-image: -o-linear-gradient(top, rgb(230, 0, 0), rgb(150, 0, 0));
256     display: block;
257 }
258 footer input[type='button'].remove[data-disabled='disabled'],
259 footer input[type='button'].insert[data-disabled='disabled'] {
260     display: none;
261 }
262 footer a,
263 footer button {
264     padding: 0px 15px;
265     color: white;
266     font-size: 12px;
267     font-weight: bold;
268     text-shadow: 1px 1px 2px black;
269 }
270 footer button {
271     background-image: none;
272     border-width: 0px;
273     border-radius: 0px;
274     margin: 0px;
```

```
275 }
276 footer button:hover {
277     background-color: blue;
278     background-image: none;
279 }
280
281 /* ----- Section ----- */
282 section {
283     width: 100%;
284     max-width: 100vw;
285     float: left;
286     padding: 0px 23px;
287     margin-top: 20px;
288 }
289 section input {
290     float: left;
291 }
292 section input[type='file'] {
293     height: 25vh;
294     padding-top: 2px;
295 }
296
297 /* ----- Main ----- */
298 main {
299     width: 100%;
300     min-height: 100%;
301     padding-bottom: 80px;
302     float: left;
303     position: relative;
304     padding-top: 50px;
305 }
306 main div {
307     width: 100%;
308     float: left;
309     margin-top: 15px;
310     display: table;
311 }
312 main div.titulo {
313     width: 100%;
314     float: left;
315     border-bottom: 1px black solid;
316     margin-bottom: 20px;
317     padding-bottom: 5px;
318 }
319 main label {
320     width: 100vw;
321     height: 27px;
322     display: table-cell;
323     vertical-align: middle;
324 }
325 main span.disabled {
326     color: rgb(130, 130, 130);
327 }
328 main button {
329     float: left;
```

```
330         /*margin-left: 2vw;*/
331     }
332     main section div div {
333         width: 42vw;
334         margin: 0px;
335     }
336
337     /* ----- Main.EstimativaDeConsumo ----- */
338     main.estimativa_de_consumo table {
339         width: 100%;
340         border: 1px rgb(200,200,200) solid;
341         border-collapse: collapse;
342         margin-top: 12px;
343     }
344     main.estimativa_de_consumo table td span {
345         float: right;
346     }
347     main.estimativa_de_consumo table th,
348     main.estimativa_de_consumo table td {
349         width: 20%;
350         padding: 10px;
351         border: 1px rgb(200,200,200) solid;
352     }
353     main.estimativa_de_consumo table th span,
354     main.estimativa_de_consumo table td span {
355         font-size: 12px;
356     }
357     main.estimativa_de_consumo table th {
358         text-align: left;
359         background-color: rgb(230,230,230);
360     }
361     main.estimativa_de_consumo table tr.head th {
362         text-align: center;
363     }
364     main.estimativa_de_consumo table tr button {
365         float: none;
366         margin: 0px;
367     }
368     main.estimativa_de_consumo table td input {
369         width: 100%;
370     }
371     main.estimativa_de_consumo table#tarifa td {
372         width: 50%;
373     }
374     main.estimativa_de_consumo button {
375         width: 100%;
376         height: 15vh;
377         color: white;
378         font-weight: bold;
379         background-color: rgb(0,180,0);
380         border-color: rgb(0,180,0);
381         margin-top: 20px;
382     }
383
384     /* ----- Main.Manual ----- */
```

```
385 main.manual section div div {
386     width: 55vw;
387     margin: 0px;
388     float: right;
389 }
390 main.manual section button,
391 main.manual section input {
392     float: right;
393 }
394
395 /* ----- Main.horarios ----- */
396 main.lista_de_evento {
397     padding-bottom: 60px;
398 }
399 main.lista_de_evento section {
400     width: 100%;
401     padding: 0px;
402     margin: 0px;
403 }
404 main.lista_de_evento section table {
405     width: 100%;
406     border-collapse: collapse;
407     margin-bottom: 90px;
408 }
409 main.lista_de_evento section td {
410     padding: 30px 10px;
411     border-bottom: 1px blue solid;
412 }
413 main.lista_de_evento section td.horario {
414     text-align: center;
415 }
416 main.lista_de_evento section td.horario span {
417     color: rgb(0,0,220);
418     font-size: 32px;
419     font-family: sans-serif;
420     font-weight: bold;
421 }
422 main.lista_de_evento section td.nome a {
423     font-weight: bold;
424     border-bottom-width: 1px;
425     border-bottom-style: solid;
426     border-bottom-color: rgb(255,255,255);
427 }
428 main.lista_de_evento section td.nome a:hover {
429     border-bottom-color: black;
430 }
431 main.lista_de_evento section td.nome ul {
432     width: 100%;
433     float: left;
434 }
435 main.lista_de_evento section td.nome ul li {
436     width: auto;
437     float: left;
438     margin-top: 10px;
439     margin-right: 5px;
```

```
440 }
441 main.lista_de_evento section td.nome li span {
442     color: rgb(170,170,170);
443     font-weight: normal;
444 }
445 main.lista_de_evento section td.nome li.bold span {
446     color: darkblue;
447     font-weight: bold;
448 }
449 main.lista_de_evento section td.status input {
450     position: relative;
451     margin: auto;
452     color: red;
453 }
454 main.lista_de_evento section tr.disabled td.horario span,
455 main.lista_de_evento section tr.disabled td.nome span,
456 main.lista_de_evento section tr.disabled td.nome a {
457     color: rgb(170,170,170);
458 }
459 main.lista_de_evento section tr.disabled td.nome li.bold span {
460     color: rgb(120,120,120);
461 }
462
463 /* ----- Main.Evento ----- */
464 main.evento section input.number {
465     width: 17vw;
466     vertical-align: bottom;
467     margin-right: 10px;
468 }
469 main.evento section.evento input.number {
470     vertical-align: middle;
471     margin-right: 0px;
472 }
473 main.evento section.evento input#nome {
474     width: 41vw;
475 }
476 main.evento section.evento ul label {
477     width: 30vw;
478     height: 37px;
479     float: left;
480 }
481 main.evento section.evento ul {
482     width: 100%;
483     float: left;
484 }
485 main.evento section.evento li {
486     width: 100%;
487     float: left;
488     margin: 5px 0px;
489 }
490 main.evento section.evento input {
491     float: right;
492 }
493 main.evento section div.hora div {
494     float: right;
```

```
495 }
496 main.evento section div.hora div div {
497     width: auto;
498 }
499 main.evento section div.hora span {
500     width: 7vw;
501     text-align: center;
502     vertical-align: middle;
503 }
504 main.evento section div.tempo span,
505 main.evento section div.distancia span {
506     margin-left: 10px;
507 }
508 main.evento section div div span {
509     height: 28px;
510     float: none;
511     display: table-cell;
512     vertical-align: bottom;
513 }
514
515 /* ----- Main.Evento ----- */
516
517 main.controle section.iot div.botoes {
518     width: 100%;
519     float: left;
520 }
521 main.controle section div.botoes ul,
522 main.controle section div.botoes li {
523     width: 100%;
524     float: left;
525     margin-bottom: 5px;
526 }
527 main.controle section button {
528     width: 100%;
529     height: 20vh;
530     float: left;
531     color: white;
532     border-radius: 0px;
533     font-weight: bold;
534 }
535 main.controle section.iot_movimentacao button.ativar {
536     background-color: rgb(0,120,0);
537     border-color: rgb(0,120,0);
538 }
539
540 main.controle section.som button.tocar {
541     background-color: rgb(0,120,0);
542     border-color: rgb(0,120,0);
543 }
544 main.controle section.som button.parar {
545     background-color: rgb(180,0,0);
546     border-color: rgb(180,0,0);
547 }
548
549 /* ----- Main.Configuracoes ----- */
```

```

550 | main.configuracoes input[type='number'],
551 | main.configuracoes input[type='text'] {
552 |     width: 17vw;
553 |     vertical-align: bottom;
554 | }

```

js/script.js

```

001 | $(document).ready(function() {
002 |     var main = $("main")[0];
003 |     var pagina = $(main).attr("class");
004 |
005 |     switch (pagina) {
006 |         case "estimativa_de_consumo":
007 |             page_estimativa_de_consumo();
008 |             break;
009 |         case "evento":
010 |             page_evento();
011 |             break;
012 |         case "lista_de_evento":
013 |             page_lista_de_evento();
014 |             break;
015 |         case "configuracoes":
016 |             page_configuracoes();
017 |             break;
018 |         case "controle":
019 |             page_controle();
020 |             break;
021 |         default:
022 |             break;
023 |     }
024 |
025 |     $("footer li").click(function() {
026 |         $(this).find("a")[0].click();
027 |     });
028 | });
029 | function Ajax(url, data, function_sucess, function_error) {
030 |     if (data != undefined && data != "") {
031 |         data = "?" + data;
032 |     } else {
033 |         data = "";
034 |     }
035 |
036 |     $.ajax({
037 |         url: url+data,
038 |         dataType: "json",
039 |         contentType: "application/json; charset=utf-8",
040 |         success: function(d) {
041 |             function_sucess(d);
042 |         },
043 |         type: 'GET',
044 |         error: function(d) {
045 |             function_error(d);
046 |         }
047 |     });

```

```

048     }
049
050     const message_box_type = {
051         SUCESS: 0,
052         ERROR: 1,
053         FAIL: 2
054     };
055     // Futuramente implementar algo melhor (nao usar esse alert padrao)
056     function message_box(box_type, message) {
057         switch(box_type) {
058             case message_box_type.SUCESS:
059                 alert("SUCESSO\n"+message);
060                 break;
061             case message_box_type.ERROR:
062                 alert("ERRO\n"+message);
063                 break;
064             case message_box_type.FAIL:
065                 alert("OPERAÇÃO FALHOU\n"+message);
066                 break;
067             default:
068                 break;
069         }
070     }
071
072     /* ----- [Class] FrontIndexTarifa ----- */
073     class FrontEstimativaDeConsumo {
074         static reiniciarEstimativaDeConsumo() {
075             function function_sucess(data) {
076                 message_box(
077                     message_box_type.SUCESS,
078                     "Tempo de duração da bateria\natualizado com sucesso!"
079                 );
080             }
081             function function_error(data) {
082                 message_box(
083                     message_box_type.FAIL,
084                     "Algo inesperado ocorreu no servidor.\nVerifique a
corretude dos dados e tente mais tarde."
085                 );
086             }
087
088             BackEstimativaDeConsumo.reiniciarEstimativaDeConsumo(function_sucess,
function_error);
089         }
090     };
091     class BackEstimativaDeConsumo {
092         static reiniciarEstimativaDeConsumo(front_function_sucess,
front_function_error) {
093             function function_sucess(data) {
094                 console.log("Sucess:");
095                 console.log(data);
096
097                 if (data) {

```

```

098             front_function_sucess(data);
099         } else {
100             front_function_error(data);
101         }
102     }
103     function function_error(data) {
104         front_function_error(data);
105     }
106
107     Ajax("action/estimativa_de_consumo/reiniciar_estimativa.php", "",
function_sucess, function_error);
108     }
109 }
110
111 /* ----- [FunctionPage] Index ----- */
112 function page_estimativa_de_consumo() {
113     $("main button").click(function() {
114         FrontEstimativaDeConsumo.reiniciarEstimativaDeConsumo($(this));
115     });
116 }
117
118 /* ----- [Class] FrontConfiguracoes ----- */
119 class FrontConfiguracoes {
120     static salvar(button) {
121         var noIotTempoAtividade = $("#no_iot_tempo_atividade").val();
122
123         if ($(button).prop("disabled") == true) {
124             return;
125         }
126
127         if (noIotTempoAtividade == "" || noIotTempoAtividade == undefined) {
128             message_box(
129                 message_box_type.ERROR,
130                 "Insira um tempo de atividade para o nó iot."
131             );
132             return;
133         }
134
135         var bateriaCapacidade = $("#bateria_capacidade").val();
136
137         if (bateriaCapacidade == "" || bateriaCapacidade == undefined) {
138             message_box(
139                 message_box_type.ERROR,
140                 "Insira a capacidade (corrente, em mA) da\nbateria
utilizada no nó iot."
141             );
142             return;
143         }
144
145         function function_sucess(data) {
146             message_box(
147                 message_box_type.SUCCESS,
148                 "Salvo com sucesso!"
149             );

```

```

150         $(button).prop("disabled", false)
151         $(window.document.location).attr("href", $(button).attr("data-
href"));
152     }
153     function function_error(data) {
154         message_box(
155             message_box_type.FAIL,
156             "Algo inesperado ocorreu no servidor.\nVerifique a
corretude dos dados e tente mais tarde."
157         );
158         $(button).prop("disabled", false)
159     }
160
161     $(button).prop("disabled", true)
162
163     BackConfiguracoes.update(function_sucess, function_error);
164 }
165 }
166
167 /* ----- [Class] BackConfiguracoes ----- */
168 class BackConfiguracoes {
169     static update(front_function_sucess, front_function_error) {
170         // Dados gerais
171         var noIotTempoAtividade = $("#no_iot_tempo_atividade").val()+"";
172         var noIotVelocidade = $("#no_iot_velocidade").val()+""
173         var bateriaCapacidade = $("#bateria_capacidade").val()+"";
174         var consumoAtivado = $("#consumo_ativado").val()+"";
175         var consumoDesativado = $("#consumo_desativado").val()+"";
176
177         function function_sucess(data) {
178             console.log("Sucess:");
179             console.log(data);
180
181             if (data) {
182                 front_function_sucess(data);
183             } else {
184                 front_function_error(data);
185             }
186         }
187         function function_error(data) {
188             console.log(data);
189             front_function_error(data);
190         }
191
192         var dado = "";
193         dado += "noIotTempoAtividade="+noIotTempoAtividade;
194         dado += "&noIotVelocidade="+noIotVelocidade;
195         dado += "&bateriaCapacidade="+bateriaCapacidade;
196         dado += "&consumoAtivado="+consumoAtivado;
197         dado += "&consumoDesativado="+consumoDesativado;
198
199         Ajax("action/configuracoes/configuracoes.php", dado, function_sucess,
function_error);
200     }

```

```

201 }
202
203
204 /* ----- [FunctionPage] Configuracoes ----- */
205 function page_configuracoes() {
206     var parametrosUrl = window.location.search.replace("?", "");
207     var parametroPage = parametrosUrl.split("=");
208
209     $("footer a")[0].attr("data-href", parametroPage[1]+".php");
210     $("footer a")[1].attr("href", parametroPage[1]+".php");
211
212     $("footer a.salvar").click(function() {
213         FrontConfiguracoes.salvar($(this));
214     });
215 }
216
217 /* ----- [Class] Controle ----- */
218
219 class BackControle {
220     static iot_ativar() {
221         function function_sucess(data) {
222             console.log("sucesso");
223             console.log(data);
224         }
225         function function_error(data) {
226             console.log("erro");
227             console.log(data);
228         }
229
230         Ajax("action/controle/iot.php", "", function_sucess, function_error);
231     }
232
233
234     static som_tocar() {
235         function function_sucess(data) {
236             console.log("sucesso");
237             console.log(data);
238         }
239         function function_error(data) {
240             console.log("erro");
241             console.log(data);
242         }
243
244         var dado = "";
245         dado += "operacao=tocar";
246         dado += "&valor="+$("#som_volume").val();
247         console.log(dado);
248         Ajax("action/controle/som.php", dado, function_sucess, function_error);
249     }
250     static som_parar() {
251         function function_sucess(data) {
252             console.log("sucesso");
253             console.log(data);
254         }

```

```

255         function function_error(data) {
256             console.log("erro");
257             console.log(data);
258         }
259
260         Ajax("action/controle/som.php", "operacao=parar", function_sucess,
function_error);
261     }
262     static som_alterar_volume(button) {
263         function function_sucess(data) {
264             console.log("sucesso");
265             console.log(data);
266         }
267         function function_error(data) {
268             console.log("erro");
269             console.log(data);
270         }
271
272         var dado = "";
273         dado += "operacao=alterar_volume";
274         dado += "&valor="+$(button).val();
275
276         Ajax("action/controle/som.php", dado, function_sucess, function_error);
277     }
278 }
279
280 /* ----- [FunctionPage] Controle ----- */
281 function page_controle() {
282     $("#button#iot_ativar").click(function() {
283         console.log("iot_parar");
284         BackControle.iot_ativar();
285     });
286
287
288     $("#button#som_tocar").click(function() {
289         console.log("som_tocar");
290         BackControle.som_tocar();
291     });
292     $("#button#som_parar").click(function() {
293         console.log("som_parar");
294         BackControle.som_parar();
295     });
296     $("#input#som_volume").change(function() {
297         console.log("volume");
298         BackControle.som_alterar_volume($(this));
299     });
300 }
301
302 /* ----- [Class] EventoSom ----- */
303 class FrontEvento {
304     static ativarSom() {
305         $("#som_input_tempo").prop("disabled", false);
306         $("#som_input_volume").prop("disabled", false);
307         $("#som_input_arquivo").prop("disabled", false);

```

```

308
309         $("#som_input_tempo").prop("required", true);
310         $("#som_input_volume").prop("required", true);
311         $("#som_input_arquivo").prop("required", true);
312         console.log("ativar");
313     }
314     static desativarSom() {
315         $("#som_input_tempo").prop("disabled", true);
316         $("#som_input_volume").prop("disabled", true);
317         $("#som_input_arquivo").prop("disabled", true);
318
319         $("#som_input_tempo").prop("required", false);
320         $("#som_input_volume").prop("required", false);
321         $("#som_input_arquivo").prop("required", false);
322         console.log("desativar");
323     }
324     static salvar(button) {
325         var nome = $("#nome").val();
326
327         if (nome == "" || nome == undefined) {
328             message_box(
329                 message_box_type.ERROR,
330                 "Insira um nome para o evento."
331             );
332             return;
333         }
334
335         function function_sucess(data) {
336             message_box(
337                 message_box_type.SUCCESS,
338                 "Salvo com sucesso!"
339             );
340             $(window.document.location).attr("href", $(button).attr("data-
href"));
341         }
342         function function_error(data) {
343             message_box(
344                 message_box_type.FAIL,
345                 "Algo inesperado ocorreu no servidor.\nVerifique a
corretude dos dados e tente mais tarde."
346             );
347         }
348
349         BackEvento.salvar(function_sucess, function_error);
350     }
351 }
352 class BackEvento {
353     static salvar(front_function_sucess, front_function_error) {
354         // Dados gerais
355         var nome = $("#nome").val();
356         var horario = "";
357
358         var horarioHora = $("#horario_hora").val()+"";
359         if (horarioHora.length < 2) {

```

```

360         horario += "0" +horarioHora;
361     } else {
362         horario += horarioHora.substring(0,2);
363     }
364
365     var horarioMinuto = $("#horario_minuto").val() +"";
366     if (horarioMinuto.length < 2) {
367         horario += "0" +horarioMinuto;
368     } else {
369         horario += horarioMinuto.substring(0,2);
370     }
371
372     var segunda = $("#dia_segunda").prop("checked");
373     var terca = $("#dia_terca").prop("checked");
374     var quarta = $("#dia_quarta").prop("checked");
375     var quinta = $("#dia_quinta").prop("checked");
376     var sexta = $("#dia_sexta").prop("checked");
377     var sabado = $("#dia_sabado").prop("checked");
378     var domingo = $("#dia_domingo").prop("checked");
379
380     // Dados do som
381     var somTocar = $("#som_input_checkbox").prop("checked");
382     var somVolume = $("#som_input_volume").val();
383     var somTempo = $("#som_input_tempo").val();
384
385     // String dados
386     var dado = "nome=" + nome;
387     dado += "&horario=" + horario;
388     dado += "&segunda=" + (segunda? "1" : "0");
389     dado += "&terca=" + (terca? "1" : "0");
390     dado += "&quarta=" + (quarta? "1" : "0");
391     dado += "&quinta=" + (quinta? "1" : "0");
392     dado += "&sexta=" + (sexta? "1" : "0");
393     dado += "&sabado=" + (sabado? "1" : "0");
394     dado += "&domingo=" + (domingo? "1" : "0");
395
396     dado += "&somTocar=" + (somTocar? "1" : "0");
397     dado += "&somVolume=" + somVolume;
398     dado += "&somTempo=" + somTempo;
399
400     function function_sucess(data) {
401         console.log("Sucess:");
402         console.log(data);
403
404         if (data) {
405             front_function_sucess(data);
406         } else {
407             front_function_error(data);
408         }
409     }
410     function function_error(data) {
411         console.log(data);
412         front_function_error(data);
413     }

```

```

414
415     var operacaoASerRealizada = $("main").get(0).attr("data-operacao");
416     var urlDaPagina = "insert";
417
418     if (operacaoASerRealizada == "update") {
419         urlDaPagina = "update";
420
421         var id = $("main").get(0).attr("data-id");
422         dado += "&id="+id;
423     }
424
425     Ajax("action/evento/"+urlDaPagina+".php", dado, function_sucess,
function_error);
426     }
427 }
428
429 /* ----- [FunctionPage] Evento ----- */
430 function page_evento() {
431     $("#som_input_checkbox").change(function() {
432         var checked = $(this).prop("checked");
433         console.log(checked);
434
435         if (checked) {
436             FrontEvento.ativarSom();
437         } else {
438             FrontEvento.desativarSom();
439         }
440     });
441     $("footer a.salvar").click(function() {
442         FrontEvento.salvar($(this));
443     });
444 }
445
446 /* ----- [Class] ListaDeEvento ----- */
447 class FrontListaDeEvento {
448     static select() {
449         console.log("oi");
450         var arrayCheckbox = $("table input:checkbox:checked");
451         console.log(arrayCheckbox);
452         console.log($arrayCheckbox);
453
454         if ($arrayCheckbox.length <= 0) {
455             $("input.remove:button").attr("data-disabled", "disabled");
456             $("input.insert:button").attr("data-disabled", "enabled");
457         } else {
458             $("input.remove:button").attr("data-disabled", "enabled");
459             $("input.insert:button").attr("data-disabled", "disabled");
460         }
461     }
462     static remove(arrayTr) {
463         $("input:checkbox").prop("disabled", true);
464         var dataId = "";
465
466         for (var c = 0; c < $arrayTr.length; c++) {

```

```

467         var tr = $(arrayTr)[c];
468
469         if ($(tr).find("input").prop("checked")) {
470             if (dataId != "") {
471                 dataId += ",";
472             }
473             dataId += $(tr).attr("data-id");
474         }
475     }
476
477     function function_sucess(data) {
478         console.log("Sucess:");
479         console.log(data);
480
481         $("input:checkbox").prop("disabled", false);
482
483         for (var c = 0; c < $(arrayTr).length; c++) {
484             var tr = $(arrayTr)[c];
485
486             if ($(tr).find("input").prop("checked")) {
487                 $(tr).remove();
488             }
489         }
490
491         FrontListaDeEvento.select();
492     }
493     function function_error(data) {
494         message_box(
495             message_box_type.FAIL,
496             "Algo inesperado ocorreu no servidor. Tente mais tarde."
497         );
498
499         $("input:checkbox").prop("disabled", false);
500     }
501
502     BackListaDeEvento.remove(dataId, function_sucess, function_error);
503 }
504 static insert() {
505     var button = $("input#insert_event");
506     $(window.document.location).attr("href", $(button).attr("data-href"));
507 }
508 }
509 class BackListaDeEvento {
510     static remove(dataId, front_function_sucess, front_function_error) {
511         function function_sucess(data) {
512             console.log("Sucess:");
513             console.log(data);
514
515             if (data) {
516                 front_function_sucess(data);
517             } else {
518                 front_function_error(data);
519             }
520         }

```

```
521         function function_error(data) {
522             front_function_error(data);
523         }
524
525         Ajax("action/evento/remove.php", "id="+dataId, function_sucess,
function_error);
526     }
527 }
528
529 /* ----- [FunctionPage] Horarios ----- */
530 function page_lista_de_evento() {
531     $("table input:checkbox").click(function() {
532         console.log("active checkbox");
533         var tr = $(this).parents("tr")[0];
534
535         FrontListaDeEvento.select(tr);
536     });
537     $("input.insert:button").click(function() {
538         FrontListaDeEvento.insert();
539     });
540     $("input.remove:button").click(function() {
541         var arrayTr = $("table tr");
542         FrontListaDeEvento.remove(arrayTr);
543     });
544 }
```